

INSTITUTO POTOSINO DE INVESTIGACIÓN CIENTÍFICA Y TECNOLÓGICA, A.C.

POSGRADO EN CIENCIAS EN BIOLOGIA MOLECULAR

**“El papel del Glutatión en la respuesta a estrés
oxidante del hongo patógeno oportunista
Candida glabrata”**

Tesis que presenta

Ma Guadalupe Gutiérrez Escobedo

Para obtener el grado de
Doctora en Ciencias en Biología Molecular

Director de la Tesis:
Dr. Alejandro De Las Peñas Nava

San Luis Potosí, S.L.P., Febrero 2013

Constancia de aprobación de la tesis

La tesis “**El papel del glutatión en la respuesta a estrés oxidante del hongo patógeno *Candida glabrata***” presentada para obtener el Grado de de Doctora en Ciencias en Biología Molecular fue elaborada por **Ma Guadalupe Gutiérrez Escobedo** y aprobada el **26 de febrero del 2013** por los suscritos, designados por el Colegio de Profesores de la División de Biología Molecular del Instituto Potosino de Investigación Científica y Tecnológica, A.C.

Dr. Alejandro De Las Peñas Nava
(Director de la tesis)

Dra. Lina Raquel Riego Ruiz
(Miembro del Comité Tutorial)

Dra. María del Carmen González Castillo
(Miembro del Comité Tutorial)

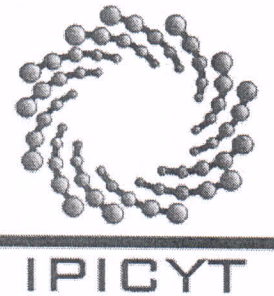
Dr. Carlos Barajas López
(Miembro del Comité Tutorial)

Dra. Irene Beatriz Castaño Navarro
(Miembro del Comité Tutorial)

Créditos Institucionales

Esta tesis fue elaborada en el Laboratorio de **Microbiología Molecular** de la División de Biología Molecular del Instituto Potosino de Investigación Científica y Tecnológica, A.C., bajo la dirección del Dr. Alejandro De Las Peñas Nava, apoyada por el proyecto SEP-CB- 2010-01-153929 de CONACYT.

Durante la realización del trabajo el autor recibió una beca académica del Consejo Nacional de Ciencia y Tecnología con No. de registro 48580 y del Instituto Potosino de Investigación Científica y Tecnológica, A. C.



Instituto Potosino de Investigación Científica y Tecnológica, A.C.

Acta de Examen de Grado

El Secretario Académico del Instituto Potosino de Investigación Científica y Tecnológica, A.C., certifica que en el Acta 052 del Libro Primero de Actas de Exámenes de Grado del Programa de Doctorado en Ciencias en Biología Molecular está asentado lo siguiente:

En la ciudad de San Luis Potosí a los 26 días del mes de febrero del año 2013, se reunió a las 16:00 horas en las instalaciones del Instituto Potosino de Investigación Científica y Tecnológica, A.C., el Jurado integrado por:

Dr. Carlos Barajas López
Dra. Lina Raquel Riego Ruiz
Dr. Alejandro De Las Peñas Nava
Dra. María del Carmen González Castillo

Presidente
Secretaria
Sinodal
Sinodal externo

IPICYT
IPICYT
IPICYT
UASLP

a fin de efectuar el examen, que para obtener el Grado de:

DOCTORA EN CIENCIAS EN BIOLOGÍA MOLECULAR

sustentó la C.

Ma. Guadalupe Gutiérrez Escobedo

sobre la Tesis intitulada:

El papel del glutatión en la respuesta a estrés oxidante del hongo patógeno Candida glabrata

que se desarrolló bajo la dirección de

Dr. Alejandro De Las Peñas Nava

El Jurado, después de deliberar, determinó

APROBARLA

Dándose por terminado el acto a las 17:20 horas, procediendo a la firma del Acta los integrantes del Jurado. Dando fe el Secretario Académico del Instituto.

A petición de la interesada y para los fines que a la misma convengan, se extiende el presente documento en la ciudad de San Luis Potosí, S.L.P., México, a los 26 días del mes de febrero de 2013.

Marcial Bonilla
Dr. Marcial Bonilla Marín
Secretario Académico

Ivonne Lizette Cuevas Vélez
Mtra. Ivonne Lizette Cuevas Vélez
Jefa del Departamento del Posgrado



Dedicatorias

Para:

Carmen, mi pequeña princesa. Eres la inspiración y el pilar de todo lo que hago.

Eduardo, por tu fuerza, comprensión y apoyo.

Mi mamá, Carmen, por su ejemplo, sus valores y su presencia en todas las etapas de mi vida.

Mi papá, Cruz y mis hermanos, Claudia, Octavio y Cruz, por su respaldo y cariño que me acompañan siempre.

Mi hermana Luz por su apoyo y ayuda incondicionales, esto fue posible gracias a ti.

Agradecimientos

A:

Dr. Alejandro De Las Peñas Nava y Dra. Irene Beatriz Castaño Navarro por su confianza, sus conocimientos, sus consejos, su infinita paciencia y su valioso apoyo.

Compañeros de laboratorio de Microbiología Molecular, especialmente Marce, Jacky y Emmanuel por su cariño y por compartir los buenos y malos momentos.

Gloria López por su apoyo en los momentos difíciles.

Dra. Lina Raquel Riego Ruiz, Dra. María del Carmen González Castillo y Dr. Carlos Barajas López por sus valiosas aportaciones a este trabajo.

Dra. Gloria Patricia Pérez Cornejo, Dr. Jorge Arreola Gómez y Q.F.B. Carmen Judith Hernández Carballo por su ayuda en los ensayos de exposición a macrófagos.

Dra. Ana Paulina Barba De La Rosa, M. en C. Alberto Barrera Pacheco, M. en C. José Luis Martínez Salgado y Dr. José Ángel Huerta Ocampo por su ayuda en la cuantificación de prolina y extracción de proteínas de membrana.

IPICYT por las facilidades otorgadas para realizar este trabajo.

CONACYT por la beca que me otorgó y que hizo posible este trabajo.

Contenido	Página
Constancia de aprobación de la tesis	ii
Créditos institucionales	iii
Acta de examen	iv
Dedicatorias	v
Agradecimientos	vi
Lista de tablas	x
Lista de figuras	xi
Resumen	xiv
Abstract	xv
 INTRODUCCIÓN	
1. <i>Candida glabrata</i>	1
2. Especies reactivas, estrés oxidante y homeostasis redox	3
2.1. Sistema tiorredoxina	5
2.2. Sistema GSH	5
3. Control de la respuesta a estrés oxidante	11
4. Glutatión y estrés por metales pesados: cadmio	13
5. Transporte de glutatión en levaduras	15
6. Metabolismo de la prolina	16

MATERIALES Y MÉTODOS

1. Medios de cultivo y cepas	18
1.1. Medios de cultivo para bacterias	18
1.2. Cepas de bacterias	18
1.3. Medios de cultivo para levaduras	19
1.4. Cepas de levaduras	20
2. Plásmidos	25
3. Oligonucleótidos	27
4. Transformación genética de <i>C. glabrata</i>	31
5. Ensayos de sensibilidad	32
6. Curvas de crecimiento	32
7. Evaluación de la pérdida de plásmidos	33
8. Cuantificación de GSH	33
9. Análisis bioinformáticos	33
10. Transformación de <i>E. coli</i>	34
11. Extracción de ADN genómico de <i>C. glabrata</i>	34
12. Precipitación de ADN con fenol:cloroformo:alcohol isoamílico y precipitación con etanol	35
13. Construcción de mutantes de <i>C. glabrata</i>	35
14. Cuantificación de ADN	35
15. Reacción en cadena de la polimerasa (PCR)	36
16. Cuantificación de prolina	36
17. Generación de protoplastos de <i>C. glabrata</i>	37

18. Purificación de proteínas de membrana de <i>C. glabrata</i> por centrifugación en gradiente de sacarosa	37
19. Determinación del tiempo de vida cronológica de <i>C. glabrata</i>	38
20. Análisis estadísticos	39
RESULTADOS	
1. The role of glutathione in the oxidative stress response in the fungal pathogen <i>Candida glabrata</i>.	40
RESULTADOS ADICIONALES	
1. Esencialidad del gen <i>GSH1</i>	69
2. Análisis fenotípico de las mutantes deficientes en la síntesis de GSH	71
2.1. Crecimiento en medio YPD	71
2.2. Crecimiento en YNB. Evaluación de los requerimientos de GSH y L-Pro	72
2.3. Crecimiento en diferentes fuentes de carbono	73
2.4. Funcionalidad del alelo <i>pro2-4</i>	74
2.5. Competencia entre el transporte de GSH y L-Pro	77
3. GSH y resistencia a fluconazol	79
DISCUSIÓN	
1. La supresión de <i>pro2-4</i> en ausencia de GSH	82
2. Resistencia a fluconazol	82
3. Auxotrofía por prolina de la mutante <i>gsh1Δ pro2-4</i>	84
4. Transporte de GSH en <i>C. glabrata</i>	84
5. <i>C. glabrata</i> y su resistencia a cadmio	86
FIGURAS ADICIONALES	88
REFERENCIAS	127

Lista de tablas

Tabla 1. Comparación del sistema de homeostasis redox de <i>S. cerevisiae</i> versus <i>C. glabrata</i>.	7
Tabla 2. Comparación del metabolismo de la prolina de <i>S. cerevisiae</i> versus <i>C. glabrata</i>	17
Tabla 3. Cepas de <i>Escherichia coli</i>	18
Tabla 4. Cepas de <i>Candida glabrata</i>	20
Tabla 5. Plásmidos	25
Tabla 6. Oligonucleótidos usados en este trabajo	27

Lista de figuras

Figura 1. El sistema redox tiol citoplasmático consiste del sistema Trx (tiorredoxina) y el sistema GSH (glutatió)	4
Figura 2. Estructura del GSH.	8
Figura 3. Biosíntesis de GSH.	9
Figura 4. Inactivación de cadmio por medio de GSH en <i>S. cerevisiae</i>.	14
Figura 5. Rutas biosintéticas de la prolina	16
Figura 6. El gen <i>GSH1</i> es un gen esencial.	69
Figura 7. La presencia de <i>ScOPT1</i> permite interrumpir el gen <i>GSH1</i> en <i>C. glabrata</i>.	70
Figura 8. Análisis del crecimiento en medio YPD líquido.	71
Figura 9. Análisis del crecimiento en medio YNB líquido.	72
Figura 10. Análisis del crecimiento en diferentes fuentes de carbono.	73
Figura 11. Análisis de la funcionalidad del alelo <i>pro2-4</i> para la biosíntesis de prolina.	74
Figura 12. El requerimiento de prolina en la mutante <i>gsh1Δ pro2-4</i> se mantiene aún cuando se reconstituye el gen <i>GSH1</i> en su locus nativo y se elimina cuando se complementa con una copia del gen <i>PRO2</i> silvestre.	75
Figura 13. En la mutante <i>pro2Δ</i> se elimina la auxotrofía a prolina expresando de manera episomal el alelo silvestre <i>PRO2</i> o el alelo <i>pro2-4</i>.	76
Figura 14. La presencia de prolina afecta la toma de GSH.	77
Figura 15. Análisis del crecimiento de la mutante <i>pro2-4</i> durante varios días de crecimiento.	78
Figura 16. La mutante <i>GSH1 pro2-4</i> es más resistente a fluconazol que la cepa silvestre y la resistencia es independiente de los genes <i>PDRs</i>.	79
Figura 17. Análisis del crecimiento en medio YNB y medios reducidos con o sin GSH.	88
Figura 18. Análisis del contenido de GSH intracelular durante el crecimiento en medio rico YPD.	90

Figura 19. Análisis del contenido de GSH intracelular en medio YNB y YNBrN con o sin GSH.....	91
Figura 20. La mutante <i>GSH1 pro2-4</i> contiene la misma cantidad de GSH intracelular que la cepa silvestre BG14	93
Figura 21. La mutante <i>GSH1 pro2-4</i> es auxótrofa de prolina.....	94
Figura 22. Análisis del crecimiento de la mutante <i>pro2Δ</i>.....	95
Figura 23. Fenotipos de la mutante <i>gsh2Δ pro2Δ</i>	96
Figura 24. Fenotipos de la mutante <i>ttr1Δ</i>	98
Figura 25. Análisis del crecimiento de la mutante <i>gsh2Δ ttr1Δ</i> en diferentes medios.	100
Figura 26. Fenotipos de la mutante <i>cta1Δ ttr1Δ</i>	101
Figura 27. Fenotipos de la mutante <i>yor1Δ</i>	103
Figura 28. Análisis del crecimiento de la mutante <i>dug2Δ</i>.....	105
Figura 29. El producto del gen <i>PRC1</i> no participa en la resistencia a cadmio en <i>C. glabrata</i>.....	106
Figura 30. Cuantificación de prolina en cultivos crecidos en YPD.....	107
Figura 31. Cuantificación de GSX intracelular y extracelular de cultivos de 8hs suplementados con GSH 0.1mM.....	109
Figura 32. Cuantificación de GSX intracelular y extracelular de cultivos de 24hs suplementados con GSH 0.1mM	111
Figura 33. Cuantificación de GSX intracelular y extracelular de cultivos de 8hs suplementados con GSH 0.5 mM.....	113
Figura 34. Cuantificación de GSX intracelular y extracelular de cultivos de 24hs suplementados con GSH 0.5 mM.....	115
Figura 35. Cuantificación de GSX intracelular y extracelular de cultivos de 24hs suplementados con GSH 0.05 mM.....	117
Figura 36. Purificación de proteínas de membrana de <i>Candida glabrata</i>.....	118
Figura 37. Exposición a sulfato de cadmio de varias mutantes de <i>Candida glabrata</i> en diferentes fases de crecimiento.	119
Figura 38. Exposición a fluconazol de varias mutantes de <i>Candida glabrata</i> en fase	

estacionaria	120
Figura 39. Exposición a H₂O₂ de varias mutantes de <i>Candida glabrata</i> en diferentes fases de crecimiento.	121
Figura 40. Exposición a menadiona de varias mutantes de <i>Candida glabrata</i> en fase estacionaria.	122
Figura 41. Exposición a cloruro de zinc en fase estacionaria.	123
Figura 42. Análisis de la resistencia a fluconazol en medio CAA de diferentes cepas en fase estacionaria crecidas en medio sin GSH	124
Figura 43. Análisis de la resistencia a fluconazol en medio CAA de diferentes cepas en fase estacionaria crecidas en medio con GSH 0.5mM.....	125

Resumen

El papel del glutatión en la respuesta a estrés oxidante del hongo patógeno *Candida glabrata*

Candida glabrata es un hongo patógeno oportunista, en EUA se encuentra en el 18 a 26% de las candidiasis sistémicas. *C. glabrata* tiene una fuerte respuesta a estrés oxidante y en este trabajo caracterizamos el papel del glutatión (GSH), un tiol esencial que se requiere para mantener el equilibrio redox celular y en la eliminación de iones metálicos. El GSH se sintetiza a partir de ácido glutámico, cisteína y glicina mediante dos reacciones secuenciales donde intervienen las enzimas Gsh1 (gama glutamil cisteína sintetasa) y Gsh2 (glutatión sintetasa). En primer lugar hicimos un escrutinio para encontrar mutaciones supresoras que permitieran el crecimiento en ausencia del gen *GSH1* (*gsh1Δ*) y encontramos una única mutación en el gen *PRO2* (*pro2-4*), que codifica para la enzima γ-glutamil fosfato reductasa que cataliza la segunda reacción en la ruta de biosíntesis de la prolina. Encontramos que el GSH es importante en la respuesta a estrés oxidante ya que las mutantes *gsh1Δ pro2-4* and *gsh2Δ* son más sensibles a estrés generado por H₂O₂ y menadiona. También se requiere para la tolerancia a cadmio. En ausencia de las enzimas Gsh1 y Gsh2 las células mueren rápidamente en fase estacionaria. Además, a pesar de que *C. glabrata* no contiene el ortólogo al transportador de GSH ScOpt1/Hgt1 nuestros datos genéticos y bioquímicos muestran que las mutantes *gsh1Δ pro2-4* and *gsh2Δ* pueden incorporar GSH del medio. Finalmente, reportamos que los sistemas GSH y tiorredoxina, el segundo sistema redox celular, no son esenciales para la respuesta de adaptación a H₂O₂ independiente de la catalasa.

Palabras clave: *Candida glabrata*, glutatión, tolerancia a cadmio, supresora *PRO2*, estrés oxidante, catalasa, tiorredoxina.

Abstract

The role of glutathione in the oxidative stress response in the fungal pathogen *Candida glabrata*

Candida glabrata, an opportunistic fungal pathogen, accounts for 18-26% of all *Candida* systemic infections in the US. *C. glabrata* has a robust oxidative stress response and in this work we characterized the role of glutathione (GSH), an essential tripeptide-like thiol-containing molecule required to keep the redox homeostasis and in the detoxification of metal ions. GSH is synthesized from glutamate, cysteine and glycine by the sequential action of Gsh1 (gamma-glutamyl-cysteine synthetase) and Gsh2 (glutathione synthetase) enzymes. We first screened for suppressor mutations that would allow growth in the absence of *GSH1* (*gsh1Δ* background) and found a single point mutation in *PRO2* (*pro2-4*), a gene that encodes a gamma-glutamyl phosphate reductase and catalyzes the second step in the biosynthesis of proline. We demonstrate that GSH is important in the oxidative stress response since the *gsh1Δ pro2-4* and *gsh2Δ* mutant strains are more sensitive to oxidative stress generated by H₂O₂ and menadione. GSH is also required for Cadmium (Cd) tolerance. In the absence of both Gsh1 and Gsh2, cells die rapidly in stationary phase. Furthermore, *C. glabrata* does not contain the *Saccharomyces cerevisiae* high affinity GSH transporter orthologue, ScOpt1/Hgt1, however our genetic and biochemical experiments show that the *gsh1Δ pro2-4* and *gsh2Δ* mutant strains are able to incorporate GSH from the medium. Finally, GSH and thioredoxin, which is a second redox system in the cell, are not essential for the catalase-independent adaptation response to H₂O₂.

Key words: *Candida glabrata*, glutathione, cadmium tolerance, *PRO2* suppressor, oxidative stress, catalase, thioredoxin.

INTRODUCCIÓN

1. *Candida glabrata*

C. glabrata es una levadura haploide no dimórfica que forma parte de la flora normal de individuos sanos. En las últimas décadas ha emergido como la segunda levadura patógena más prevalente después de *Candida albicans* debido al uso de fluconazol como agente profiláctico (Li, et al., 2007, Pfaller & Diekema, 2007, Presterl, et al., 2007). Tanto *C. albicans* como *C. glabrata* cambian de comensales a patógenos oportunistas cuando el hospedero presenta inmunosupresión, como sucede en pacientes con cáncer, diabetes, trasplantados o en etapa senil (Malani, et al., 2005).

Factores de virulencia en *C. glabrata*

Se han identificado varios factores de virulencia en *C. glabrata*:

1. Adherencia. *C. glabrata* se adhiere a las células epiteliales del hospedero mediante proteínas de pared celular llamadas adhesinas. Las adhesinas se unen covalentemente a la pared celular por medio de un dominio GPI. Las adhesinas están codificadas en la familia de los genes *EPA* (Kaur, et al., 2005) (De Las Penas, et al., 2003).
2. Aspartil proteasas. *C. glabrata* remodela su pared celular mediante yapsinas (aspartil proteasas ancladas a la pared por su dominio GPI). Estas aspartil proteasas están involucradas en su sobrevivencia en macrófago (Kaur, et al., 2007).
3. Ace2. El gen *ACE2* codifica para el factor transcripcional Ace2 cuya ausencia genera defectos en la separación de las células hijas y hace a la cepa mutante hipervirulenta (Kamran, et al., 2004).
4. Rearreglos cromosomales. Los rearreglos cromosomales se relacionan directamente con la respuesta a las condiciones ambientales a las que se halla expuesta. Los rearreglos más comunes son fusiones cromosómicas, circularizaciones, translocaciones no recíprocas y la formación de mini cromosomas. Los cromosomas que presentan estos arreglos son aquellos que contienen genes implicados en la interacción de *C. glabrata* con su hospedero: transportadores tipo ABC, aspartil proteasas, proteasas y fosfolipasa B, entre otros. Este fenómeno proporciona a la levadura un gran potencial para adaptarse dentro de su hospedero (Polakova, et al., 2009).

5. Resistencia al ataque por células fagocíticas. La primera línea de defensa contra patógenos son las células fagocíticas del hospedero y *C. glabrata* puede sobrevivir e incluso replicarse dentro de los macrófagos. Cuando *C. glabrata* es fagocitada reprograma sus vías metabólicas: Induce genes que codifican para enzimas involucradas en β -oxidación, el ciclo del glioxilato y gluconeogénesis (Kaur, *et al.*, 2007); induce la catalasa que se concentra en los peroxisomas, los cuales se incrementan tempranamente durante la fagocitosis y, posteriormente, hay pexofagia para reciclar los componentes internos (Roetzer, *et al.*, 2010). *C. glabrata* evita la maduración del fagosoma de tal manera que puede mantenerse y replicarse en este organelo hasta que el macrófago se lisa y libera a la levadura (Seider, *et al.*, 2011).

6. Resistencia a compuestos azólicos. *C. glabrata* es intrínsecamente resistente a compuestos azólicos usados como antifúngicos. En presencia de estos fármacos, *C. glabrata* induce genes que codifican para transportadores tipo ABC (*CDR1*, *CDR2* y *SNQ2*) los cuales expulsan hacia el exterior el xenobiótico presente en el interior de la célula y al gen *ERG11* (que codifica para la enzima lanosterol desmetilasa, el blanco de los compuestos azólicos) (Tsai, *et al.*, 2006). Otro mecanismo de resistencia son las mutaciones que generan ganancia de función en el gen *PDR1*, el factor de transcripción que induce la expresión de los genes *CDR1* y *CDR2* (Caudle, *et al.*, 2011). Cuando hay defectos en la función mitocondrial, se crea una alta resistencia a azoles debido a que se incrementa la expresión *CDR1*, *CDR2* y *SNQ2* (Sanglard, *et al.*, 2001). Esto sucede como un mecanismo de protección a la mitocondria cuando la levadura se expone a xenobióticos.

7. Alta resistencia al estrés oxidante. La cepa BG14 de *C. glabrata* es altamente resistente a estrés oxidante. Puede resistir concentraciones más altas de H_2O_2 y de varios agentes generadores de estrés oxidante que otras levaduras con las que se relaciona filogenéticamente, como *S. cerevisiae* y *C. albicans* (Cuellar-Cruz, *et al.*, 2008, Cuellar-Cruz, *et al.*, 2009, Abegg, *et al.*, 2010, Roetzer, *et al.*, 2011). Las enzimas que pueden desintoxicar estos compuestos son la catalasa (Cuellar-Cruz, *et al.*, 2008), las superóxido dismutasas (Roetzer, *et al.*, 2011). Los factores de transcripción *Yap1*, *Skn7*, *Msn2*, *Msn4* y *Hog1* regulan la expresión de éstas y otras enzimas para responder a estrés (Gregori, *et al.*, 2007, Cuellar-Cruz, *et al.*, 2008, Saijo, *et al.*, 2010, Roetzer, *et al.*, 2011).

2. Especies reactivas, estrés oxidante y homeostasis redox

Los compuestos oxidantes que se generan en la célula incluyen a las **Especies Reactivas de Oxígeno** y de **Nitrógeno** (ERO y ERN, respectivamente). Las ERO son formas reducidas del oxígeno que se producen y acumulan dentro de las células como el resultado de la transferencia de uno, dos, o tres electrones para formar superóxido (O_2^-), peróxido de hidrógeno (H_2O_2) y radicales hidroxilo ($\cdot OH$), respectivamente. Estos compuestos son productos secundarios de reacciones esenciales y pueden oxidar a todas las biomoléculas (Halliwell & Gutteridge, 1999).

En condiciones fisiológicas existe un balance entre la generación de compuestos oxidantes y su eliminación. En el momento que la generación de oxidantes supera a la capacidad de eliminación de los mismos, se genera estrés oxidante en la célula (Sies, 1991). En respuesta al estrés oxidante, las células pueden inducir sistemas de defensa antioxidante para restaurar el equilibrio pro-oxidante/antioxidante (**adaptación**), pueden sufrir daño celular y/o morir por necrosis o apoptosis (Halliwell & Gutteridge, 1999).

En presencia de estrés oxidante, las células requieren mantener el equilibrio redox por medio de mecanismos de defensa enzimáticos y no enzimáticos y de estrategias de reparación de las moléculas dañadas. Para una eliminación rápida de las especies reactivas, las células utilizan enzimas con alta capacidad catalítica, como la superóxido dismutasa (SOD), la catalasa (CTA), la glutatión peroxidasa (Gpx), y las peroxiredoxinas, entre otras (Rhee, *et al.*, 2005).

El equilibrio redox se mantiene y se restaura por la acción de dos sistemas de amortiguamiento, el sistema tiorredoxina (Trx) y el sistema glutatión (GSH) (Toledano, *et al.*, 2007). Ambos sistemas efectúan reacciones redox en residuos de cisteína activos, alternando entre el estado tiol reducido (-SH) y el enlace disulfuro oxidado (-S-S-). Al final, la fuente donadora de electrones de ambos sistemas es el NADPH que proviene de la oxidación de la pentosa fosfato, el cual actúa como el donador primario de protones (Toledano, *et al.*, 2007) (Figura 1). *C. glabrata* posee la mayoría de los genes ortólogos que codifican para las proteínas de ambos sistemas (Tabla 1).

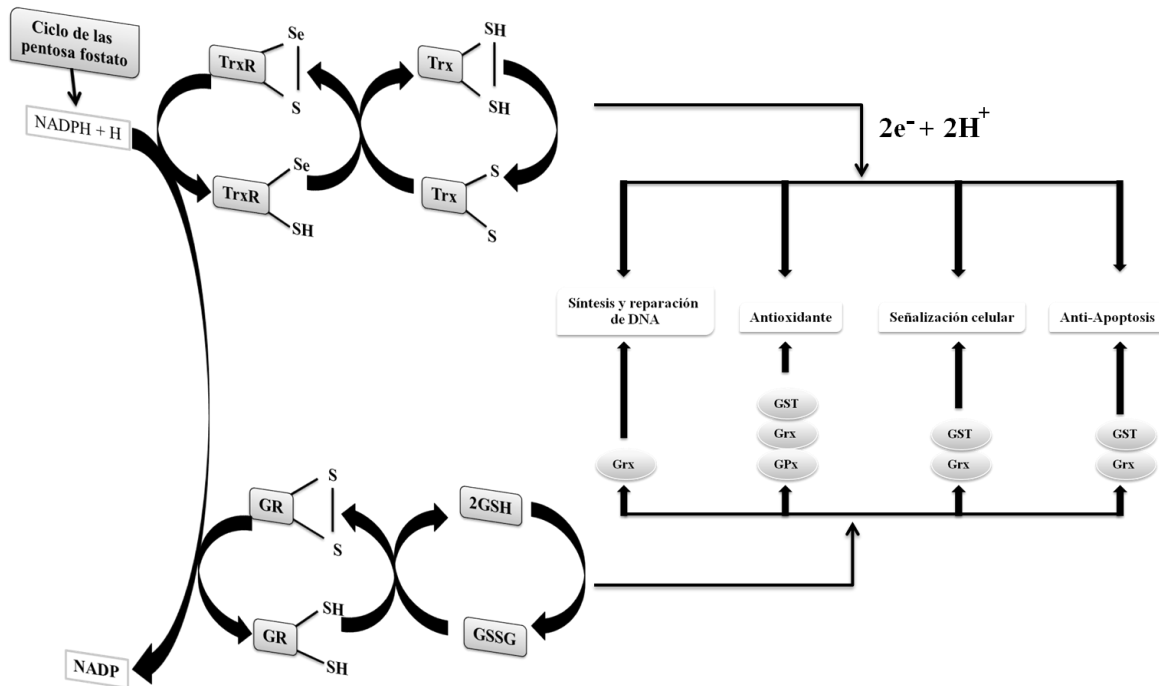


Figura 1. El sistema redox tiol citoplasmático consiste del sistema Trx (tiorredoxina) y el sistema GSH (glutatión). El sistema tiorredoxina involucra a NADPH, TrxR (tiorredoxina reductasa), y Trx que se acoplan con peroxiredoxinas. El sistema GSH se compone por NADPH, GR (glutatión reductasa) y GSH que se acopla con Grxs (Glutaredoxinas), GPxs (glutatión peroxidases) y GST (glutatión S tranferasas). Ambos sistemas regulan actividades celulares como síntesis de ADN, protección contra estrés oxidante y controlan la proliferación celular y la apoptosis. La última fuente de electrones para ambos sistemas proviene de la oxidación de las pentosas fosfato que produce NADPH a partir de NADP+. (Tomado y modificado de (Lu, et al., 2007)).

2.1. Sistema tiorredoxina. El sistema tiorredoxina incluye a las tiorredoxinas y a las tiorredoxina reductasas. *S. cerevisiae* cuenta con un sistema citoplasmático constituido por dos tiorredoxinas (Muller, 1991) y una tiorredoxina reductasa (Chae, et al., 1994) y con un sistema mitocondrial constituido por una tiorredoxina y una tiorredoxina reductasa (Pedrajas, et al., 1999).

Las tiorredoxinas son oxidoreductasas de bajo peso molecular y poseen un sitio activo conservado CGPC (Holmgren, 1985). Estas moléculas catalizan reacciones de intercambio de grupos ditioidisulfuro presentes en su sustrato (Figura 1). Las tiorredoxinas citoplasmáticas son codificadas por los genes *TRX1* y *TRX2*. Las mutantes sencillas en estos genes no tienen un fenotipo obvio, pero la mutante doble *trx1Δ trx2Δ* es incapaz de asimilar sulfato porque ambas tiorredoxinas actúan como donadores de hidrógeno para la enzima fosfoadenosina fosfatosulfato (PAPS) reductasa (Muller, 1991). Además, en la mutante *trx1Δ trx2Δ* está afectada la función de la enzima ribonucleótido reductasa (RNR), lo cual ocasiona una fase S más larga (Muller, 1991). La mutante *trx2Δ* es sensible a H_2O_2 , debido a que todas las peroxirredoxinas dependen del sistema Trx en *S. cerevisiae* (Draculic, et al., 2000) (Kuge & Jones, 1994).

La enzima tiorredoxina reductasa está codificada por el gen *TRR1*. Su función es reducir las tiorredoxinas oxidadas. Las mutantes *trr1Δ* son sensibles a H_2O_2 y son auxótrofas de metionina (Machado, et al., 1997, Pearson & Merrill, 1998); sin embargo son capaces de asimilar sulfato y tienen una fase S normal.

2.2. Sistema GSH. Este sistema consiste de glutaredoxinas (Grx), GSH y una glutatión reductasa (Glr1) (Figura 1).

Las glutaredoxinas son oxidoreductasas que requieren de GSH como donador de electrones para reducir su enlace disulfuro una vez que llevan a cabo su reacción enzimática (Holmgren & Aslund, 1995). De acuerdo a la estructura de su sitio activo, se clasifican como ditiol (motivo CPY/FC) y monotiol (motivo CGFS) (Lundberg, et al., 2004) (Rodriguez-Manzaneque, et al., 1999). El genoma de *S. cerevisiae* codifica para 7 Grxs. Grx1 y Grx2 son glutaredoxinas tipo ditiol, ambas están involucradas en defensa antioxidante. Grx1 es importante para contrarrestar los efectos del anión superóxido y de

hidroperóxidos mientras que Grx2 es específica para hidroperóxidos (Luikenhuis, *et al.*, 1998). Grx1 y Grx2 pueden reducir a la enzima RNR pero con menos eficiencia que las Trxs (Draculic, *et al.*, 2000).

Existen cinco Grxs del tipo monotiol y desarrollan diferentes funciones que las de tipo ditiol. Grx3 and Grx4 tienen un dominio parecido al dominio tiorredoxina, CGFS. Se encuentran predominantemente en el núcleo (Lopreiato, *et al.*, 2004) (Ojeda, *et al.*, 2006) (Pujol-Carrion, *et al.*, 2006). Grx5 se encuentra en la matriz mitocondrial donde participa en la maduración y ensamble de las proteínas ferrosulfuradas (Rodriguez-Manzaneque, *et al.*, 2002) (Ojeda, *et al.*, 2006). Grx6 y Grx7 tienen en su sitio activo los motivos CSYS y CPYS, respectivamente. Aunque pertenecen al grupo monotiol difieren considerablemente de las proteínas de este grupo. Ambas proteínas se encuentran en el *cis*-Golgi. Grx6 y Grx7 son importantes para responder al estrés oxidante (Mesecke, *et al.*, 2008).

Ninguna Grxs es esencial de manera individual. La doble mutante *grx2Δ grx4Δ* crece lentamente. En la mutante *grx5Δ*, que crece lentamente, se acumula Fe libre y esto incrementa el estrés oxidante (Rodriguez-Manzaneque, *et al.*, 2002; Vilella, *et al.*, 2004).

Tabla 1. Comparación del sistema de homeostasis redox de *S. cerevisiae* versus *C. glabrata*.

	Proteína	Gen <i>S. cerevisiae</i>	Gen <i>C. glabrata</i>	% Identidad*	Sintenia ⁺
SISTEMA TOREDOXINA	Trx1				
	Citoplásrica	YLR043C	No ortólogo	NA	NA
	Trx2				
	Citoplásrica	YGR209C	CAGL0K00803g	76	Sí
	Trr1				
	Citoplásrica	YDR353W	CAGL0A02530g	86	Sí
	Trx3				
	Mitocondrial	YCR083W	CAGL0E00583g	46	Sí
SISTEMA GLUTATIÓN	Trr2				
	Mitocondrial	YHR106W	CAGL0I01166g	75	Sí
	Grx1	YCL035C	No ortólogo	NA	NA
	Grx2	YDR513W	CAGL0K05818g	55	Sí
	Grx3	YDR098C	CAGL0G08151g	58	Sí
	Grx4	YER174C	CAGL0L11990g	46	Sí
	Grx5	YPL059W	CAGL0M07271g	72	Sí
	Grx6	YDL010W	No ortólogo	NA	NA
	Grx7	YBR014C	CAGL0I04554g	25	Sí
	Glr1	YPL091W	CAGL0H05665g	79	Sí
	Gsh1	YJL101C	CAGL0L03630g	68	Sí
	Gsh2	YOL049w	CAGL0F00825g	50	Sí
	Ecm38	YLR299W	CAGL0I00506g	60	Sí
	Glr1	YPL091W	CAGL0H05665g	78	Sí
	Gpx1	YKL215C	CAGL0K00231g	64	Sí
	Gpx2	YBR244W	CAGL0C01705g	74	Sí
	Gpx3	YIR037W	No ortólogo	NA	NA
	Gto1	YGR154C	No ortólogo	NA	NA
	Gto2	YKR076W	CAGL0G02101g	68	Sí
	Gto3	YMR251W	No ortólogo	NA	NA
	Gtt1	YIR038C	No ortólogo	NA	NA
	Gtt2	YLL060C	No ortólogo	NA	NA
	Gtt3	YEL017W	CAGL0M03311g	32	Sí

* % de identidad a nivel de la proteína completa

+ Ventana de ±8 genes. .Versión 7 (Scannell, et al., 2011).

NA No aplica

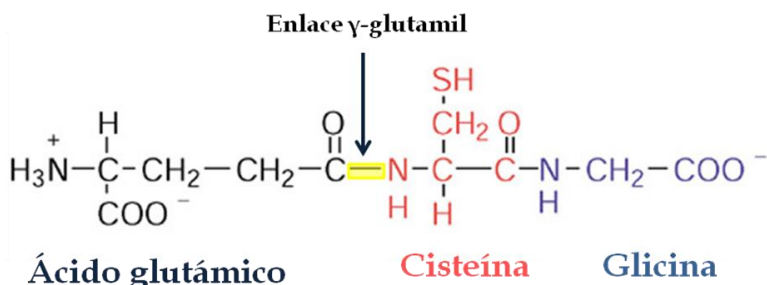


Figura 2. Estructura del GSH. El GSH es un tripéptido con un enlace γ -Glutamilo.

El GSH es un tripéptido formado por ácido glutámico, cisteína y glicina (Figura 2) y se sintetiza de manera no ribosomal mediante un mecanismo donde intervienen dos enzimas: γ -glutamilcisteína sintetasa (Gsh1) codificada por el gen *GSH1* (Ohtake & Yabuuchi, 1991), y glutatión sintasa (Gsh2) codificada por el gen *GSH2* (Mooz & Meister, 1967) (Figura 3). El residuo de cisteína es el responsable de las propiedades redox del GSH.

En *S. cerevisiae*, la mutante *gsh1Δ* es inviable y su crecimiento se rescata con la adición de GSH. Gsh2 es dispensable para el crecimiento bajo condiciones normales, en presencia de estrés oxidante el dipéptido γ -GC sustituye parcialmente la ausencia de GSH (Grant, *et al.*, 1997).

El gen *GSH1* se expresa en condiciones fisiológicas (Inoue, *et al.*, 1998, Sugiyama, *et al.*, 2000), y en presencia de estrés oxidante se induce por Yap1 (Lee, *et al.*, 1999) (Carmel-Harel & Storz, 2000). *GSH1* también se regula por GHS a través del factor transcripcional Met4 (Thomas, *et al.*, 1992, Wheeler, *et al.*, 2002). Los niveles de GSH responden a la disponibilidad y naturaleza de las fuentes de nitrógeno y de carbono (Nagy, *et al.*, 2003) (Mehdi & Penninckx, 1997).

Existen dos actividades enzimáticas que pueden degradar el GSH. La enzima γ -Glutamil transpeptidasa, (γ -GT), codificada por el gen *ECM38* (Penninckx & Elskens, 1993), cataliza la transferencia del residuo γ -Glutamil del GSH a otros aminoácidos. La enzima se encuentra unida a la membrana vacuolar (Jaspers & Penninckx, 1984, Mehdi, et al., 2001). Una vez que el γ -GT retira el ácido glutámico del GSH, la enzima L-Cisteinil-glicina dipeptidasa, CG, hidroliza al dipéptido L-cisteinil-glicina (Jaspers & Penninckx, 1984).

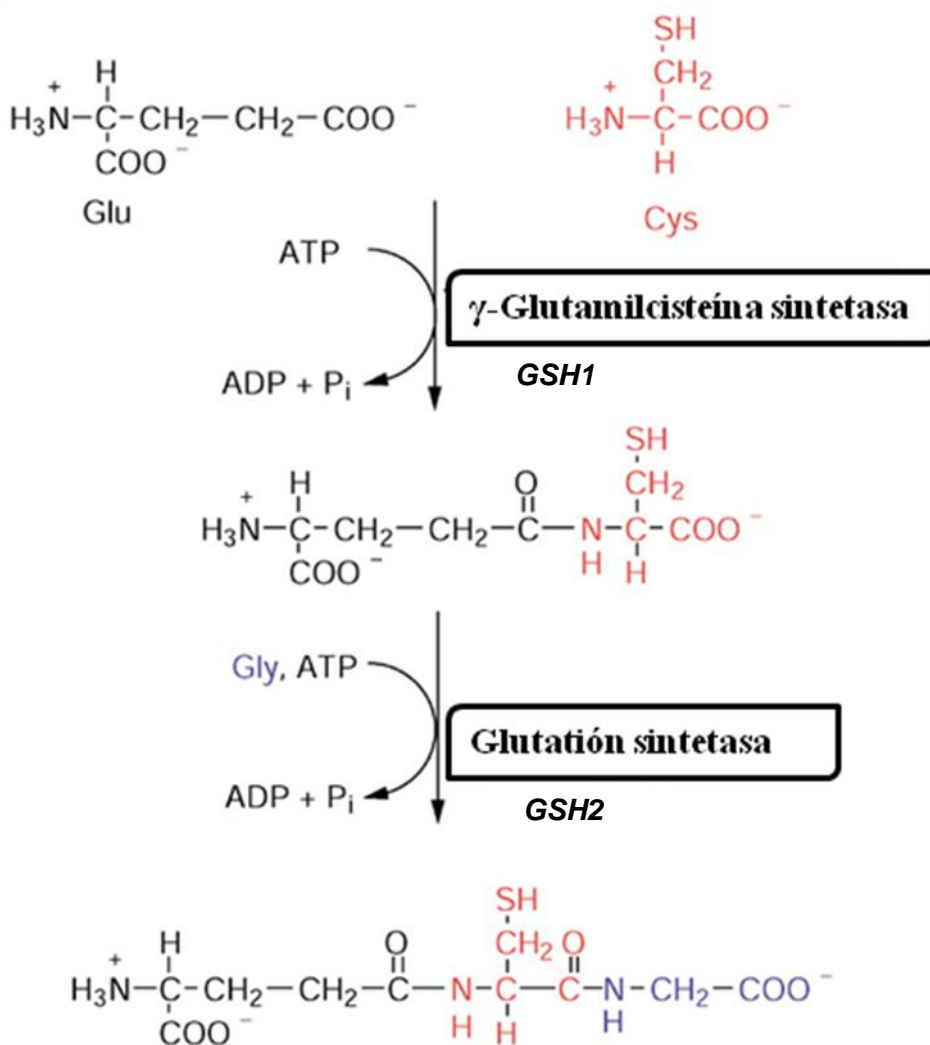


Figura 3. Biosíntesis de GSH. La enzima Gsh1 (γ -glutamylcisteína sintetasa) condensa la cisteína con ácido glutámico y Gsh2 (glutatión sintetasa) forma el GSH adicionando un residuo de glicina. Tomado y modificado de (Copley & Dhillon, 2002).

Recientemente, se ha descrito el complejo DUG en el catabolismo de GSH. La degradación del GSH por este complejo ocurre en el citosol y requiere de la participación de tres genes denominados *DUG1*, *DUG2* y *DUG3* los cuales codifican para peptidasas (Kumar, *et al.*, 2003, Ganguli, *et al.*, 2007).

La enzima glutatión reductasa (GR) es esencial para mantener y restaurar el balance GSH/GSSG en una reacción que depende del NADPH (Grant, 2001).

El GSH es esencial porque participa en la maduración de grupos de hierro-azufre (Sipos, *et al.*, 2002, Kumar, *et al.*, 2011) en conjunto con el transportador ABC de membrana mitocondrial Atm1 y la tioloxidasa del espacio intermembranal Erv1 (Lill, *et al.*, 1999) (Lange, *et al.*, 1999) (Sipos, *et al.*, 2002). Este proceso es vital para la maduración de proteínas esenciales del citoplasma (Lill, 2009). Además de esta función esencial, el GSH también lleva a cabo otras funciones, protege al ADN mitocondrial, estabiliza membranas y proteínas, participa en la diferenciación celular y desarrollo, en el ensamblaje adecuado de microtúbulos y en la desintoxicación de xenobióticos (metales pesados y drogas). Debido a su abundancia celular, brinda protección contra estrés oxidante.

El GSH reacciona de manera directa con ERO y ERN o radicales que contienen carbono. También protege a las proteínas de oxidaciones irreversibles, proceso conocido como glutationilación (Grant, *et al.*, 1999, Shenton, *et al.*, 2002). Puede reaccionar con el 4-hidroxi-2-nonenal y malondialdeído que se producen durante la peroxidación lipídica (Gupta, *et al.*, 1996, Turton, *et al.*, 1997, Wonisch, *et al.*, 1997). Participa en la eliminación de peróxidos al reducir a las Glutatión peroxidases (GPx) (Inoue, *et al.*, 1995, Avery & Avery, 2001) y desintoxica algunos compuestos junto con las glutatión transferasas.

3. Control de la respuesta a estrés oxidante

Los principales reguladores de la respuesta a estrés oxidante en *S. cerevisiae* son Yap1, Skn7, Msn2, Msn4, Sko1 y Hsf1.

Yap1. Yap1 pertenece a la familia bZip (basic-leucine zipper) (Moye-Rowley, *et al.*, 1989). Yap1 regula la respuesta a estrés oxidante, a estrés por cadmio y a estrés por drogas y activa la transcripción de transportadores asociados a la membrana como *YCF1*, *ATR1*, y *FLR1*. Una mutante *yap1Δ* es hipersensible a H_2O_2 , ter-butil hidroperóxido e hidroperóxido de cumeno (Schnell, *et al.*, 1992). Yap1 regula la inducción de antioxidantes celulares y la vía de las pentosas fosfato (Lee, *et al.*, 1999).

Yap1 se activa por diferentes compuestos como: peróxidos (H_2O_2 , t-BOOH) y por diamida (Kuge & Jones, 1994), menadiona (Stephen, *et al.*, 1995, Stephen & Jamieson, 1997), dietilmaleato (Kuge & Jones, 1994), benomil y MMS (Nguyen, *et al.*, 2001), y cadmio (Hirata, *et al.*, 1994, Stephen & Jamieson, 1997). La activación de Yap1 involucra diferentes modificaciones estructurales de la proteína las cuales controlan su distribución dentro de la célula (Kuge, *et al.*, 1997, Kuge, *et al.*, 1998) (Yan, *et al.*, 1998) (Delaunay, *et al.*, 2000). La exportación nuclear de Yap1 está regulada por la presencia de diamida, dietilmaleato y peróxidos donde cada compuesto involucra una modificación estructural diferente (Wemmie, *et al.*, 1997) (Delaunay, *et al.*, 2000).

En condiciones no estresantes Yap1 está en citoplasma (Kuge, *et al.*, 1997). Crm1 transporta a Yap1 fuera del núcleo ya que reconoce la NES (secuencia de exportación nuclear) de Yap1 ubicada en el extremo carboxilo terminal. Cuando Yap1 se expone a oxidantes se acumula en el núcleo porque deja de interactuar con Crm1 debido a la formación de un puente disulfuro catalizado por Gpx3 que enmascara la NES (Kuge, *et al.*, 1998, Yan, *et al.*, 1998).

Skn7. Este factor de transcripción también es crítico para la respuesta a estrés por peróxido. Skn7 se requiere para la activación de *TRX2* y *TRR1* en respuesta a H₂O₂ (Morgan, *et al.*, 1997, Lee, *et al.*, 1999, Raitt, *et al.*, 2000). Induce varios genes de choque térmico (*HSP12*, *HSP26* y *HSP104*) en respuesta a H₂O₂ (Raitt, *et al.*, 2000), y la mitad del regulón de Yap1 que incluye antioxidantes y actividades de la vía tiorredoxina (Lee, *et al.*, 1999). Skn7 es parte de una vía de señalización de dos componentes (Brown, *et al.*, 1994). La activación de la transcripción de *TRX2* por Skn7 no está mediada por H₂O₂, sino por un incremento en la osmolaridad interna.

Msn2 y Msn4. Son factores de transcripción que contienen un dedo de zinc y que median respuestas a muchas condiciones que activan los elementos respuesta a estrés (Martinez-Pastor & Estruch, 1996, Schmitt & McEntee, 1996). La mutante doble *msn2Δ msn4Δ* es hipersensible a H₂O₂ (Martinez-Pastor & Estruch, 1996), y por microarreglos se determinó que estos factores transcripcionales regulan genes como *CTT1*, varias *HSP*, y enzimas de la vía del metabolismo de carbohidratos (Gasch, *et al.*, 2000).

Sko1. Es un factor transcripcional bZip que se une y reprime genes del grupo de elementos de respuesta a cAMP (CRE). Es el primer sustrato directo de Hog1 (Proft, *et al.*, 2001). Sko1 reprime la expresión basal de genes que dependen del sistema CRE reclutando al complejo represor Tup1/Ssn6/Cyc8. Cuando hay estrés osmótico la represión por este complejo se libera de manera dependiente de Hog1 (Marquez, *et al.*, 1998) (Proft & Serrano, 1999) (Rep, *et al.*, 2001) que libera a un activador específico CRE hipotético (Garcia-Gimeno & Struhl, 2000). Además, en respuesta a estrés osmótico, Sko1 se convierte de un represor a un activador (Rep, *et al.*, 2001) de los genes *GRE2*, *AHP1*, *GLR1*, *SFA1* y *YML131W*, los cuales también se inducen por H₂O₂ a través de Yap1 (Rep, *et al.*, 2001). Sko1 interfiere con el acceso de Yap1 a sus promotores y/o su actividad pero el mecanismo no se conoce.

4. Glutatión y estrés por metales pesados: cadmio

El cadmio es un elemento traza altamente tóxico que ingresa a las células mediante transportadores de cationes como calcio, hierro, o zinc (Clemens, 2006). Dentro de las células el cadmio:

- Se une a las bases del ADN y produce cortes de cadena sencilla e inhibe el sistema de reparación de errores (Jin, *et al.*, 2003).
- Genera disfunción mitocondrial (Gomes, *et al.*, 2008)
- Ocasiona estrés oxidante debido a su afinidad por los grupos tiol, especialmente GSH (Azevedo, *et al.*, 2007)

Para contrarrestar los efectos tóxicos del cadmio los organismos cuentan con varias estrategias. El mecanismo general es desintoxicar al cadmio conjugándolo con GSH, otra manera es sintetizar fitoquelatinas (péptidos tiol sintetizados enzimáticamente) (Grill, *et al.*, 1989). Las fitoquelatinas se producen en respuesta a la exposición a cadmio por la enzima fitoquelatina sintasa. El complejo fitoquelatina-cadmio se transporta a la vacuola. Esta estrategia ha sido descrita en plantas (Grill, *et al.*, 1985), en hongos como *Schizosaccharomyces pombe* (Ha, *et al.*, 1999) y en nemátodos (Vatamaniuk, *et al.*, 2005). En mamíferos, el cadmio se desintoxica con metalotioneínas (Henkel & Krebs, 2004).

S. cerevisiae acompleja el cadmio citoplasmático como Bis (glutationato)-Cd y lo transporta a la vacuola a través del transportador Ycf1 (Li, *et al.*, 1997). La enzima Gt2 (Glutatión transferasa 2) participa en la formación del complejo GSH-Cd cuya acumulación citoplasmática inhibe la toma de cadmio (Adamis, *et al.*, 2004) (Gomes, *et al.*, 2002). Dentro de la vacuola el GSH se degrada por las enzima γ GT (γ Glutamil transferasa) y Lap4 (cisteinilglicina dipeptidasa) liberando el ácido glutámico, la cisteína y la glicina al citoplasma para que se reutilicen en la biosíntesis de GSH (Adamis, *et al.*, 2007) (Figura 4).

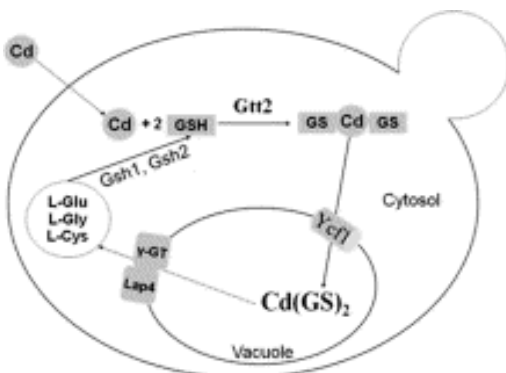


Figura 4. Inactivación de cadmio por medio de GSH en *S. cerevisiae*. La enzima Gtt2 conjuga el cadmio con dos moléculas de GSH y el conjugado se transporta a vacuola a través de Ycf1. Dentro de la vacuola, las enzimas γ -GT y Lap4 liberan el GSH y así se reciclan los aminoácidos constituyentes. (Tomado de (Adamis, et al., 2009)).

S. cerevisiae no tiene homólogos de fitoquelatina sintasa, pero previamente se describió la presencia de pequeñas fitoquelatinas en respuesta a la exposición de iones metálicos (Kneer, et al., 1992). En el 2007, se reportó que las serín carboxipeptidasas vacuolares CPY (codificada por YMR297W) y CPC (codificada por YBR139W) pueden llevar a cabo la síntesis de fitoquelatinas en *S. cerevisiae* (Wunschmann, et al., 2007).

C. glabrata contiene genes que codifican para metalotioneínas (MT) y la presencia de fitoquelatinas en respuesta a estrés por cadmio se ha reportado (Mehra, et al., 1988, Mehra, et al., 1989, Mehra, et al., 1992). Sin embargo, no se ha identificado el gen que codifique para una fitoquelatina sintasa.

5. Transporte de glutatión en levaduras

S. cerevisiae tiene dos sistemas de transporte de péptidos: PTR (Peptide Transporter) y OPT (Oligopeptide Transporter) (Hauser, et al., 2001).

S. cerevisiae tiene genes que codifican para dos miembros de la familia OPT, Opt1 y Opt2, y existe además otro miembro hipotético, YGL114w (Wiles, et al., 2006). Opt1 es una proteína con 12-14 dominios transmembranales. Puede transportar tetra y pentapéptidos (Lubkowitz, et al., 1998) y también GSH (Bourbouloux, et al., 2000). OPT1 se induce en ausencia de azufre y presencia de aminoácidos sulfurados (Wiles, et al., 2006).

El sistema PTR está codificado por 3 genes (Island, et al., 1991): dos reguladores transcripcionales y una proteína integral de membrana, Ptr2 (Perry, et al., 1994). Ptr2 permite el transporte de di y tripéptidos a través de la membrana.

Los sustratos de Ptr2 son similares a los de Opt1 porque ambas permeasas transportan pequeños péptidos, pero el papel fisiológico de cada transportador es diferente. Ptr2, transporta dipéptidos y tripéptidos para metabolizar sus aminoácidos constituyentes como fuente de nitrógeno. Opt1 transporta GSH y tetra/pentapéptidos probablemente para obtener azufre (Wiles, et al., 2006).

6. Metabolismo de la prolina

La prolina es un aminoácido que se sintetiza a partir del ácido glutámico. El glutamato se activa por la enzima γ -glutamil cinasa, Pro1, para formar glutamil fosfato. El glutamil fosfato es muy inestable y se convierte a glutamato semialdehído por la enzima γ -glutamil fosfato reductasa, Pro2. El glutamato semialdehído se cicla espontáneamente para formar el ácido Δ^1 -pirrolina-5-carboxílico (P5C). Finalmente, la enzima P5C reductasa convierte al P5C en prolina (Figura 5). La síntesis de prolina ocurre en el citoplasma (Tomenchok & Brandriss, 1987).

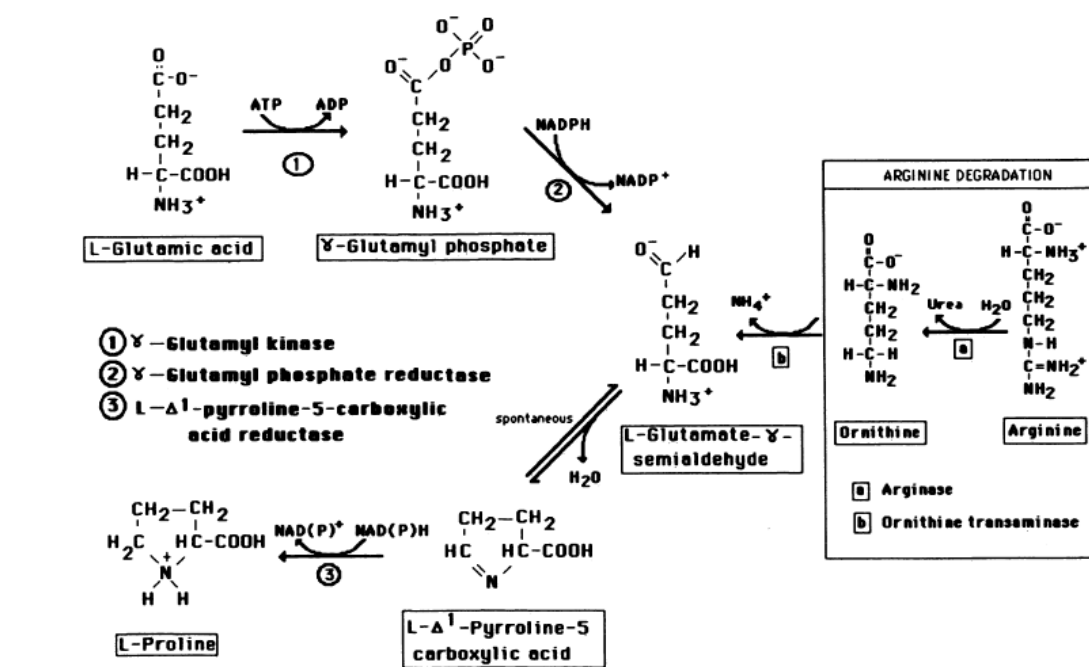


Figura 5. Rutas biosintéticas de la prolina (Tomenchok & Brandriss, 1987).

La prolina entra a la célula a través de la permeasa de prolina, Put4, y de la permeasa general de aminoácidos, Gap1. Se transporta a la mitocondria y se convierte en glutamato mediante la participación secuencial de dos enzimas: prolina oxidasa, Put1, y la P5C deshidrogenasa, Put2. Ambas proteínas son reguladas transcripcionalmente por Put3. (Brandriss & Magasanik, 1979, Siddiqui & Brandriss, 1989).

En *S. cerevisiae*, las mutantes *pro1 Δ* y *pro2 Δ* no son auxótropas de prolina porque el requerimiento de prolina lo cubre la vía de degradación de la arginina o la ornitina (Figura 5). Las mutantes *pro3 Δ* son auxótropas de prolina (Brandriss & Magasanik, 1981).

Tabla 2. Comparación del metabolismo de la prolina de *S. cerevisiae* versus *C. glabrata*

Proteína	Gen <i>S. cerevisiae</i>	Gen <i>C. glabrata</i>	% Identidad*	Sintenia⁺
Pro1 Citoplásrica	YDR300C	CAGL0H01441g	71	Sí
Pro2 Citoplásrica	YOR323C	CAGL0F00693g	77	Sí
Pro3 Citoplásrica	YER023W	CAGL0I08283g	75	Sí
Car1 Citoplásrica	YPL111W	CAGL0J07062g	72	Sí
Arg8 Mitocondrial	YOL140W	CAGL0B01507g	71	Sí
Put1 Mitocondrial	YLR142W	CAGL0M04499g	62	Sí
Put2 Mitocondrial	YHR037W	CAGL0D03982g	75	Sí
Put3 Nuclear	YKL015W	CAGL0L09691g	60	Sí
Put4 Membrana plasmática	YOR348C	CAGL0E05632g	69	Sí
Gap1 Membrana plasmática	YKR039W	CAGL0L03267g	70	Sí

* % de identidad a nivel de la proteína completa

+ Ventana de ±8 genes. Versión 7 (Scannell, et al., 2011).

NA No aplica

MATERIALES Y MÉTODOS

1. Medios de cultivo y cepas

1.1. Medios de cultivo para bacterias.

Para el cultivo de bacterias se utilizó el medio Luria-Bertani (LB): extracto de levadura (5 g/L), triptona (10 g/L) y NaCl (10 g/L). Cuando fue necesario al medio LB se le añadió carbenicilina (Invitrogen™) (50 µg/mL), cloranfenicol (IBI Scientific) (20 µg/mL), kanamicina (A. G. Scientific, Inc.) (30 µg/mL). Para el medio LB sólido se añadió agar (15 g/L). Para recuperar cepas bacterianas competentes se utilizó el medio SOC: extracto de levadura (5 g/L), triptona (20 g/L), NaCl (10 mM), KCl (2.3 mM), MgSO₄ (10 mM) MgCl₂ (10 mM) y glucosa (0.4% w/v).

1.2. Cepas de bacterias. Las cepas bacterianas utilizadas en este trabajo se describen en la tabla 3.

Tabla 3. Cepas de *Escherichia coli*

Cepa	Genotipo	Referencia
DH10	F ⁻ <i>mcrA</i> Δ(<i>mrr-hsdRMS-mcrBC</i>) φ80d <i>lacZΔ lacX74 deoR recA1 endA1 araD139</i> Δ(<i>ara,leu</i>)7697 <i>galU galK λ- rpsL nupG</i>	(Calvin & Hanawalt, 1988)
DH10 <i>pcnB</i>	DH10 <i>pcnB</i>	(Lopilato, et al., 1986)
<i>Stbl2</i>	F ⁻ <i>mcrA</i> Δ(<i>mrrBC-hsdRMS</i>) <i>recA1 endA1 lon gyrA96 thi1 supE44 relA1 λ- Δ(lac-proAB)</i>	Invitrogen™

1.3. Medios de cultivo para levaduras.

Medio YPD: extracto de levadura (10 g/L), peptona (20 g/L), glucosa (20 g/L) y uracilo (25 mg/L). Cuando fue requerido se suplemento con higromicina (480 µg/mL) (A. G. Scientific), con nourseotricina (100 µg/mL) (Werner BioAgents) .

Para los ensayos de sensibilidad a agentes generadores de estrés oxidante el medio YPD se suplementó de la siguiente manera:

- H₂O₂ (Sigma-Aldrich®): 5, 10, 15, 20 y 25 mM
- Menadiona (Sigma-Aldrich®): 0.01, 0.03, 0.05, 0.06, 0.08 y 0.11 mM.
- Hidroperóxido de cumeno (Sigma-Aldrich®): 0.6, 0.8, 1.0 y 1.2 mM.
- CdSO₄ (Sigma-Aldrich®): 0.01, 0.03, 0.05, 0.08, 0.1, 0.15 y 2 mM.
- Fluconazol (Diflucan de Pfizer®): 1, 2, 4, 8, 16, 32, 64 y 128 µg/mL.

Medio YPG: extracto de levadura (10 g/L), peptona (20 g/L), glicerol (20 g/L) y uracilo (25 mg/L).

Medio CAA: base nitrogenada de levadura sin amonio (1.7 g/L), sulfato de amonio (5 g/L), casaminoácidos (6 g/L) y glucosa (20 g/L). Cuando fue necesario se suplemento con uracilo (25 mg/L).

Medio 5-FOA: base nitrogenada de levadura sin amonio (1.7 g/L), sulfato de amonio (5 g/L), casaminoáciods (6 g/L), glucosa (20 g/L), uracilo (25 mg/L) y ácido 5-fluorótico (0.9 g/L) (Toronto Research Chemicals®).

Medio YNB (Wickerham, et al., 1946): base nitrogenada de levadura sin amonio (1.7 g/L), sulfato de amonio (5 g/L), glucosa (20 g/L) y uracilo (25 mg/L). Cuando fue necesario se suplementó con L-prolina (10 µg/mL) o con GSH (0.01, 0.1, 0.25, 0.5, 1, 5 o 10 mM).

Medio YNB reducido en nitrógeno (YNBrN): base nitrogenada de levadura sin amonio (1.7 g/L), sulfato de amonio (0.5 g/L), sulfato de sodio (4.83 g/L), glucosa (20 g/L) y uracilo (25 mg/L). Cuando fue necesario se suplementó con L-prolina (10 µg/mL) o con GSH (0.01, 0.1, 0.25, 0.5, 1, 5 ó 10 mM).

Medio YNB reducido en azufre (YNBrS): base nitrogenada de levadura sin amonio (1.7 g/L), cloruro de amonio (4.046 g/L), glucosa (20 g/L) y uracilo (25 mg/L). Cuando fue necesario se suplementó con L-prolina (10 µg/mL) o con GSH (0.01, 0.1, 0.25, 0.5, 1, 5 ó 10mM).

Los medios reducidos se prepararon de acuerdo a (Wiles, et al., 2006).

Para los medios sólidos se añadió agar bacteriológico (20 g/L).

1.4. Cepas de levaduras. Las cepas de levaduras utilizadas en este estudio se describen en la tabla 4.

Tabla 4. Cepas de *Candida glabrata*

Cepa	Parental	Genotipo	Comentario	Referencia
BG2	—	Aislado Clínico	—	(Fidel, et al., 1996)
BG14	BG2	<i>ura3Δ::Tn903 Neo^R</i> (G418)	Silvestre	(Cormack & Falkow, 1999)
CGM295 cta1Δ	BG14	<i>ura3Δ::Tn903 Neo^R</i> (G418) <i>cta1Δ::hph</i>	<i>cta1Δ</i> Ura ⁻ Hyg ^r	Colección del laboratorio
CGM392 cta1Δ	CGM295	<i>ura3Δ::Tn903 Neo^R</i> (G418) pMZ18(<i>pEPA1p::FLP1</i>) <i>cta1Δ</i>	<i>cta1Δ</i> Ura ⁻ Hyg ^s	Colección del laboratorio
CGM814 gsh1Δ pro2-4	BG14	<i>ura3Δ::Tn903 Neo^R</i> (G418) <i>gsh1Δ::hph, pro2-4</i>	<i>gsh1Δ pro2-4</i> Ura ⁻ Hyg ^r	Este trabajo
CGM865 pGSH1	BG14	<i>ura3Δ::Tn903 Neo^R</i> (G418) pGE59(<i>CgCEN/ARS URA3 GSH1</i>)	Silvestre pGSH1 Ura ⁺	Este trabajo
CGM873 gsh2Δ	BG14	<i>ura3Δ:: Tn903 Neo^R</i> (G418) <i>gsh2Δ::hph</i>	<i>gsh2Δ</i> Ura ⁻ Hyg ^r	Este trabajo
CGM876 gsh1Δ pGSH1	CGM865	<i>ura3Δ:: Tn903 Neo^R</i> (G418) pGE59 (<i>CgCEN/ARS URA3 GSH1</i>) <i>gsh1Δ::hph</i>	<i>gsh1Δ pGSH1</i> Ura ⁺ Hyg ^r	Este trabajo
CGM883 gsh1Δ pro2-4	CGM814	<i>ura3Δ:: Tn903 Neo^R</i> (G418) <i>gsh1Δ, pro2-4</i> pMZ18(<i>pEPA1p::FLP1</i>)	<i>gsh1Δ pro2-4</i> Ura ⁻ Hyg ^s	Este trabajo
CGM976 gsh2Δ	CGM873	<i>ura3Δ:: Tn903 Neo^R</i> (G418) <i>gsh2Δ</i> pMZ18(<i>pEPA1p::FLP1</i>)	<i>gsh2Δ</i> Ura ⁻ Hyg ^s	Este trabajo
CGM989 gsh2Δ pGSH1	CGM976	<i>ura3Δ:: Tn903 Neo^R</i> (G418) <i>gsh2Δ</i> pGE60 (<i>CgCEN/ARS URA3 GSH1</i>)	<i>gsh2Δ pGSH1</i> Ura ⁺ Hyg ^s	Este trabajo
CGM1035 pScOPT1	BG14	<i>ura3Δ:: Tn903 Neo^R</i> (G418) pGE67 (<i>CgCEN/ARS URA3</i>)	Silvestre pScOPT1	Este trabajo

		<i>ScOPT1)</i>	<i>Ura⁺</i>	
CGM1037 pScOPT2	BG14	<i>ura3Δ:: Tn903 Neo^R (G418)</i> <i>pGE69 (CgCEN/ARS URA3 ScOPT2)</i>	Silvestre <i>pScOPT2</i> <i>Ura⁺</i>	Este trabajo
CGM1061 ure2Δ	BG14	<i>ura3Δ:: Tn903 Neo^R (G418)</i> <i>ure2Δ::hph</i>	<i>ure2Δ</i> <i>Ura⁻ Hyg^r</i>	Este trabajo
CGM1071 gsh1Δ pScOPT1	CGM1035	<i>ura3Δ:: Tn903 Neo^R (G418)</i> <i>pGE67 (CgCEN/ARS URA3 ScOPT1)</i> <i>gsh1Δ::hph</i>	<i>pScOPT1</i> <i>gsh1Δ</i> <i>Ura⁺ Hyg^r</i>	Este trabajo
CGM1073 pGRB2.2	BG14	<i>ura3Δ:: Tn903 Neo^R (G418)</i> <i>pGRB2.2 (CgCEN/ARS URA3)</i>	Silvestre <i>pGRB2.2</i> <i>Ura⁺</i>	Este trabajo
CGM1075 ure2Δ	CGM1061	<i>ura3Δ:: Tn903 Neo^R (G418)</i> <i>ure2Δ</i> <i>pMZ18(pEPA1p::FLP1)</i>	<i>ure2Δ</i> <i>Ura⁻ Hyg^s</i>	Este trabajo
CGM1092 gsh2Δ pScOPT1	CGM873	<i>ura3Δ:: Tn903 Neo^R (G418)</i> <i>gsh2Δ</i> <i>pGE67 (CgCEN/ARS URA3 ScOPT1)</i>	<i>gsh2Δ</i> <i>pScOPT1</i> <i>Ura⁺ Hyg^r</i>	Este trabajo
CGM1099 cta1Δ gsh2Δ	CGM392	<i>ura3Δ:: Tn903 Neo^R (G418)</i> <i>cta1Δ gsh2Δ::hph</i>	<i>cta1Δ gsh2Δ</i> <i>Ura⁻ Hyg^r</i>	Este trabajo
CGM1101 gsh2Δ pScOPT1	CGM976	<i>ura3Δ:: Tn903 Neo^R (G418)</i> <i>gsh2Δ</i> <i>pGE67 (CgCEN/ARS URA3 ScOPT1)</i>	<i>gsh2Δ</i> <i>pScOPT1</i> <i>Ura⁻ Hyg^s</i>	Este trabajo
CGM1115 gsh2Δ gsh1Δ pScOPT1	CGM1101	<i>ura3Δ:: Tn903 Neo^R (G418)</i> <i>gsh2Δ</i> <i>pGE67 (CgCEN/ARS URA3 ScOPT1)</i> <i>gsh1Δ::hph</i>	<i>gsh2Δ gsh1Δ</i> <i>pScOPT1</i> <i>Ura⁻ Hyg^r</i>	Este trabajo
CGM1121 cta1Δ pGRB2.2	CGM392	<i>ura3Δ:: Tn903 Neo^R (G418)</i> <i>cta1Δ</i> <i>pGRB2.2(CgCEN/ARS URA3)</i>	<i>cta1Δ</i> <i>Ura⁺ Hyg^s</i>	Este trabajo
CGM1123 gsh2Δ pGRB2.2	CGM976	<i>ura3Δ:: Tn903 Neo^R (G418)</i> <i>gsh2Δ</i> <i>pGRB2.2(CgCEN/ARS URA3)</i>	<i>gsh2Δ</i> <i>Ura⁺ Hyg^s</i>	Este trabajo
CGM1125 cta1Δ gsh2Δ	CGM1099	<i>ura3Δ:: Tn903 Neo^R (G418)</i> <i>cta1Δ gsh2Δ</i> <i>pMZ18(pEPA1p::FLP1)</i>	<i>cta1Δ gsh2Δ</i> <i>Ura⁻ Hyg^s</i>	Este trabajo
CGM1127 cta1Δ gsh2Δ pScOPT1	CGM1125	<i>ura3Δ:: Tn903 Neo^R (G418)</i> <i>cta1Δ gsh2Δ</i> <i>pGE67(CgCEN/ARS URA3 ScOPT1)</i>	<i>cta1Δ gsh2Δ</i> <i>pScOPT1</i> <i>Ura⁺ Hyg^s</i>	Este trabajo
CGM1129 pCAGL0F07293g	BG14	<i>ura3Δ:: Tn903 Neo^R (G418)</i> <i>pGE72(CgCEN/ARS URA3 CAGL0F07293g)</i>	Silvestre <i>pCAGL0F07293g</i> <i>Ura⁺ Hyg^s</i>	Este trabajo
CGM1139 gsh1Δ	CGM814	<i>ura3Δ::URA3 pBC34.1/PstI</i> <i>gsh1Δ::hph, pro2C376A</i>	<i>gsh1Δ</i> <i>Ura⁺, Hyg^r</i> <i>pro2-4 G418^s</i>	Este trabajo

CGM1140 <i>gsh2Δ</i>	CGM873	<i>ura3Δ::URA3 pBC34.1/PstI</i> <i>gsh2Δ::hph</i>	<i>gsh2Δ</i> Ura ⁺ , Hyg ^r G418 ^s	Este trabajo
CGM1142 <i>cta1Δ gsh2Δ</i>	CGM1099	<i>ura3Δ::URA3 pBC34.1/PstI</i> <i>cta1Δ gsh2Δ::hph</i>	<i>cta1Δ gsh2Δ</i> Ura ⁺ Hyg ^r G418 ^s	Este trabajo
CGM1205 <i>pCAGL0F07293g</i>	BG14	<i>ura3Δ:: Tn903 Neo^R (G418)</i> <i>pGE75(CgCEN/ARS URA3 CAGL0F07293g)</i>	Silvestre <i>pCAGL0F07293g</i> Ura ⁺ Hyg ^s	Este trabajo
CGM1216 <i>gsh1Δ pro2-4</i> <i>pdr1Δ</i>	CGM883	<i>ura3Δ:: Tn903 Neo^R (G418)</i> <i>gsh1Δ pro2-4</i> <i>pdr1Δ::hph</i>	<i>gsh1Δ pro2-4</i> <i>pdr1Δ</i> Ura ⁻ Hyg ^r	Este trabajo
CGM1217 <i>gsh1Δ pro2-4</i> <i>cdr2Δ</i>	CGM883	<i>ura3Δ:: Tn903 Neo^R (G418)</i> <i>gsh1Δ, pro2-4</i> <i>cdr2Δ::hph</i>	<i>gsh1Δ pro2-4</i> <i>cdr2Δ</i> Ura ⁻ Hyg ^r	Este trabajo
CGM1219 <i>prc1Δ</i>	BG14	<i>ura3Δ:: Tn903 Neo^R (G418)</i> <i>prc1Δ::hph</i>	<i>prc1Δ</i> Ura ⁻ Hyg ^r	Este trabajo
CGM1240 <i>gsh1Δ pro2-4</i> <i>cdr1Δ</i>	CGM883	<i>ura3Δ:: Tn903 Neo^R (G418)</i> <i>gsh1Δ, pro2-4</i> <i>cdr1Δ::hph</i>	<i>gsh1Δ pro2-4</i> <i>cdr1Δ</i> Ura ⁻ Hyg ^r	Este trabajo
CGM1247 <i>gsh1Δ pro2-4</i> <i>GSH1</i>	CGM814	<i>ura3Δ:: Tn903 Neo^R (G418)</i> <i>gsh1Δ::hph, pro2-4</i> Cointegrante pGE77(<i>URA3 GSH1</i>)/ <i>PmL I</i>	<i>gsh1Δ pro2-4</i> <i>GSH1</i> Ura ⁺ Hyg ^r	Este trabajo
CGM1290 <i>GSH1pro2-4</i>	CGM1247	<i>ura3Δ:: Tn903 Neo^R (G418)</i> <i>gsh1Δ::hph, pro2-4</i> Segregante pGE77(<i>URA3 GSH1</i>)/ <i>PmL I</i>	<i>GSH1pro2-4</i> Ura ⁻ Hyg ^s	Este trabajo
CGM1323 <i>pro2-4</i>	BG14	<i>ura3Δ:: Tn903 Neo^R (G418)</i> Cointegrante pGE78(<i>URA3 PRO2[*]</i>)/ <i>Age I</i>	<i>PRO2 pro2-4</i> Ura ⁺ Hyg ^s	Este trabajo
CGM1327 <i>pro2-4</i>	CGM1323	<i>ura3Δ:: Tn903 Neo^R (G418)</i> Segregante pGE78(<i>URA3 PRO2[*]</i>)/ <i>Age I</i>	<i>pro2-4</i> Ura ⁻ Hyg ^s	Este trabajo
CGM1328 <i>pScOPT1</i>	CGM883	<i>ura3Δ:: Tn903 Neo^R (G418)</i> <i>gsh1Δ pro2C376A</i> <i>pGE67(CgCEN/ARS URA3 ScOPT1)</i>	<i>gsh1Δ pro2-4</i> <i>pScOPT1</i> Ura ⁺ Hyg ^s	Este trabajo
CGM1330 <i>gsh1Δ pro2-4</i> <i>pCAGL0F07293g</i>	CGM883	<i>ura3Δ:: Tn903 Neo^R (G418)</i> <i>gsh1Δ pro2C376A</i> <i>pGE75(CgCEN/ARS URA3 CAGL0F07293g)</i>	<i>gsh1Δ pro2-4</i> <i>pCAGL0F07293g</i> Ura ⁺ Hyg ^s	Este trabajo
CGM1332 <i>gsh2Δ</i> <i>pScOPT1</i>	CGM976	<i>ura3Δ:: Tn903 Neo^R (G418)</i> <i>gsh2Δ</i> <i>pGE67(CgCEN/ARS URA3 ScOPT1)</i>	<i>gsh2Δ</i> <i>pScOPT1</i> Ura ⁺ Hyg ^s	Este trabajo
CGM1334 <i>gsh2Δ</i> <i>pCAGL0F07293g</i>	CGM976	<i>ura3Δ:: Tn903 Neo^R (G418)</i> <i>gsh2Δ</i> <i>pGE75(CgCEN/ARS URA3 CAGL0F07293g)</i>	<i>gsh2Δ</i> <i>pCAGL0F07293g</i> Ura ⁺ Hyg ^s	Este trabajo
CGM1368	CGM1094	<i>ura3Δ:: Tn903 Neo^R (G418)</i> <i>pdr1Δ</i> Cointegrante pGE78(<i>URA3</i>	<i>pdr1Δ</i> <i>PRO2 pro2-4</i> Ura ⁺ Hyg ^r	Este trabajo

PRO2 ^{*/Age I}				
CGM1370	CGM1096	<i>ura3Δ:: Tn903 Neo^R (G418)</i> <i>cdr1Δ</i> Cointegrante pGE78(URA3 PRO2^{*/Age I})	<i>cdr1Δ</i> <i>PRO2 pro2-4</i> Ura ⁺ Hyg ^r	Este trabajo
CGM1372	CGM1098	<i>ura3Δ:: Tn903 Neo^R (G418)</i> <i>cdr2Δ</i> Cointegrante pGE78(URA3 PRO2^{*/Age I})	<i>cdr2Δ</i> <i>PRO2 pro2-4</i> Ura ⁺ Hyg ^r	Este trabajo
CGM1374	CGM976	<i>ura3Δ:: Tn903 Neo^R (G418)</i> <i>gsh2Δ</i> Cointegrante pGE78(URA3 PRO2^{*/Age I})	<i>gsh2Δ</i> <i>PRO2 pro2-4</i> Ura ⁺ Hyg ^s	Este trabajo
CGM1376	CGM24	<i>ura3Δ:: Tn903 Neo^R (G418)</i> <i>sir3Δ</i> Cointegrante pGE32(URA3 5'GSH1::hph::3'GSH1)/Hind III	<i>sir3Δ</i> Ura ⁺ Hyg ^r	Este trabajo
CGM1382 cdr1Δ	CGM1096	<i>ura3Δ:: Tn903 Neo^R (G418)</i> <i>cdr1Δ</i> <i>pMZ18(pEPA1p::FLP1)</i>	<i>cdr1Δ</i> Ura ⁻ Hyg ^s	Este trabajo
CGM1384 cdr2Δ	CGM1098	<i>ura3Δ:: Tn903 Neo^R (G418)</i> <i>cdr2Δ</i> <i>pMZ18(pEPA1p::FLP1)</i>	<i>cdr2Δ</i> Ura ⁻ Hyg ^s	Este trabajo
CGM1386 pdr1Δ pro2-4	CGM1368	<i>ura3Δ:: Tn903 Neo^R (G418)</i> <i>pdr1Δ</i> Segregante pGE78(URA3 PRO2 ^{*/Age I})	<i>pdr1Δ</i> <i>pro2-4</i> Ura ⁻ Hyg ^r	Este trabajo
CGM1388 cdr2Δ pro2-4	CGM1372	<i>ura3Δ:: Tn903 Neo^R (G418)</i> <i>cdr2Δ</i> Segregante pGE78(URA3 PRO2 ^{*/Age I})	<i>cdr2Δ</i> <i>pro2-4</i> Ura ⁻ Hyg ^r	Este trabajo
CGM1389	CGM1382	<i>ura3Δ:: Tn903 Neo^R (G418)</i> <i>pdr1Δ</i> Cointegrante pGE32(URA3 GSH1)/Hind III	<i>pdr1Δ</i> Ura ⁺ Hyg ^r	Este trabajo
CGM1391	CGM1384	<i>ura3Δ:: Tn903 Neo^R (G418)</i> <i>cdr1Δ</i> Cointegrante pGE32(URA3 GSH1)/Hind III	<i>cdr1Δ</i> Ura ⁺ Hyg ^r	Este trabajo
CGM1393 pdr1Δ pro2-4	CGM1386	<i>ura3Δ:: Tn903 Neo^R (G418)</i> <i>pdr1Δ pro2-4</i> <i>pMZ18(pEPA1p::FLP1)</i>	<i>pdr1Δ</i> <i>pro2-4</i> Ura ⁻ Hyg ^s	Este trabajo
CGM1395 cdr2Δ pro2-4	CGM1388	<i>ura3Δ:: Tn903 Neo^R (G418)</i> <i>cdr2Δ pro2-4</i> <i>pMZ18(pEPA1p::FLP1)</i>	<i>cdr2Δ</i> <i>pro2-4</i> Ura ⁻ Hyg ^s	Este trabajo
CGM1446 pro2Δ	BG14	<i>ura3Δ:: Tn903 Neo^R (G418)</i> <i>pro2::URA3</i>	<i>pro2Δ</i> Ura ⁺	Este trabajo
CGM1448 dug2Δ	BG14	<i>ura3Δ:: Tn903 Neo^R (G418)</i> <i>dug2::URA3</i>	<i>dug2Δ</i> Ura ⁺	Este trabajo
CGM1450 gsh2Δ pro2Δ	CGM976	<i>ura3Δ:: Tn903 Neo^R (G418)</i> <i>gsh2Δ</i>	<i>gsh2Δ pro2Δ</i> Ura ⁺	Este trabajo

pro2::URA3				
CGM1474 yor1Δ	BG14	<i>ura3Δ:: Tn903 Neo^R (G418)</i> <i>yor1::URA3</i>	<i>yor1Δ</i> <i>Ura⁺</i>	Este trabajo
CGM1475 trr1Δ	BG14	<i>ura3Δ:: Tn903 Neo^R (G418)</i> <i>trr1::URA3</i>	<i>trr1Δ</i> <i>Ura⁺</i>	Este trabajo
CGM1477 cta1Δ trr1Δ	CGM392	<i>ura3Δ:: Tn903 Neo^R (G418)</i> <i>cta1Δ</i> <i>trr1::URA3</i>	<i>cta1Δ trr1Δ</i> <i>Ura⁺, Hyg^r</i>	Este trabajo
CGM1501 gsh1Δ pro2-4 trr1Δ	CGM883	<i>ura3Δ:: Tn903 Neo^R (G418)</i> <i>gsh1Δ, pro2-4</i> <i>trr1::URA3</i>	<i>gsh1Δ pro2-4</i> <i>trr1Δ</i> <i>Ura⁺ Hyg^s</i>	Este trabajo
CGM1519 gsh2Δ dug2Δ	CGM976	<i>ura3Δ:: Tn903 Neo^R (G418)</i> <i>gsh2Δ</i> <i>dug2Δ::hph</i>	<i>gsh2Δ dug2Δ</i> <i>Ura⁺ Hyg^s</i>	Este trabajo
CGM1521 gsh2Δ trr1Δ	CGM976	<i>ura3Δ:: Tn903 Neo^R (G418)</i> <i>gsh2Δ</i> <i>trr1::URA3</i>	<i>gsh2Δ trr1Δ</i> <i>Ura⁺ Hyg^s</i>	Este trabajo
CGM1587	BG14	<i>ura3Δ:: Tn903 Neo^R (G418)</i> Cointegrante pGE84(URA3 PRO2*)/Age I	<i>PRO2 pro2-4</i> <i>Ura⁺</i>	Este trabajo
CGM1592 pro2-4	CGM1587	<i>ura3Δ:: Tn903 Neo^R (G418)</i> Segregante pGE84(URA3 PRO2*)/Age I	<i>pro2-4</i> <i>Ura⁺</i>	Este trabajo
CGM1595	CGM1592	<i>ura3Δ:: Tn903 Neo^R (G418)</i> <i>pro2-4</i> Cointegrante pGE32(URA3 GSH1)/Hind III	<i>pro2-4</i> <i>Ura⁻ Hyg^r</i>	Este trabajo
CGM1601 ppro2-4	BG14	<i>ura3Δ:: Tn903 Neo^R (G418)</i> pGE92(NAT pro2C376A)	<i>Nat^r</i>	Este trabajo
CGM1603 gsh1Δ pro2-4 pPRO2	CGM814	<i>ura3Δ:: Tn903 Neo^R (G418)</i> <i>gsh1Δ pro2-4</i> pGE90(NAT PRO2)	<i>gsh1Δ pro2-4</i> <i>Hyg^r Nat^r</i>	Este trabajo
CGM1613 pro2Δ pPRO2	CGM1446	<i>ura3Δ:: Tn903 Neo^R (G418)</i> <i>pro2Δ</i> pGE90(NAT PRO2)	<i>pro2Δ pPRO2</i> <i>Hyg^r Nat^r</i>	Este trabajo
CGM1615 pro2Δ ppro2-4	CGM1446	<i>ura3Δ:: Tn903 Neo^R (G418)</i> <i>pro2Δ</i> pGE92(NAT pro2C376A)	<i>pro2Δ ppro2-4</i> <i>Hyg^r Nat^r</i>	Este trabajo
CGM1619 pro2-4 pGSH1	CGM1592	<i>ura3Δ:: Tn903 Neo^R (G418)</i> <i>pro2-4</i> pGE59(URA GSH1+)	<i>pro2-4 pGSH1</i> <i>Ura⁺ Hyg^r</i>	Este trabajo
CGM1625 CGM1626	CGM1619	<i>ura3Δ:: Tn903 Neo^R (G418)</i> <i>pro2-4</i> pGE59(URA GSH1+) <i>gsh1Δ</i>	<i>pro2-4 pGSH1</i> <i>Ura⁺ Hyg^r</i>	Este trabajo
CGM1627 gsh1Δ pro2-4 R	CGM1625	<i>ura3Δ:: Tn903 Neo^R (G418)</i> <i>pro2-4</i> <i>gsh1Δ</i>	<i>gsh1Δ pro2-4 Ura⁻</i> <i>Hyg^r</i>	Este trabajo
CGM1629 gsh1Δ pro2-4 R	CGM1626	<i>ura3Δ:: Tn903 Neo^R (G418)</i> <i>pro2-4</i> <i>gsh1Δ</i>	<i>gsh1Δ pro2-4 Ura⁻</i> <i>Hyg^r</i>	Este trabajo

2. Plásmidos.

Los plásmidos utilizados en este trabajo se describen en la tabla 5.

Tabla 5. Plásmidos

Plásmido	Descripción o genotipo relevante	Referencia
pGEM-T	Vector de clonación. Amp ^r	Promega
pYIp _{lac} 211	Vector de clonación integrativo. URA3 Amp ^r	(Gietz & Sugino, 1988)
pGRB2.0	Vector de clonación replicativo. CgCEN/ARS URA3 Amp ^r	(Domergue, et al., 2005)
pGRB2.2	Vector de clonación replicativo.	(Domergue, et al., 2005)
pAR1	Vector de clonación replicativo. CgCEN/ARS NAT Amp ^r	Colección del laboratorio
pLS9	Vector replicativo que expresa el gen ScFLP1 para escindir marcadores de selección. P _{EPA1} ::FLP1::(3'UTR _{HIS3}) CgCEN/ARS NAT Amp ^r	Colección del laboratorio
pMZ21	Vector replicativo que expresa el gen ScFLP1 para escindir marcadores de selección. P _{EPA1} ::FLP1::(3'UTR _{HIS3}) CgCEN/ARS URA3 Amp ^r	Colección del laboratorio
pGE25	Producto de PCR (#157/#158) de 1036pb correspondiente al 3'UTR del ORF de GSH1 digerido con Hind III/Kpn I y clonado en pGEM-T. Amp ^r	Este trabajo
pGE27	Producto de PCR (#154/#155) de 747pb correspondiente a la región promotora 5'del ORF de GSH1 digerido con Sac I/BamH I y clonado en pMB11. Cm ^r	Este trabajo
pGE29	Fragmento Hind III/Kpn I de 1036pb cortado de pGE25 y clonado en pAP599 digerido con Hind III/Kpn I. Amp ^r	Este trabajo
pGE31	Fragmento Sac I/BamH I de 747pb cortado de pGE27 y clonado en pGE29 digerido con Sac I/BamH I. Amp ^r [5'GSH1::hph::3'UTR GSH1] URA3 Amp ^r Construcción para interrumpir el gen GSH1 por pop in pop out	Este trabajo
pGE56	Producto de PCR (#155/#158) de 3.9kb correspondiente al gen GSH1 con sus regiones intergénicas clonado en pGEM-T. Amp ^r	Este trabajo
pGE59	Fragmento Sac I/Kpn I de 3.9kb obtenido de pGE56 digerido con Sac I/Kpn I y clonado en pGRB2.0 digerido con Sac I/Kpn I	Este trabajo
pGE62	Producto de PCR (#711/#716) de 1.4kb correspondiente al gen PRO2 de la cepa BG14 clonado en pMB11 digerido con Stu I. Cm ^r	Este trabajo
pGE64	Producto de PCR (#711/#716) de 1.4kb correspondiente al gen PRO2 de la cepa CGM814 clonado en pMB11 digerido con Stu I. Cm ^r	Este trabajo
pGE66 pGE67	Producto de PCR (#728/#729) de 3kb correspondiente al gen OPT1 de la cepa L-105 (<i>S. cerevisiae</i>) clonado en pGR2.2 digerido con Xba I/Sal I. Amp ^r	Este trabajo
pGE68 pGE69	Producto de PCR (#733/#732) de 3kb correspondiente al gen OPT1 de la cepa L-105 (<i>S. cerevisiae</i>) clonado en pGR2.2 digerido con Xba I/Xho I. Amp ^r	Este trabajo
pGE70 pGE71	Producto de PCR (#791/#793) de 3.436kb correspondiente al gen CAGLOF07293g de la cepa BG14 clonado en pGEM-T. Amp ^r	Este trabajo

pGE72	Fragmento <i>EcoR I/Sal I</i> de 3.230kb obtenido de pGE70 clonado en pGRB2.0 digerido con <i>EcoR I/Sal I</i>	Este trabajo
pGE73		
pGE74	Fusión obtenida por PCR para interrumpir el gen CAGLOF07293g parálogo de <i>ScOPT1</i> y <i>ScOPT2</i> de 3.9kb (#790/#794) clonado en pGEM-T. Amp ^r	Este trabajo
pGE75		
pGE76	Producto de PCR (#791/#793) de 2.5kb correspondiente a CAGLOF07293g parálogo de <i>ScOPT1</i> y <i>ScOPT2</i> clonado en pGRB2.2 digerido con <i>Spe I/Sal I. Amp^r</i>	Este trabajo
pGE77	Producto de PCR (#155/#158) de 3.845kb correspondiente al gen <i>GSH1</i> de la cepa BG14 clonado en pYlp/ac211 digerido con <i>Sac I/Kpn I. Amp^r</i>	Este trabajo
pGE78	Producto de PCR (#716/#711) de 1.4kb correspondiente al gen <i>PRO2</i> de la cepa CGM814 clonado en pYlp/ac211 digerido con <i>Sac I/Kpn I. Amp^r</i>	Este trabajo
pGE79		
pGE80	Producto de PCR (#762/#763) de 1.353kb correspondiente al gen <i>URA3</i> de la cepa L-105 clonado en pMB11 digerido con <i>Stu I. Cm^r</i>	Este trabajo
pGE81	Producto de PCR (#604/#605) de 1.4kb correspondiente al gen <i>URA3</i> clonado en pAP379 digerido con <i>Sac I/Sal I. Amp^r</i>	Este trabajo
pGE82		
pGE83	Producto de PCR (#716/#1005) de 1.75kb correspondiente al gen <i>PRO2</i> de la cepa CGM814 clonado en pYlp/ac211 digerido con <i>Sac I/Kpn I. Amp^r</i>	Este trabajo
pGE84		
pGE85	Producto de PCR (#1091/#1093) de 1.7kb correspondiente al gen <i>PRO1(B)</i> de la cepa CGM814 clonado en pMB11 digerido con <i>Stu I. Cm^r</i>	Este trabajo
pGE86	Producto de PCR (#1091/#1093) de 1.7kb correspondiente al gen <i>PRO1(B)</i> de la cepa BG14 clonado en pMB11 digerido con <i>Stu I. Cm^r</i>	Este trabajo
pGE87		
pGE88	Producto de PCR (#1090/#1088) de 1.7kb correspondiente al gen <i>PRO1(A)</i> de la cepa CGM814 clonado en pMB11 digerido con <i>Stu I. Cm^r</i>	Este trabajo
pGE89		
pGE90	Fragmento de 2.6kb correspondiente al gen <i>PRO2</i> más sus regiones intergénicas de la cepa BG14 clonado en pAR1 digerido con <i>Pst I/Kpn I. Amp^r</i>	Este trabajo
pGE91		
pGE92	Fragmento de 2.6kb correspondiente al gen <i>PRO2</i> más sus regiones intergénicas de la cepa CGM814 clonado en pAR1 digerido con <i>Pst I/Kpn I. Amp^r</i>	Este trabajo
pGE93		
pGE94	Producto de PCR (#1090/#1088) de 1.7kb correspondiente al gen <i>PRO1(A)</i> de la cepa BG14 clonado en pMB11 digerido con <i>Stu I. Cm^r</i>	Este trabajo
pGE95		

3. Oligonucleótidos. Los oligonucleótidos fueron sintetizados por Elim Biopharmaceuticals, Inc. La tabla 6 describe los oligonucleótidos que se utilizaron para la construcción de plásmidos y productos de fusión por PCR y para el diagnóstico de mutaciones.

Tabla 6. Oligonucleótidos usados en este trabajo

#	Nombre	Secuencia 5' → 3'	Sitio
13	pUC Fw	GGCGATTAAGTTGGTAACGCCAGGG	—
14	pUC Rv	TATGTTGTGTGGAATTGTGAGCGGA	—
15	P-PGK Rv out	CGATAAGAGGCCACGTGCTTTATG	—
16	3'UTR H/S3 Fw out	AGAAAATACGCACGAACACGATATAGAGG	—
17	pUC Rv2	GGAAACAGCTATGACCATGA	—
154	GSH1@-14 BamH I Rv	GCTGGATCCAGTCCTGCTCCAGTCC	BamH I
155	GSH1@-768 Sac I Fw	CCAGGAGCTCCCAGGTGCCATCAAACCTACC	Sac I
157	GSH1@+10 Hind III Fw	CCCAAGCTTTTAAAGACATCCCCG	Hind III
158	GSH1@+1052 Kpn I Rv	CCGGGTACCGTTACATTAGAAATAGC	Kpn I
165	MCS PGK Fw	GACTCACTATAGGGCGAATTGG	—
166	MCS H/S3 UTR Rv	CGGAATTAAACCCCTCACTAAAGG	—
167	GSH1@-17pb PGKout32pb Rv	GGTGGAGCTCCAATTGCCCTATAGTGAGTCGCTCCAGTCC TGCTCCAGTCC	—
169	GSH1@+10pb H/S3out32pb Fw	GCTTTGTTCCCTTAGTGAGGGTTAACCGACTTTAAAG ACATCCCCG	—
170	GSH1@+1057pb Rv	GGTATGGGCCAGTTACATTAG	—
508	GSH1@-956pb Fw	CCAGGTTCGGCAGCGTCAAG	—
509	GSH1@-1029pb Fw	TTCGATCGCGAGTTGGACC	—
521	GSH1@67pb Fw	GGAACGAGGGTGTGAGC	—
522	GSH1@301pb Rv	ATGAACCGCCCGTACTCC	—
634	GSH2@-74 BamH I Rv	GCTGGATCCGGTATCTCGTAAAGACAAGC	BamH I
635	GSH2@-74pb PGKout32pb Rv	GGAGCTCCAATTGCCCTATAGTGAGTCGGTATCTCGTAA AGACAAGC	—
636	GSH2@-985 Sac I Fw	CAAGAGCTCGTATGGTATAGATCCAGCCGC	Sac I
637	GSH2@-985 Fw	CGTATGGTATAGATCCAGCCGC	—
638	GSH2@-1018pb Fw	GATGCAGAGTAAACTGGGGTGAC	—

639	<i>GSH2@+42 Hind III Fw</i>	CCCAAGCTTAGATAAACGATAATGGTGGC	<i>Hind III</i>
640	<i>GSH2@+43pb H/S3out32pb Fw</i>	TTTGTCCCTTAGTGAGGGTTAATCCGAAGATAAACGATAA TGGTGGC	—
641	<i>GSH2@+925 Kpn I Rv</i>	CCGGGTACCCATCTCTGAGAGTCGCTGG	<i>Kpn I</i>
642	<i>GSH2@+925pb Rv</i>	CATCTCTGAGAGTCGCTGG	—
643	<i>GSH2@+1137pb Rv</i>	CACTCCAGTATTAGATCACGC	—
644	<i>GSH2@544pb Fw</i>	CCAGTTCCAACCTCTGTTCAAGG	—
645	<i>GSH2@718pb Rv</i>	CACGGATACCATACTCCTTTGAAGG	—
728	<i>OPT1@+693pb Sa/I Rv</i>	GAAGTCGACGATGTAGTTAGTTG	<i>Sa/I</i>
729	<i>OPT1@1pb Xba I Fw</i>	GCATCTAGAAAAATGAGTACCATTTAGGGAG	<i>Xba I</i>
730	<i>OPT1@214pb Fw</i>	GGTCTCGTTGGAAAGGGCGAC	—
731	<i>OPT1@701pb Rv</i>	CTTCTGGTAAGACCTGCAGCACC	—
732	<i>OPT2@+500pb Xho I Rv</i>	AGCTCGAGGCTTCAACCGGAGTAATC	<i>Xho I</i>
733	<i>OPT2@1pb Xba I Fw</i>	GCATCTAGAAAAATGAGTGAAACAGTCAAAG	<i>Xba I</i>
734	<i>OPT2@122pb Fw</i>	CTCAGTGGTACGGATGAACAG	—
735	<i>OPT2@682pb Rv</i>	CATACTTCTGCCCTGATGG	—
762	<i>ScURA3@+184bp FRT Rv</i>	CCTGAAGTTCTATTCTAGAAAGTATAGGAACCTCGTTCTG GCGAGGTATTGG	<i>FRT</i>
763	<i>ScURA3@-296bp FRT Fw</i>	CCTGAAGTTCTACTTCTAGAGAATAGGAACCTCGAGGCA TATTATGGTGAAGG	<i>FRT</i>
790	<i>CAGL0F07293g@-843pb Fw</i>	TGACGGCAATATTCTAAAAAC	—
791	<i>CAGL0F07293g@-879pb Spel Fw</i>	CAAACTAGTGCTACCAAGTACGCATATATCTGC	<i>Spe I</i>
792	<i>CAGL0F07293g@+72pb H/S3out32pb FW</i>	TTTGTCCCTTAGTGAGGGTTAATCCGACGTAGACCAGC CGATATG	—
793	<i>CAGL0F07293g@+625pb Sa/I Rv</i>	AAAGTCGACCTACCGAGGATGC	<i>Sa/I</i>
794	<i>CAGL0F07293g@+902pb Rv</i>	CCCATTCTGCTTACTTGTCCC	—
795	<i>CAGL0F07293g@+958pb Rv</i>	ATAATCTTCTGCTTCGTTGAC	—
796	<i>CAGL0F07293g@294pb FW</i>	ACAGGCCCTTAGCTCTAGGT	—
797	<i>CAGL0F07293g@640pb Rv</i>	GGATCCATTCTGAGTACCTCC	—
816	<i>CAGL0F07293g@ Xho I Rv</i>	CGCCTCGAGCATTTCATGGTATTATTTATG	<i>Xho I</i>
817	<i>CAGL0F07293g@1pb Xba I Fw</i>	GCATCTAGAAAAATGACTTCTACCAAGACAG	<i>Xba I</i>

819	<i>PRC1@-64pb PGKout32pb Rv</i>	GGTGGAGCTCCAATTGCCCTATAGTGAGTCGAAAGACAGG CAGATATAACCAA	—
820	<i>PRC1@-792pb Fw</i>	GACACCTTGACATCCGAGAGCCTG	—
821	<i>PRC1@-831pb Fw</i>	GAGGCAGTACGGATCTCAGACG	—
822	<i>PRC1@+39pb HIS3out32pb Fw</i>	GCTTTGTTCCCTTAGTGAGGGTTAATTCCGAGGCTTCTATG CTTTAATTTTACCC	—
823	<i>PRC1@+871pb Rv</i>	GGCTCACCTTGTCTCGTATTGGG	—
824	<i>PRC1@+959pb Rv</i>	CGCTTAGAAGTGGAACACGGTGGTACC	—
825	<i>PRC1@592pb Fw</i>	CTGTCGCCGCCGTAAGGATGTC	—
826	<i>PRC1@819pb Rv</i>	CTGTATTGGGCAATGGGTCAGTC	—
909	<i>PRO2@+60 sacB19pb FW</i>	CACGGCTACCACATCGTCTTGAGAAAAATATAACAAAAGCAA ATG	—
910	<i>PRO2@+905pb Rv</i>	GCATAAAAATCCGGAAAGGGC	—
911	<i>PRO2@+963pb Rv</i>	CAACTCCAAGTATGCCACTGT	—
912	<i>PRO2@-28 sacB24pb Rv</i>	CGAATTCAAGAACCTGATATTTTACACACTGCTTGAGAAT CAATGT	—
913	<i>PRO2@-875pb Fw</i>	GGTCTCGATGTTAACCGATTAC	—
914	<i>PRO2@-970pb Fw</i>	CAAGTACGACAGCGAGGTCA	—
915	<i>PRO2@1215pb Fw</i>	CAAAGGTGACAAGTTCGATG	—
916	<i>YOR1@+30 sacB19pb Fw</i>	CACGGCTACCACATCGTCTTGATTGACAATAGATAGAAATC GGA	—
918	<i>YOR1@+863pb Rv</i>	CTGTGCTATGAGAGCCTGGGG	—
919	<i>YOR1@+951pb Rv</i>	GTGAAACTGGCTGGCCAACC	—
920	<i>YOR1@-45 sacB24pb Rv</i>	CGAATTCAAGAACCTGATATTTTACACACACAAGTAACCCCT CCC	—
921	<i>YOR1@-831pb Fw</i>	CACGTGACAAGATTGTTACTAAG	—
922	<i>YOR1@-920pb Fw</i>	CCACATAGCAAACACGCAAC	—
924	<i>YOR1@843pb Fw</i>	CCACGCCTCTCAAGTTACTG	—
925	<i>YOR1@1165pb Rv</i>	CGATTCTAGCCCCAAATC	—
926	<i>DUG2@+20 sacB19pb Fw</i>	CACGGCTACCACATCGTCTTGATTAGGCTAGTAACCTCAA TTG	—
927	<i>DUG2@+770 Rv</i>	CCACGTAGCCCATTGTATTAATG	—
928	<i>DUG2@+902 Rv</i>	CTCGTTATTGCTCTGCTATCC	—
929	<i>DUG2@-38 sacB24pb Rv</i>	CGAATTCAAGAACCTGATATTTTATAGTGGTGCTGCGTT GG	—
930	<i>DUG2@-762 Fw</i>	CCATATTATAATCCTCGCGGTGAC	—
931	<i>DUG2@408 Fw</i>	CGCAAGCTTGTCTATTCTAGAG	—
932	<i>DUG2@-904 Fw</i>	CACTTGCTCGCTTGATCCTTAC	—
933	<i>DUG2@740 Rv</i>	CCACATTGTGTCATCAGATCTCTG	—
934	<i>TRR1@-25pb sacB24bp Rv</i>	CGAATTCAAGAACCTGATATTTGTGGACGACACGGTGGATA TG	—
935	<i>TRR1@-930bp Fw</i>	CCACTAGATCTCTGGCTAAC	—

936	<i>TRR1</i> @-974bp Fw	GGTAGTAGGCTCAGCAACTCT	—
937	<i>TRR1</i> @+9bp <i>sacB</i> 19bp Fw	CACGGCTACCACATCGTCTTGCAGTATATAATGTTGCAGTT ATC	—
938	<i>TRR1</i> @+860bp Rv	CTGTTCAAGTCGAGGATAAGG	—
939	<i>TRR1</i> @+997bp Rv	CTGGATATATGGACCATGAAG	—
940	<i>TRR1</i> @312bp Fw	CGAAGATGGCGAACCAATTAC	—
941	<i>TRR1</i> @511bp Rv	GAACCGTATTAGTCAAGAACTC	—
1088	<i>PRO1A</i> @+122pb Rv	CAATAATTCAAGACAATGAACG	—
1089	<i>PRO1A</i> @592pb Fw	GTTCCAGACCTGTCCAAAG	—
1090	<i>PRO1A</i> @-49pb FW	CAGTTGTCATTCTAGTTGCTG	—
1091	<i>PRO1B</i> @+292pb Rv	CAAGGACATCATGAATAGCTCT	—
1092	<i>PRO1B</i> @555pb Fw	GCCCCATAGTCATCGTCCCAA	—

4. Transformación genética de *C. glabrata*

Para la transformación genética de *C. glabrata* se utilizó una modificación de método de transformación con acetato de litio (LiAcO) (Gietz, et al., 1992). Cada cepa a transformar se creció en medio YPD durante una noche. Se inocularon 500 µL del cultivo a 50 mL de YPD y se incubó con agitación hasta alcanzar una OD de 1. Las células se colectaron por centrifugación y se lavaron con 50 mL de agua estéril. Se concentraron en LiAcO 0.1M y se hicieron alícuotas de 50 µL. Para cada transformación, a una alícuota de células se añadieron 240 µL de polietilenglicol al 50% (Fluka Biochemica (PM400)), 36 µL de LiAcO 1M, 25 µL de ADN de esperma de salmón de cadena sencilla 2 mg/mL (Invitrogen) desnaturalizado por calor y el ADN a transformar resuspendido en 50 µL de Tris 10mM. La mezcla se incubó a 30°C durante 45 min y se añadieron 43 µL de DMSO. Se aplicó un choque térmico de 45°C por 15 min. Las células se centrifugaron para retirar la mezcla de transformación y se resuspendieron en agua o YPD (de acuerdo al tipo de selección). Para la selección de transformantes que complementen la auxotrofía por uracilo, las células se resuspendieron en 1 mL de agua y se sembraron tres cajas de medio CAA. Para la selección con higromicina o nourseotricina, las células se resuspendieron en 1 mL de medio YPD y se incubaron durante 4 h a 30°C en agitación y se sembraron tres cajas con medio YPD Hyg o Nat correspondiente. Las cajas se incubaron a 30°C durante 48 h ó más.

Cuando aparecieron transformantes se tomaron 8-16 colonias y se purificaron dos veces en el medio de selección correspondiente. Se analizó su función mitocondrial estriando en cajas de YPG. Se hizo PCR de colonia para diagnosticar la modificación genética correspondiente. De las colonias positivas se extrajo ADN genómico para confirmar la modificación genética.

En el caso de recombinación en dos pasos, las clonas confirmadas para la integración del ADN en el cromosoma, se resolvieron en YPD haciendo 3 pasos y sembrando en cajas de YPD. Cuando aparecieron colonias se hizo replica a las cajas correspondientes en cajas de 5FOA donde las células Ura⁺ no crecen en este medio. Las segregantes se diagnosticaron para la modificación genética correspondiente.

5. Ensayos de sensibilidad

Exposición crónica. Se pusieron preinóculos de las cepas de *C. glabrata* durante una noche en medio YPD a 30 °C. Se inoculó medio fresco y el cultivo se incubó a 30 °C durante 48 h. Las células se lavaron con agua estéril y se ajustó la densidad celular a 1×10^7 células/mL. Se hicieron diluciones logarítmicas y 5 µL de cada dilución se colocaron en cajas con medio YPD con diferentes concentraciones del compuesto a analizar (ver medios de cultivo para levadura). Las cajas se incubaron a 30 °C.

Ensayos de adaptación a H₂O₂. Las diferentes cepas de *C. glabrata* se crecieron en medio YPD a 30 °C durante una noche. Se diluyeron en medio YPD fresco y se crecieron durante 9 duplicaciones hasta que alcanzaron una densidad celular de 1×10^7 células/mL. Las células se expusieron a la concentración de H₂O₂ indicada por 3 h. Para los experimentos de adaptación, las células se pretrataron con una dosis subletal de H₂O₂ durante 1 h, se añadieron diferentes dosis letales y se incubaron por 2 h más. El H₂O₂ se removió por centrifugación. Las células se resuspendieron en agua destilada estéril y se ajustaron a una densidad celular de 1×10^7 células/mL cuando fue necesario. Se hicieron diluciones logarítmicas y 5 µL de cada dilución se colocaron en placas con medio YPD. Las placas se incubaron a 30 °C.

6. Curvas de crecimiento

En las cepas de interés se analizó el crecimiento en diferentes medios. Todas las cepas se crecieron a 30 °C hasta que llegaron a saturación (48 h). Las células se lavaron con agua destilada estéril y se ajustó la densidad celular a 0.01 (1×10^5 células/mL). Se tomaron 300 µL de cada suspensión celular y se colocaron en microplacas colmena de 100 pozos por duplicado para analizar el crecimiento a 30 °C en agitación constante a 600nm en el equipo BIOSCREEN C (Growth Curves Ab Ld) durante 24 ó 96 h según el medio en el que se deseaba evaluar el crecimiento. Se tomaron lecturas cada 15 min. A cada valor se le restó la lectura del blanco respectivo (el medio de cultivo sin levaduras) y se determinó el tiempo de duplicación.

7. Evaluación de la pérdida de plásmidos

Para medir la población celular que pierde el plásmido de interés, las cepas se crecieron durante una noche a 30 °C en los medios YPD, CAA o YNB (con o sin GSH a diferentes concentraciones) y se reinocularon hasta tres veces en el medio fresco correspondiente. Los cultivos se diluyeron apropiadamente y se sembraron en cajas de YPD, en cajas con medio de selección para el plásmido (CAA) y en cajas con medio de contraselección para el plásmido (5-FOA). Las cajas se incubaron a 30 °C por 48 h y se contaron el total de colonias en los tres tipos de cajas. La relación del número de colonias en el medio 5-FOA con respecto al medio YPD es la fracción de células que perdieron el plásmido.

8. Cuantificación de GSH.

Para determinar el contenido de GSH las diferentes cepas se crecieron durante una noche a 30 °C en los medios YPD, CAA, YNB, YNBrN o YNBrS sin o suplementados con prolina y/o GSH. Se inoculó medio fresco correspondiente y los cultivos se incubaron durante 48 h a 30 °C. Se ajustó la densidad celular a 3×10^8 células/mL y se lavaron dos veces con pH 7 y se resuspendieron en 300 µL de ácido sulfosalicílico al 5% (w/v) y se mezclaron con un volumen similar de perlas de zirconio. Las células se homogenizaron mezclando en vortex a 4 °C durante 10 min con pausas intermitentes. Los lisados se centrifugaron a 15000 **g** por 1 h. Se tomaron 200 µL del sobrenadante, se hicieron las diluciones correspondientes y 10 µL se utilizaron para cuantificar glutatión total (GSX). La cuantificación se hizo con un método enzimático que usa DTNB [5,5'-ditiobiis-(2-ácido nitrobenzoico)] y la enzima glutatión reductasa (Anderson, 1985). Para determinar el contenido de GSH en el sobrenadante de los cultivos celulares separamos 10 µL del sobrenadante correspondiente y se analizó como se describe arriba.

9. Análisis bioinformáticos

Las secuencias génicas y proteicas de *C. glabrata* se extrajeron de la base de datos del proyecto Genolevures (<http://www.genolevures.org/cagl.html>); las de *S. cerevisiae* de SGD (<http://www.yeastgenome.org/>). Los alineamientos se hicieron por el método ClustalW (Higgins, *et al.*, 1996) con el programa MacVector (Accelrys). La información sobre la sintenia se realizó utilizando el servidor de yeast order browser (<http://wolfe.gen.tcd.ie/ygob/>) (Scannell, *et al.*, 2011).

10. Transformación de *E. coli*

La transformación de bacterias se hizo por electroporación. Las células electrocompetentes se describen en la tabla 2. Se mezclaron las células bacterianas con el ADN a transformar, la mezcla se colocó en una celda de electroporación de 1 mm (BIORAD®) y se le aplicó un pulso eléctrico (1800 V, 200 mA, 50 F) con un electroporador GenePulser Xcell Electroporation System (BIORAD®). Las células se resuspendieron en 1 mL de SOC y se incubaron a 30 °C durante 1 h. Las células se sembraron en cajas de LB con el antibiótico correspondiente y se incubaron una noche a 30 °C.

El diagnóstico de las construcciones se hizo por PCR de colonia. Una vez confirmadas se resguardaron dos colonias independientes en glicerol al 10% a -80°C. Los plásmidos se extrajeron mediante los kits comerciales QIAprep o Promega, y se analizó el patrón de restricción con endonucleasas para confirmar la presencia del inserto. Todas las enzimas de restricción utilizadas en este trabajo son de New England BioLaboratories®.

11. Extracción de ADN genómico de *C. glabrata*.

Las cepas se incubaron durante una noche en medio YPD. Las células se colectaron por centrifugación y se resuspendieron en 500 µL de la solución A (Tris 0.05 M, EDTA 0.01 M, NaCl 0.15 M, Triton 1% y SDS 1%. Se adicionaron 500 µL de fenol:cloroformo:alcohol isoamílico (Fluka Biochemicals®) (24:24:1) y se incubaron a 44 °C por 30 min agitando ocasionalmente. Se centrifugó y se colectó la fase acuosa PCR, a la cual se le añadieron 50 µL del amortiguador A sin detergente con RNasa (AMBION®), y se incubó por 30 min a 44 °C. Para la precipitación del ADN se añadieron 15 µL de NaCl 5 M y un volumen de etanol frío al 100%. La pastilla de ADN se lavó con etanol frío al 70%, se secó a temperatura ambiente y se resuspendió en Tris 10 mM con RNasa.

12. Precipitación de ADN con fenol:cloroformo:alcohol isoamílico y precipitación con etanol

Para eliminar proteínas y sales del ADN, la muestra se llevó a un volumen de 110 µL con agua miliQ y se añadieron 42 µL de acetato de amonio 8.3 M (concentración final 2.5 M). Se agregó un volumen equivalente de fenol:cloroformo:alcohol isoamílico (Fluka Biochemicals®) (24:24:1) y se agitó vigorosamente. Por centrifugación se separó la fase acuosa y se transfirió a un tubo con un 1 µL de glucógeno (Roche®). Se agregaron 2.5 volúmenes de etanol frío al 100% y se incubó a -20 °C por 20 min. El ADN se concentró por centrifugación y la pastilla de ADN se lavó con etanol frío al 70%, se secó a temperatura ambiente y se resuspendió en Tris 10 mM.

13. Construcción de mutantes de *C. glabrata*. Las mutantes nulas que se generaron en este estudio (excepto en las que se interrumpió el gen GSH1 utilizando el plásmido pGE31) se construyeron por un solo evento de doble recombinación homóloga utilizando productos de fusión por PCR de acuerdo a (Kuwayama, *et al.*, 2002). Se llevaron a cabo dos rondas de PCR: en la primera de ellas, las regiones 5' y 3' del gen a interrumpir y el cassette de selección se amplificaron con una enzima de alta fidelidad y los productos de PCR se purificaron con el kit comercial de QIAGEN. En la segunda ronda de PCR los tres fragmentos se fusionan utilizando el oligo Fw que se utilizó para amplificar el fragmento de la región 5' y el oligo Rv que se utilizó para amplificar el fragmento de la región 3'. El producto obtenido en la fusión que se utiliza para la transformación de *C. glabrata*.

14. Cuantificación de ADN.

El ADN se cuantificó por espectrometría utilizando el equipo NANODROP 2000 (ThermoScientific®).

15. Reacción en cadena de la polimerasa (PCR).

Para amplificar fragmentos de ADN destinados a fusión por PCR, clonación o secuenciación se utilizaron las enzimas Expand Long Template PCR System (Roche®), Phusion® Hot Start High-Fidelity ADN Polymerase (Finnzymes) y iProof High-Fidelity ADN Polymerase (Bio-Rad) de acuerdo a las condiciones sugeridas por el fabricante.

Para generar las construcciones de fusión se utilizaron las enzimas Expand Long Template PCR System (Roche®) y iProof High-Fidelity ADN Polymerase (Bio-Rad) de acuerdo a las condiciones sugeridas por el fabricante.

Para las reacciones de diagnóstico de modificaciones genéticas, se utilizó la enzima Taq Amplificasa® de la UNAM de acuerdo a las condiciones sugeridas por el fabricante.

16. Cuantificación de prolina.

La determinación del contenido intracelular de L-prolina se realizó como se ha descrito previamente (Bates, *et al.*, 1972). Las células se crecieron durante 48 h en YPD y 2×10^8 células se lavaron dos veces con agua. Se adicionó 1 mL de ácido sulfosalicílico al 5%. La suspensión se incubó a 100 °C durante 10 min y se centrifugó a 4 °C durante 5min a 15000 xg. Se tomaron 800 µL del sobrenadante en tubos de vidrio y se adicionaron 800 µL de ninhidrina y 800 µL de ácido acético glacial. Se incubó a 100 °C durante 1 h y la reacción se detuvo en un baño de hielo. Se adicionaron 1600 µL de tolueno y los tubos se agitaron por 20 seg. Se centrifugó 1 min y se tomaron 1200 µL para medir la absorbancia a 520 nm en una celda de vidrio. La cantidad de prolina se determinó con base a una curva de calibración realizada simultáneamente.

17. Generación de protoplastos de *C. glabrata*.

La generación de protoplastos se hizo de acuerdo al método descrito previamente con algunas modificaciones (Duell, et al., 1964). Brevemente, 5 mL de un cultivo de *C. glabrata* en YNB sin o suplementado con GSH 0.5 mM, se inocularon en 50 mL del medio correspondiente y se incubó a 30 °C hasta alcanzar una OD_{600nm} de 2-4. Las células se centrifugaron y se lavaron con agua estéril. La pastilla celular se resuspendió con 20 mL de solución de pretratamiento (Tris-HCl 10 mM, EDTA 5 mM, 2-mecaptoetanol 1%) y se incubó a 30 °C a 80 rpm durante 30 min. La suspensión celular se centrifugó a 3000 rpm durante 5 min y se adicionaron 10 mL de sorbitol 1 M. La pastilla se resuspendió con agitación y se adicionaron 20 mL de amortiguador para generar protoplastos (sorbitol 1.2 M, enzimas líticas de tricoderma 5mg/mL pH=7.2 ajustado con amortiguador de fostatos). La suspensión celular se incubó a 30 °C a 80 rpm durante 90 min. Se centrifugó a 500 rpm durante 5 min y a la pastilla de protoplastos se lavó dos veces con 5 mL de sorbitol 1 M centrifugando a 500 rpm durante 5 min. Los protoplastos se resuspendieron con agitación suave en 5 mL de sorbitol 1 M.

18. Purificación de proteínas de membrana de *C. glabrata* por centrifugación en gradiente de sacarosa.

La purificación de las proteínas de membrana se realizó como se ha descrito previamente (Cabezon, et al., 2009). Los esferoblastos de *C. glabrata* se resuspendieron en 1mL de amortiguador de lisis (Tris-HCl 50 mM pH 7.5, EDTA 1 mM, NaCl 150 mM, DTT 1mM, PMSF 0.5 mM y cóctel inhibidor de proteasas) y se lisaron mecánicamente con 7 ciclos de 60 seg de agitación y enfriamiento a 4 °C. Los lisados se centrifugaron durante 1 h a 13000 rpm a 4 °C. Se retiró el sobrenadante y se adicionaron 600 mL de Na₂CO₃ 100 mM y se incubó a 4 °C durante 1 h. Las muestras se resuspendieron en 200 µL de amortiguador de lisis con 200 µL con sacarosa al 12% y la mezcla se colocó sobre un gradiente continuo de sacarosa del 12 al 60% (nueve fracciones de 1.2 mL que corresponden a 12, 18, 24, 30,36, 42, 48, 54 y 60% de sacarosa). Los tubos se centrifugaron a 29500 rpm a 4 °C durante 3 h y se separó la banda densa presente entre las fracciones que corresponden a 42-48% del gradiente de sacarosa. Se adicionó 1 mL de Na₂CO₃ 100 mM y se incubó a 4 °C toda la noche. Se centrifugó a 4 °C a 13000 rpm durante 1 h. Las proteínas de membranas se solubilizaron con 200 µL de amortiguador de

solubilización (urea 7 M, tiourea 2 M y CHAPS 4%). La precipitación de proteínas se hizo con TCA al 10%. Las muestras se centrifugaron a 13000 rpm durante 10 min a 4 °C y la pastilla se lavó 5 veces con 500 µL de acetona fría. Las pastillas se secaron a temperatura ambiente y las muestras se corrieron en un gel de poliacrilamida al 12%. Las proteínas se revelaron con tinción por Coomassie coloidal como previamente se ha descrito (Candiano, *et al.*, 2004).

19. Determinación del tiempo de vida cronológica de *C. glabrata*.

Los experimentos de viabilidad se hicieron como se ha descrito previamente con algunas modificaciones (Murakami, *et al.*, 2008). Brevemente, los cultivos de las cepas BG14 pGSH1, gsh1Δ pScOPT1, gsh2Δ pScOPT1 y gsh1Δ gsh2Δ pScOPT1 se crecieron durante 1 noche a 30°C en medio YNB con GSH 0.05mM. Despues se inocularon en YNB sin GSH. En los tiempos indicados las células se lavaron con agua destilada estéril y se ajustó la densidad celular a 0.01 (1x10⁵ células/mL) en medio YPD. A los 1, 2, 3, 4, 6, 8, y 10 días, se tomaron 300 µL de cada suspensión celular y se colocaron en microplacas colmena de 100 pozos por duplicado para analizar el crecimiento a 30 °C en agitación constante a una OD_{600nm} en el equipo BIOSCREEN C (Growth Curves Ab Ld) durante 24 h. Se tomaron lecturas cada 15 min. A cada valor se le restó la lectura del blanco respectivo (el medio de cultivo sin levaduras) y se determinó el tiempo de duplicación usando la pendiente de la curva semilogarítmica de la OD en función del tiempo. El tiempo 0 correspondió al día 3 de crecimiento. La sobrevivencia para cada cepa se calculó con la fórmula:

$$v_n = \frac{1}{2^{\left(\frac{\Delta t_n}{\delta}\right)}}$$

Donde v_n es la viabilidad en un punto n, Δt_n es la diferencia en tiempo en las curvas de crecimiento al tiempo n con respecto al tiempo 0 (3 días) en una OD_{600nm} de 0.5, y δ es el promedio del tiempo de duplicación calculado para cada cepa en cada día del experimento. Los valores v_n se graficaron para cada cepa para cada día a lo largo del experimento. Para mayores detalles consultar (Murakami, *et al.*, 2008).

20. Análisis estadísticos.

Todos los análisis estadísticos se realizaron utilizando la prueba t student o ANOVA con el programa GraphPad Prims v5.



El papel del Glutatión en la respuesta a estrés oxidante del hongo patógeno oportunista *Candida glabrata*

Ma Guadalupe Gutiérrez Escobedo

RESULTADOS

DOI: [10.1007/s00294-013-0390-1](https://doi.org/10.1007/s00294-013-0390-1)

The role of glutathione in the oxidative stress response in the fungal pathogen *Candida glabrata*.

Guadalupe Gutiérrez-Escobedo, Emmanuel Orta-Zavalza, Irene Castaño, and Alejandro De Las Peñas*.

IPICYT

Camino a la Presa San José 2055

División de Biología Molecular

Instituto Potosino de Investigación Científica y Tecnológica

San Luis Potosí, San Luis Potosí, 78216, México.

Running Title:

GSH and the oxidative stress response in *C. glabrata*

Key words: *Candida glabrata*, glutathione, Cd tolerance, PRO2 suppressor, oxidative stress, catalase, thioredoxin

*Corresponding Author:

Alejandro De Las Peñas

Camino a la Presa San José 2055

División de Biología Molecular

Instituto Potosino de Investigación Científica y Tecnológica

San Luis Potosí, San Luis Potosí, 78216, México.

Phone: (52) 444 8342039. FAX: (52) 444 8342010.

E-mail: cano@ipicyt.edu.mx

Abstract

Candida glabrata, an opportunistic fungal pathogen, accounts for 18-26% of all *Candida* systemic infections in the US. *C. glabrata* has a robust oxidative stress response and in this work we characterized the role of glutathione (GSH), an essential tripeptide-like thiol-containing molecule required to keep the redox homeostasis and in the detoxification of metal ions. GSH is synthesized from glutamate, cysteine and glycine by the sequential action of Gsh1 (γ -glutamyl-cysteine synthetase) and Gsh2 (glutathione synthetase) enzymes. We first screened for suppressor mutations that would allow growth in the absence of *GSH1* (*gsh1* Δ background) and found a single point mutation in *PRO2* (*pro2-4*), a gene that encodes a γ -glutamyl phosphate reductase and catalyzes the second step in the biosynthesis of proline. We demonstrate that GSH is important in the oxidative stress response since the *gsh1* Δ *pro2-4* and *gsh2* Δ mutant strains are more sensitive to oxidative stress generated by H₂O₂ and menadione. GSH is also required for Cadmium (Cd) tolerance. In the absence of Gsh1 and Gsh2, cells show decreased viability in stationary phase. Furthermore, *C. glabrata* does not contain *Saccharomyces cerevisiae* high affinity GSH transporter orthologue, ScOpt1/Hgt1, however our genetic and biochemical experiments show that the *gsh1* Δ *pro2-4* and *gsh2* Δ mutant strains are able to incorporate GSH from the medium. Finally, GSH and thioredoxin, which is a second redox system in the cell, are not essential for the catalase-independent adaptation response to H₂O₂.

Introduction

In the last three decades, *C. glabrata*, an opportunistic fungal pathogen, has emerged as the second cause of mucosal and bloodstream fungal infections, accounting for 18-26% of all *Candida* systemic infections in the US (Li, *et al.*, 2007, Presterl, *et al.*, 2007, Pfaller & Diekema, 2010). Several *C. glabrata* virulence factors have been described. These include intrinsic resistance to fluconazole (Diekema, *et al.*, 2002), adherence to epithelial cells (Cormack, *et al.*, 1999, Castano, *et al.*, 2005) and high resistance to oxidative stress (Cuellar-Cruz, *et al.*, 2008, Roetzer, *et al.*, 2010, Roetzer, *et al.*, 2011). The robust oxidative stress response in *C. glabrata* include the single catalase Cta1, the transcription factors Yap1, Skn7, Msn2 and Msn4, (Cuellar-Cruz, *et al.*, 2008, Roetzer, *et al.*, 2008, Saijo, *et al.*, 2010) and its capacity to survive within phagocytes (Kaur, *et al.*, 2007, Seider, *et al.*, 2011).

Under steady state conditions, the eukaryotic cytoplasm is highly reducing. As a consequence, the Reactive Oxygen Species (ROS, superoxide anion, hydrogen peroxide, and hydroxyl radicals) and glutathionylated proteins are present at very low levels (Heeren, *et al.*, 2004). ROS are endogenous by-products of aerobic metabolism arising from mitochondria and the oxidative metabolism in peroxisome and the endoplasmic reticulum. At high levels, ROS can damage proteins, lipids and DNA, thereby affecting many cellular functions (Lopez-Mirabal & Winther, 2008). Living organisms have enzymatic (catalases, superoxide dismutases, and peroxidases) and non-enzymatic (thioredoxin and glutathione [GSH]) mechanisms to keep ROS and cysteine oxidation at physiological levels (Muller, 1991, Luikenhuis, *et al.*, 1998, Fernandes & Holmgren, 2004) In particular, phagocytic cells generate ROS to eliminate internalized pathogens (Mansour & Levitz, 2002), however, pathogens have coopted these well-conserved antioxidant mechanisms (enzymatic and non-enzymatic) to eliminate ROS and evade phagocyte defenses (Avery & Avery, 2001, Thorpe, *et al.*, 2004, Temple, *et al.*, 2005). It has been proposed that the oxidative stress response (synthesis and regulation of the antioxidant mechanisms) is related to virulence (Wysong, *et al.*, 1998, Hwang, *et al.*, 2002).

GSH, a tripeptide-like thiol-containing molecule (γ -L-glutamyl-L-cysteinyl-glycine) (Meister & Anderson, 1983) is found in many organisms. GSH is the main low-molecular weight-reducing molecule required to keep the redox homeostasis (Meister & Anderson, 1983, Carmel-Harel & Storz, 2000). GSH also participates in the detoxification of metal ions and xenobiotics; the regulation of the activity of many proteins by glutathionylation and it can also be used as a source of sulphur and nitrogen (Meister & Anderson, 1983, Penninckx & Elskens, 1993). GSH is essential in all eukaryotes so far studied (Penninckx, 2002, Toledano, *et al.*, 2007). The essential function of GSH is not due to the protection from oxidative stress it provides (Penninckx, 2002) but rather to its involvement in iron metabolism where GSH partners with glutaredoxins to assemble Fe-S clusters (Sipos, *et al.*, 2002, Kumar, *et al.*, 2011).

In *S. cerevisiae*, GSH is synthesized by the sequential action of Gsh1 (*GSH1*), the γ -glutamyl-cysteine synthetase, which catalyzes the first and rate limiting step in the conjugation of glutamate and cysteine; and Gsh2 (*GSH2*), the glutathione synthetase, which catalyzes the ATP-dependent synthesis of GSH from γ -glutamyl-cysteine and glycine (Grant, *et al.*, 1997). *S. cerevisiae* also contains other proteins involved in the GSH pathway, a glutathione reductase (*GLR1*), two classes of glutaredoxins (*GRX*) (Toledano, *et al.*, 2007), a high-affinity plasma membrane GSH transporter (*OPT1/HGT1*) (Bourbouloux, *et al.*, 2000, Hauser, *et al.*, 2000) and two kinds of peptidases for GSH degradation (*ECM38* and *DUG1-3*) (Jaspers, *et al.*, 1980, Kumar, *et al.*, 2002).

al., 2003). In *S. cerevisiae*, the *gsh1Δ* mutant is non-viable, while the *gsh2Δ* mutant accumulate the γ-Glu-Cys intermediate which can partially substitute for GSH (Grant, et al., 1997). Interestingly, it was found that mutations in the *PRO2* gene restored biosynthesis of very low levels of GSH by the abduction of the proline biosynthetic pathway (Spector, et al., 2001, Toledano, et al., 2007). *C. glabrata*, which is closely related to the yeast *S. cerevisiae*, shares many of the *S. cerevisiae* orthologues of the GSH pathway, and particularly, *GSH1* and *GSH2*. As in other organisms, *C. glabrata* is no exception and GSH is essential in this fungal pathogen (Yadav, et al., 2011). Surprisingly, *C. glabrata* does not contain the *S. cerevisiae* high-affinity plasma membrane GSH transporter, ScOpt1/Hgt1 (Yadav, et al., 2011).

In this work, we evaluated the role of GSH in the oxidative stress response in *C. glabrata*. We constructed mutants in the *GSH1* and *GSH2* genes and confirmed that *GSH1* is essential. *C. glabrata* cells show reduced viability in stationary phase once GSH has been depleted. Interestingly, we found a suppressor mutation, *pro2-4*, in the *PRO2* gene that allows the growth of *C. glabrata* in the absence of *GSH1*. We found that *gsh1Δ pro2-4* and *gsh2Δ* mutant strains are more sensitive to oxidative stress and to heavy metals and these phenotypes correlated with their reduced GSH concentration. Furthermore, in spite of the fact that *C. glabrata* does not contain the ScOpt1/Hgt1 orthologue, the *gsh1Δ pro2-4* and *gsh2Δ* mutant strains are able to take up GSH from the medium indicating the presence of a putative low affinity transporter for GSH. Finally, GSH and thioredoxin, in the absence of Cta1 (*cta1Δ*), are not essential for the adaptation response to H₂O₂. We show that GSH plays an important role in the oxidative stress response in *C. glabrata*.

Materials and Methods

Strains. All strains used this study are summarized in Table 1.

Plasmids. All plasmid used in this study are summarized in Table 2.

Primers. All primers used in this study are summarized in Table 3.

Media and Growth Conditions.

All overnight cell cultures were grown for 48 hr at 30°C. Yeast media were prepared as described previously (Sherman, *et al.*, 1986), and 2% agar was added for plates. Yeast extract-peptone-dextrose (YPD) medium contained yeast extract at 10 g/liter and peptone at 20 g/liter and was supplemented with 2% glucose. Synthetic complete medium (SC) was a mixture of yeast nitrogen base without $(\text{NH}_4)_2\text{SO}_4$ at 1.7 g/liter and NH_2SO_4 at 5 g/liter and was supplemented with 0.6% Casamino Acids, 2% glucose, and when needed, uracil at 25 mg/liter and 5-fluoroorotic acid (5-FOA) at 1.1 g/liter for 5-FOA plates (5-FOA, Toronto Research Chemicals). YNB medium was a mixture of yeast nitrogen base without $(\text{NH}_4)_2\text{SO}_4$, at 1.7 g/liter and $(\text{NH}_4)_2\text{SO}_4$ at 5 g/liter and was supplemented with 2% glucose. YPD plates were supplemented with hygromycin B (A. G. Scientific) at 460 µg/ml. Bacterial medium was prepared as described previously (Ausubel, 1992), and 1.5% agar was used for plates. Luria-Bertani medium contained yeast extract at 5 g/liter, Bacto peptone at 10 g/liter, and NaCl at 10 g/liter and was supplemented where needed with 50 µg/ml of carbenicillin (Invitrogen). All plasmid constructs were introduced into *Escherichia coli* DH10 by electroporation (Ausubel, 1992) and plasmids were purified with the Qiagen mini prep kit.

Transformation.

Yeast transformations with linear or supercoiled plasmid DNA were done as described previously (Castano, *et al.*, 2003).

Sequence analysis.

The amino acid sequence homology analysis was done by ClustalW alignment (Higgins, *et al.*, 1996) with MacVector (Accelrys).

Construction of mutant strains.

To construct all knockout mutations, we used the fusion PCR procedure (Kuwayama, *et al.*, 2002) and recombination of the PCR fragments by the one-step gene replacement. Briefly, for *gsh1Δ* (always in the presence of pGE59, pGSH1) and *ghs2Δ* mutants, 3 PCR fragments for each gene were amplified: the hygromycin cassette (primers 165/166), the promoter and 3'UTR regions of *GSH1* (primers for the promoter region 508/167 and primers for the 3'UTR region 169/509) and the promoter and 3'UTR regions of *GSH2* (primers for the promoter region 637/635 and primers for the 3'UTR region 640/642) (Table 3). These three fragments were linked by fusion PCR. All PCR products were purified using the Qiagen gel extraction kit. *C. glabrata* was then transformed with the fused PCR fragment and transformants were selected on YPD hygromycin plates. PCR analysis was done to confirm the structure of the deletion. The absence of each deleted gene was also verified by the inability to PCR amplify an internal fragment of the gene. The *pro2Δ* (primers for the promoter region 909/910 and primers for the 3'UTR region 912/913) and *trr1Δ* (primers for the

promoter region 934/935 and primers for the 3'UTR region 937/938) mutants were made in the same way as described above, but a *URA3* cassette was used instead of the hygromycin cassette and transformants were selected on SC -Ura plates. To screen for spontaneous *gsh1Δ* suppressors, the *gsh1Δ* mutation was recombine by the two-step gene replacement as described bellow. pGE31 was digested partially with *Hind III* and transformed into BG14. Transformants were selected and purified on SC-Ura plates and then screened for Ura- on SC+5-FOA plates as described. Ura⁺ cells die on SC-5-FOA. A single *gsh1Δ sup⁺* mutant was isolated (*pro2-4*). The *pro2-4* mutation was cloned and introduced back in the BG14 strain by the two-step gene replacement. Briefly, the *pro2-4* was PCR amplified from strain CGM814 with primers 716/1005, and cloned into the integrative *URA3* plasmid, pYIplac211 (pGE83). pGE83 was cut with *Age I* enzyme and transformed into BG14. Transformants were selected and then purified onto SC-Ura plates. Single colonies were then grown on nonselective medium (YPD plates) and screened for Ura- on SC+5-FOA for the loss of the Ura marker. The 5-FOA^R colonies were purified on YPD plates. The presence of the *pro2-4* mutation was confirmed by sequencing of a PCR fragment amplified from the *pro2-4* region.

Growth rates of *C. glabrata* strains BG14, *gsh1Δ pro2-4* and *gsh2Δ* in the presence of GSH.

Saturated cultures of *C. glabrata* strains BG14, *gsh1Δ pro2-4* (CGM1627) and *gsh2Δ* (CGM873) were grown in YPD, YNB and YNB+GSH (0.5mM of GSH) for 48 hr at 30°C. Cells were diluted to a cell density of 2x10⁶ cells/ml and growth was evaluated in a Bioscreen for 4 days at 30°C with constant shaking and growth rates were determined. See Table 4.

H₂O₂, menadione, cumene hydroperoxide, tert-butyl hydroperoxide, and cadmium sensitivity assays.

All cultures were grown for 48 h in YPD at 30°C. H₂O₂ (35% (wt/wt) solution), CdSO₄, crystalline menadione, tert-butyl hydroperoxide and cumene hydroperoxide were obtained from Sigma-Aldrich. For sensitivity assays of log phase cells (LP), saturated cultures were diluted in fresh media in such a way that all strains went through nine doublings to reach an OD_{600nm} of 0.5 and for stationary phase cells (SP), 48 h saturated cultures were diluted into sterile H₂O to an OD_{600nm} of 0.5. LP and SP cultures were then serially diluted in 96-well plates. Each dilution was spotted onto YPD plates and YPD with different concentrations of H₂O₂ (10 and 15 mM), menadione (80 and 110 µM), tert-butyl hydroperoxide (5.0 mM), cumene hydroperoxide (0.6 and 1.0 mM) and CdSO₄ (30 µM) and the plates were incubated at 30°C. Experiments were repeated at least four times.

H₂O₂ sensitivity and adaptation assays.

For the sensitivity and adaptation experiments, all cultures were grown for 48 h in YPD at 30°C. Overnight cultures of BG14, *trr1Δ*, *gsh2Δ*, *gsh2Δ trr1Δ*, *cta1Δ*, *cta1Δ gsh2Δ* and *cta1Δ trr1* were diluted in rich medium (YPD) in such a way that all strains went through nine doublings to reach an OD_{600nm} of 0.5. The strains were exposed to different H₂O₂ concentrations, and incubated with shaking for 3 h. For adaptation assay, the strains were pretreated for 1 h with a non-lethal H₂O₂ concentration and then challenged with a lethal concentration of H₂O₂ for 3 additional hours. After the treatment, H₂O₂ was removed by centrifugation and the cultures were resuspended in distilled H₂O. The OD_{600nm} of the cultures was adjusted when needed to 0.5, and the cultures were then serially diluted in 96-well plates. Each dilution was spotted onto YPD plates, and the plates were incubated at 30°C for 48 hrs. All dilutions had the same amount of cells. Experiments were

repeated at least four times.

Quantification of the intracellular content of glutathione in C. glabrata.

To determine the glutathione content of BG14, *gsh1Δ pro2-4* and *gsh2Δ* strains, cells were grown and harvested as described (Chaudhuri, *et al.*, 1997). Briefly, the strains were grown in YNB with uracil supplemented with 5% ammonium sulphate and 2% glucose without or with 5 mM GSH and incubated for 48 hr at 30°C. Cells were diluted into YNB to an OD_{600nm} of 0.03 and samples were taken after 6 hr at an OD_{600nm} of 1.0 for log phase cells (LP, 6 hr) and after 24 hr and 48 hr for stationary phase cells (SP, 24 hr and 48 hr). Cells were washed twice with PBS pH 7, resuspended in 0.3 ml of 5% (w/v) sulphosalicylic acid (SSA) and mixed with an equal volume of zirconia beads. 1.5 × 10⁸ cells were homogenized by bead mixing at 4°C for 10 min. After centrifugation at 15,000 xg for 15 min, 0.2 ml of the supernatant was used to quantify GSH. Total intracellular glutathione GSX (GSH plus GSSG) content was determined enzymatically using the DTNB [5,5'-dithiobis-(2-nitrobenzoic acid)]–GSSG reductase recycling assay using the Sigma-Aldrich manual (Anderson, 1985). Briefly, nmoles of GSH were calculated as follows: nmoles GSH per ml of sample = ΔA_{412/min(sample)} x dil / ΔA_{412/min(1 nmole)} x vol; where ΔA_{412/min(sample)} is the slope generated by sample (after subtracting the values generated by the blank reaction), ΔA_{412/min(1 nmole)} is the slope calculated from standard curve for 1 nmole of GSH, dil is dilution factor of original sample and vol is volume of the sample in the reaction in ml.

Quantification of viability in late chronological life of C. glabrata.

To determine the viability in late chronological life of mutants lacking GSH, first all *gsh1Δ* mutants were generated, as described above, in strains harboring the *ScOPT1/HGT1* gene in the presence of 0.5mM of GSH. Saturated cultures of *C. glabrata* strains BG14, *gsh1Δ pro2-4* (CGM1627), *gsh2Δ* (CGM976), BG14 p*ScOPT1* (CGM1035), *gsh1Δ pScOPT1* (CGM1071), *gsh2Δ pScOPT1* (CGM1101), and *gsh1Δ gsh2Δ pScOPT1* (CGM1115) were grown in YNB+GSH (0.5mM) for 48 hr at 30°C. Cells were washed and diluted into fresh YNB without GSH and in the presence of 0.5mM of GSH and incubated at 30°C with constant shaking during 16 days. Samples were taken at day 3, 4, 6, 8, 10, 12 and 16. Cell density was adjusted to 2x10⁵ cells/ml in YPD and 300 µl were taken for growth during 23 hr at 30°C in a Bioscreen and viability was calculated from Bioscreen data as follows (Murakami, *et al.*, 2008): The doubling time for each well in a Bioscreen assay, dW, was determined by the maximal slope of the semi-log plot of OD as a function of time. The doubling time was calculated for each duplicate. For each age-point, a t value was calculated as the shift in the Bioscreen growth curve relative to the initial age-point for that strain at day 3. The t value was calculated by first determining the linear regression equation of the natural logarithm of OD_{600nm} as a function of time for each duplicate (OD_{600nm} 0.3). Based on the linear regression equation for each duplicate, the time, tOD, at which OD_{600nm} 0.3 was estimated. This OD_{600nm} value was chosen because it is near the middle of the linear range on a plot of ln (OD_{600nm}) versus time. The tOD value was calculated for each age-point and the time shift, tn, was calculated as the difference of the tOD for each age-point and the tOD for the first age-point at day 3 of culture. Relative survival for each strain at each age-point was calculated.

Results

A point mutation in the *PRO2* gene (*pro2-4*) allows the cell to grow in the absence of GSH.

In order to determine the role of GSH in the oxidative stress response, we decided to generate mutations in the *GSH1* and *GSH2* genes that encode the enzymes for GSH biosynthesis. We generated fusion PCR fragments for each gene (5'GSH-1-2::*hph*::3'GSH-1-2) and transformed our lab reference strain, BG14, with these fragments and selected the gene replacements with the hygromycin resistant marker. We obtained the *gsh2Δ* mutant and confirmed that *GSH1* is an essential gene (data not shown). Additionally, we screened for *gsh1Δ* suppressors in BG14 (see Materials and Methods). In *C. glabrata*, *GSH1* is an essential gene (Yadav, et al., 2011) and given that suppressor mutations in the *ScPRO2* gene (which encodes for the γ-glutamyl phosphate reductase that catalyzes the second step in proline biosynthesis) have been isolated (Spector, et al., 2001), we sequenced the *PRO1* (CAGL0D03894g), *PRO2* (CAGL0F00693g) and *PRO3* (CAGL0I08283g) genes from BG14 and the *gsh1Δ* mutant (CGM814). We identified a single point mutation (C376A/P126T) only in the *PRO2* gene (*pro2-4*) (Figures 1 and 6). We then determined if the *pro2-4* mutation is responsible of suppressing the absence of GSH in the *gsh1Δ* mutant. We cloned and recombined the *pro2-4* mutation into BG14 (CGM1592) and then transformed this strain with a *URA3* plasmid carrying *GSH1*. In this strain (CGM1619), *pro2-4 pGSH1*, we deleted the chromosomal copy of *GSH1*. We used this mutant strain *gsh1Δ pro2-4 pGSH1* (CGM1625) to screen for the loss of the plasmid in SC+5-FOA plates. If the strain *gsh1Δ pro2-4 pGSH1* is able to lose the plasmid, this will indicate that *pro2-4* is suppressing the absence of GSH. Ura⁺ cells die on SC+5-FOA plates and only cells that have lost the *URA3* plasmid can grow. Consistent with the fact that both strains BG14 (*GSH1* pGSH1) (CGM865) and *pro2-4* (*GSH1*) pGSH1 (CGM1619), have 2 copies of *GSH1*, these strains lost the Ura⁺ plasmid at about the same percentage (30%). Conversely, the *gsh1Δ pGSH1* strain did not lose the Ura⁺ plasmid because *GSH1* is essential for growth. Notably, the *gsh1Δ pro2-4 pGSH1* strain lost the Ura⁺ plasmid at about 6%, indicating that the *pro2-4* mutation is responsible for suppressing the absence of GSH (Figure 2a). Furthermore, since *PRO2* is an essential gene in the biosynthesis of proline, we determine if the *pro2-4* mutation conferred auxotrophy to proline. Cultures of BG14, *pro2-4*, *pro2Δ*, *gsh1Δ pro2-4* and *gsh2Δ* were plated onto YPD, YNB and YNB+Pro plates. The *pro2-4* and the *gsh1Δ pro2-4* mutants are not auxotrophs of proline, indicating that the proline biosynthetic pathway remained functional and independent of GSH (compare growth of *pro2Δ* and *pro2-4* and the *pro2-4 gsh1Δ* on YNB and YNB+PRO) (Figure 2b). These data confirm that *GSH1* is an essential gene and that a suppressor mutation in the *PRO2* gene (*pro2-4*) allows the *gsh1Δ* mutant to grow in the absence of GSH.

GSH content in the *gsh1Δ pro2-4* and *gsh2Δ* mutants.

GSH1 and *GSH2* are the structural genes responsible for GSH biosynthesis. Given that we have constructed mutations in *GSH1* (*gsh1Δ* in the presence of the suppressor mutation *pro2-4*) and *GSH2* (*gsh2Δ*), we decided to evaluate the intracellular content of GSH in these mutants and in BG14. Cells were grown for 48 hr and then diluted on YNB in the absence of GSH (and in the presence of GSH, see section below). Samples were taken in log phase (LP, 6 hr after dilution, OD_{600nm} of 1.0) and in stationary phase (SP, 24 hr and 48 hr after dilution). Cells were lysed and the GSX (total glutathione, reduced and oxidized [GSH + GSSG]) content was determined enzymatically with DTNB (See Materials and Methods). We found that BG14 has an intracellular content of GSX of 86.7 ± 3.5 nmol/ml in LP (6 hr) (Figure 3). In SP, there is a reduction of GSX content but remained constant at 48.7 ± 6.5 nmol/ml (24 hr) and 42.4 ± 9.0 nmol/ml (48 hr). In the

gsh1Δ pro2-4 mutant, there is no detectable content of GSX. Notably, the *gsh2Δ* mutant showed a constant but very low content of GSX of 4.0 ± 0.18 nmol/ml (6 hr), 4.0 ± 0.05 nmol/ml (24 hr) and 2.27 ± 2.1 nmol/ml (48 hr). This GSX content was slightly higher than the *gsh1Δ pro2-4* mutant (Figure 3). These results indicate that these enzymes are essential for the synthesis of GSH, and suggest that the dipeptide could be responsible of the low content of GSH in the *gsh2Δ* mutant but enough for the cell to grow and that the *pro2-4* mutation is not suppressing the *gsh1Δ* mutant by highly increasing the content of GSH.

External GSH improves growth of the *gsh1Δ pro2-4* and *gsh2Δ* mutants.

It has been determined by a bioinformatic analysis that *C. glabrata* does not have the high affinity GSH transporter orthologue present in *S. cerevisiae* (*OPT1/HGT1*) (Byrne & Wolfe, 2005), however we had evidence that *C. glabrata* might be incorporating GSH from the medium. In order to determine whether external GSH is incorporated by *C. glabrata*, we performed two genetic experiments. First, cultures of BG14, *pro2-4*, *pro2-4 gsh1Δ* and *gsh2Δ* were grown and plated onto YNB and YNB+GSH (0.5mM) plates. The presence of GSH improved the growth of both strain *pro2-4 gsh1Δ* and *gsh2Δ* strains (Figure 2b, compare growth on YPD which has 50μM of GSH, YNB with YNB+GSH). Second, we determined the growth rate of BG14, *pro2-4 gsh1Δ* and *gsh2Δ* strains in the presence of GSH. Liquid cultures of these strains were grown in YPD, YNB and YNB+GSH and their growth rate was determined using a Bioscreen (see Materials and Methods). BG14 doubling time remained constant independent of the media used at around 96 min. Both mutant strains, *gsh1Δ pro2-4* and *gsh2Δ*, grew at almost at the same rate in YPD than BG14 (94 min and 101 min). In contrast, both strain increased their doubling times in YNB to 117.3 ± 6.6 min and 129.5 ± 4.4 min respectively. The addition of GSH to YNB improved the growth rate of *gsh2Δ* mutant (back to 98.5 ± 3.7 min) and marginally improved that of *gsh1Δ pro2-4* mutant (back to 101.9 ± 7.9 min); the same doubling times as in YPD (Table 4). These experiments show that the presence of external GSH improves the growth of the *gsh2Δ* mutant strain defective in GSH biosynthesis and suggest that GSH could be taken up from the medium. To determine if these mutant strains are indeed incorporating external GSH, we determined their internal GSH content when grown in the presence of GSH. The same cells used and described in Figure 3 were grown in the presence of GSH (5mM). We found that BG14 showed the same GSH content. In LP (6 hr, +GSH), the BG14 content of GSX was 96.3 ± 6.8 nmol/ml, compared to 86.7 ± 3.5 nmol/ml when grown in the absence of GSH (Figure 3). In SP, BG14 showed a slight reduction of GSX content at 69.2 ± 4.7 nmol/ml (24 hr) and 59.6 ± 12.6 nmol/ml (48 hr) (slightly higher than BG14 grown in the absence of GSH [48.7 ± 6.5 nmol/ml (24 hr) and 42.4 ± 9.0 nmol/ml (48 hr)]) (Figure 3). In the *gsh1Δ pro2-4* and *gsh2Δ* mutants, there is a detectable increase in the content of GSH. In LP, the *gsh1Δ pro2-4* and *gsh2Δ* mutants showed a content of GSH of 6.5 and 8.6 nmol/ml at 6 hr (compared to 0 and 4 nmol/ml, a 6 and 2 fold increase), and an average for both strains of 15 nmol/ml at 24 hr and 48 hr (compared to 0 and 2.2 nmol/ml, a 15 and 12 fold increase) (Figure 3). Taken together these experiments, these data suggest that *C. glabrata* could be incorporating GSH from the media, possibly through a low affinity transporter.

The role of GSH in the oxidative stress response.

It has been shown that GSH is required in the detoxification of heavy metals and instrumental in the protection from oxidative stress (Grant, et al., 1996, Stephen & Jamieson, 1996, Halliwell & Gutteridge, 2007). In order to characterize the role of GSH in the response to oxidative stress and to metal ions in *C. glabrata*, we investigated the resistance of *gsh1Δ pro2-4* and *gsh2Δ*

mutant strains to H₂O₂, menadione, cumene hydroperoxide (CHP), tert-butyl hydroperoxide (TBH) and CdSO₄. Log phase (LP) and stationary phase (SP) cells were exposed to the oxidants and to the metal ion as described in the legend to Figure 4. In SP, BG14 was able to survive exposure to H₂O₂ at concentrations up to 15 mM. At this same concentration, both mutant strains *gsh1Δ pro2-4* and *gsh2Δ* became sensitive. In LP, *gsh1Δ pro2-4* and *gsh2Δ* were more sensitive to up to 10 mM and 15 mM of H₂O₂ respectively. Notably, in both LP and SP cells, *gsh2Δ* was slightly more resistant to H₂O₂ than *gsh1Δ pro2-4* (compare growth at 10 mM and 15 mM) (Figure 4a). Same behavior was seen with menadione. In both, LP and SP, BG14 survived at 110 μM of menadione while the mutant strains, *gsh1Δ pro2-4* and *gsh2Δ*, were less resistant at this concentration. Again, *gsh2Δ* was less sensitive to menadione than *gsh1Δ pro2-4* (compare growth at 80 μM and 110 μM) (Figure 4b). Interestingly, in the presence of CHP and TBH, in LP and SP, both mutant strains, *gsh1Δ pro2-4* and *gsh2Δ*, were less sensitive than BG14 (compare growth at 1.0 mM of CHP and 5.0 mM of TBH, Figures 4c and 4d). Conversely, *yap1Δ* in both LP and SP, was highly sensitive to CHP (Figure 4c). In the presence of CdSO₄ in both LP and SP, BG14 was able to survive exposure to 30 μM, however at this concentration both mutant strains *gsh1Δ pro2-4* and *gsh2Δ* were more sensitive. Interestingly, *gsh1Δ pro2-4* was slightly less sensitive than the *gsh2Δ* mutant in LP (compare growth at 30 μM) (Figure 4e). In summary, these data show that GSH participates in the oxidative stress response (OSR) in *C. glabrata* and plays an important role in the detoxification of Cd. Notably, these data suggest too that the presence of the dipeptide in the *gsh2Δ* could be providing some protection as well.

We have previously shown that *C. glabrata* lacking the single catalase, Cta1, became sensitive to H₂O₂ in both SP and LP (Cuellar-Cruz, et al., 2008). Interestingly, *cta1Δ* cells still were able to adapt when exposed to low levels of H₂O₂ and then challenged to a lethal concentration (Cuellar-Cruz, et al., 2008), indicating a catalase-independent pathway to respond to H₂O₂. We asked whether GSH or thioredoxin (which is a second redox system that maintains the reduced state of protein thiols and has been shown in *S. cerevisiae* that can compensate for the lack of GSH in the cell), could be responsible for the adaptation response in the absence of the catalase. Both systems use NADPH as a final electron donor, and Glutaredoxins (Grx) depend on GSH and thioredoxin depends on the activity of thioredoxin reductase (*TRR1*). In order to determine the role of GSH or thioredoxin reductase in the adaptation response in the absence of catalase, we tested the resistance and adaptation to H₂O₂ in BG14, the single mutants *gsh2Δ*, *trr1Δ* (which encodes for the thioredoxin reductase), and *cta1Δ* and the double mutants *cta1Δ gsh2Δ* and *cta1Δ trr1Δ*. Cells were grown and exposed to the oxidants as described in the legend to Figure 5. BG14 and *trr1Δ* showed the same behavior in the presence of H₂O₂. Both strains are resistant up to 10 mM of H₂O₂ and were able to adapt (10+100 mM and 5+50 mM of H₂O₂) (Figure 5). As expected, the *gsh2Δ* mutant was less resistant at 10 mM of H₂O₂ than BG14 and *trr1Δ*, but still was able to adapt at 5+50 mM of H₂O₂ (Figure 5). The response to oxidative stress in the double mutant, *gsh2Δ trr1Δ*, showed the phenotype of the single *gsh2Δ* mutant, less resistant at 10 mM of H₂O₂ (Figure 5), however, this mutant still was able to adapt at 2+25 mM of H₂O₂ (Figure 5). We then tested if the *cta1Δ* strain could still adapt in the absence of GSH or thioredoxin reductase. The *cta1Δ* is less resistant to H₂O₂, it grew at 1 mM and was sensitive to 4 mM, but was able to adapt to the lethal concentration of 4 mM (1 mM + 4 mM, Figure 5). Both double mutants, *cta1Δ gsh2Δ* and *cta1Δ trr1Δ* showed the same behavior as the *cta1Δ*. These mutant strains grew up to 1 mM, were sensitive to 4 mM and were able to adapt to the lethal concentration of 4 mM (1 mM + 4 mM, Figure 5). These data indicate that the thioredoxin reductase or high levels of GSH and are not responsible for the catalase-independent adaptation to H₂O₂ in *C. glabrata*.

GSH requirement in late chronological life.

Given that it has been shown that microorganisms are more resistant to oxidative stress in SP and that some virulence factors are induced in SP (Thompson, *et al.*, 2003), we decided to evaluate the role of GSH in cells in late chronological life where cells are under aerobic respiration and are not replicating. We analyzed the GSH mutant strains in the presence or absence of the *S. cerevisiae* high-affinity plasma membrane GSH transporter, ScOpt1/Hgt1 and in the presence or absence of GSH in the media (see Materials and Methods). Saturated cultures of *C. glabrata* strains BG14, *gsh1Δ pro2-4*, and *gsh2Δ*; and BG14 pOPT1, *gsh1Δ pOPT1*, *gsh2Δ pOPT1* and *gsh1Δ gsh2Δ pOPT1* were grown in YNB+GSH (0.5mM) for 48 hr at 30°C. Cells were washed and diluted into YNB in the presence (0.5mM) and in the absence of GSH. At day 3 all cells stopped growing (cells enter stationary phase) and samples were taken at day 3, 4, 6, 8, 10, 12 and 16 and diluted into fresh YPD media and viability was scored in a Bioscreen (see Materials and Methods). At day 3, strains BG14, *gsh1Δ pro2-4* and *gsh2Δ* showed 100% viability (Table 5). BG14 cells were viable throughout the course of the experiment. At day 16, BG14 in the absence of GSH (-GSH) showed 34±4% viability, while in the presence of GSH (+GSH) showed 50±15% viability. *gsh1Δ pro2-4* at day 6 (-GSH) showed 18±3% while (+GSH) showed 41±8% viability and lost viability at day 8 (\pm GSH, 5±3% / 3.6±2%). *gsh2Δ* from day 8 lost viability (\pm GSH) compare to BG14, however, *gsh2Δ* in the presence of GSH also showed an increase in viability starting at days 10 and 12 (day10, 25±5% / 41±7%; day 12, 19±3% / 34±5%). Interestingly, *gsh1Δ pro2-4* showed less viability than *gsh2Δ* (compare day 8 *gsh1Δ pro2-4* (\pm GSH, 5±3% / 3.6±2%) and *gsh2Δ* (\pm GSH, 46±13% / 51±10%). These data suggest that the GSH could be introduced from the media, and also indicates that the dipeptide in the *gsh2Δ* strain is providing protection against ROS. Strains BG14 pScOPT1, *gsh1Δ pScOPT1*, *gsh2Δ pScOPT1* and *gsh1Δ gsh2Δ pScOPT1* showed 100% viability at day 3 (Table 5). All 4 strains in the presence of GSH (BG14 pScOPT1, *gsh1Δ pScOPT1*, *gsh2Δ pScOPT1* and *gsh1Δ gsh2Δ pScOPT1*) showed the same rate of loss of viability; at day 8 the strains have an average of 88% viability (91±13%, 88±8%, 90±4% and 81±9%) and by day 16 the strains have an average of 16% viability (15±2%, 23±4%, 13±1% and 13±4%). This result indicate that the presence of GSH and the ScOPT1 GSH transporter make the mutant strains behave like the parental strain BG14. Also in the presence of GSH, strains *gsh1Δ pScOPT1*, *gsh2Δ pScOPT1* and *gsh1Δ gsh2Δ pScOPT1* at day 8 showed an increase in viability (42±5% / 88±8%, 38±11% / 90±4%, 33±8% / 81±9%, respectively). Notably, compared to BG14 at day 8 in the absence of GSH, all mutant strains showed reduced viability (88±7%, 42±5%, 38±11%, 33±8%) and the mutants showed the same rate of loss of viability from day 10. In summary, these results indicate that GSH is needed in late chronological life and the presence of GSH allows the mutant strains to remain viable longer.

Discussion

Phagocytic cells generate ROS (O_2^- , H_2O_2 , $\cdot OH$) to eliminate fungal infections, however, fungal pathogens are very efficient to respond to oxidative stress (Mansour & Levitz, 2002). Transcriptional remodeling through well-conserved transcription factors (Yap1, Skn7, Msn2, and Msn4) (Lee, et al., 1999, Gasch, 2007) and synthesis of enzymes and antioxidant molecules (Cta, SODs, and Gpx and GSH and Trx) (Grant, et al., 1998, Thorpe, et al., 2004) ensure elimination of ROS and survival of the pathogen. The importance of the presence of these anti-oxidant mechanisms for virulence in several fungal pathogens has been documented (Hwang, et al., 2002, Paris, et al., 2003). *C. glabrata* is no exception and has a defined OSR with transcriptional gene regulation, synthesis of antioxidant mechanisms, and survival inside phagocytic cells (Kaur, et al., 2007, Cuellar-Cruz, et al., 2008, Roetzer, et al., 2010, Saijo, et al., 2010).

GSH is a γ -glutamyl-cysteinyl-glycine tripeptide present in many organisms. It is important for protection against oxidative stress, detoxification of xenobiotics, and enzyme activity. It is essential for growth because it is required for assembling cytoplasmic Fe–S clusters (ISC) (Sipos, et al., 2002, Kumar, et al., 2011). In this study, in order to further our understanding of the OSR in *C. glabrata*, we characterized the role of glutathione in this fungal pathogen.

gsh1 Δ suppressor maps in *PRO2*.

We made mutations in the structural genes in the biosynthesis of GSH, *GSH1* and *GSH2*, and confirmed that *GSH1* is essential (Yadav, et al., 2011). However, suppressor mutations in the absence of GSH had been obtained in *E. coli* (Veeravalli, et al., 2011) and in *S. cerevisiae* (Spector, et al., 2001), where the suppression requires the proline biosynthesis pathway (described in Figure 6). In our study, we screened for spontaneous *gsh1 Δ* suppressors and found a single point mutation in *PRO2* (*pro2-4*, P126T) which is a new allele localized in a conserved region (Figure 1). Furthermore and consistent with what has been described previously, the *pro2-4* does not affect proline biosynthesis (Figure 2b). The biosynthetic pathway of proline is probably the only mechanism to suppress the absence of GSH. It has been proposed that this pathway can be used to synthesize small but enough amounts of GSH in *E. coli*, *S. cerevisiae* and now in *C. glabrata* (Figure 6). These data nicely show how enzymes can be co-opted to function in additional roles.

GSH and protection against oxidative and heavy metal stress.

GSH is fundamental in the protection against oxidative stress and tolerance to heavy metals. We showed here that GSH is important for the OSR generated by menadione and H_2O_2 (Figures 4a and 4b). Our data also shows that the dipeptide (γ -glutamyl cysteine) provides protection against oxidative stress (Figures 4a and 4b). In *S. cerevisiae*, the organic peroxides, cumene hydroperoxide (CHP) and tert-butyl hydroperoxide (TBH) are de-toxified by glutathione peroxidases however, GSH is only required to eliminate TBH, but not, CHP (Grant, et al., 1996, Mutoh, et al., 2005). Interestingly, we found that the mutants lacking GSH are resistant to both organic peroxides, CHP and TBH (Figures 4c and 4d). These results suggest first, the existence of an alternative GSH independent de-toxification mechanism for organic peroxides in *C. glabrata* and second, GSH is affecting negatively the removal of these peroxides. Additionally, this alternative de-toxification mechanism for organic peroxides depends on the transcription factor Yap1 (Figure 4c) indicating that the resistance to organic peroxides is regulated by the OSR. Currently, we are trying to understand this GSH-independent resistance to organic peroxides.

GSH can form chelation complexes with heavy metals and thereby assist in their detoxification. In *S. cerevisiae*, Cd²⁺ tolerance is achieved when Cd²⁺(GSH)₂ complexes are formed and then moved into the vacuole by Ycf1(Li, *et al.*, 1997). In this study, we showed that *GSH1* and *GSH2* are important in the detoxification of Cd²⁺ (Figure 4e). Surprisingly, the *gsh2Δ* mutant showed increased sensitivity to Cd²⁺ indicating that the dipeptide (γ -glutamyl-cysteine) is not participating in the detoxification of Cd²⁺ (Figure 4e). A likely explanation for this increased sensitivity to Cd²⁺ is the lack of synthesis of phytochelatins (PhCs) in the *gsh2Δ* mutant. It has been shown in *S. pombe* and in *C. glabrata* that exposure to Cd²⁺ induced the biosynthesis of PhCs; a (γ -Glu-Cys)n-Gly polymer (Rauser, 1990, Rauser, 1995). PhCs chelate Cd²⁺, Cu²⁺, and Zn²⁺ ions in the cytosol and these complexes are then moved into the vacuole (Ortiz, *et al.*, 1992). It has been proposed that Gsh2 in addition to catalyze the synthesis of GSH, is also responsible of the synthesis of PhCs (Al-Lahham, *et al.*, 1999).

Are GSH and thioredoxin compensating for the absence of Cta1?

We have shown that *C. glabrata* strain BG14 is extremely resistant to oxidative stress generated by H₂O₂ (Cuellar-Cruz, *et al.*, 2008). As expected, deletion of the single catalase, Cta1, renders the cell sensitive to H₂O₂. However, *C. glabrata cta1Δ* is still virulent in a murine model of disseminated infection. Interestingly, we found that *cta1Δ* can still adapt if exposed first, to a non-lethal and then to a lethal concentration of H₂O₂ (1+4 mM H₂O₂) (Figure 5) (Cuellar-Cruz, *et al.*, 2008). This result suggests that with this residual resistance, first, the *cta1Δ* mutant can survive *in vivo* and second, that there is a catalase-independent pathway to respond to H₂O₂. Given that GSH compensates in *S. cerevisiae* for the lack of both catalases in growing cells (Izawa, *et al.*, 1996), and that thioredoxin is a second redox system which compensates for the lack of GSH in the cell, we asked if GSH or thioredoxin were involved in this catalase-independent pathway to respond to H₂O₂. Here we showed that the catalase-independent adaptation response to H₂O₂ is not mediated by GSH or thioredoxin (Figure 5). Currently, we are trying to identify these regulators/effectors of the catalase-independent adaptation response to H₂O₂.

Is there a GSH transporter in *C. glabrata*?

Bioinformatic and experimental analysis have shown that *C. glabrata* does not have the *S. cerevisiae* high affinity transporter orthologue Opt1/Hgt1. However, our genetic data (Figure 2b, Table 4 and Table 5) and the quantification analysis of the internal content of GSH when cells were grown in the presence of GSH (Figure 3) suggest that the mutant strains are introducing GSH from the medium. We propose that *C. glabrata* could be incorporating external GSH by either an amino acid transporter with low affinity for GSH or from a GSH transporter that could be expressed only under specific conditions; and *in vivo* specific expression of genes is common in pathogens. (Cormack, *et al.*, 1999, De Las Penas, *et al.*, 2003).

GSH is important in late chronological life.

GSH is important for diverse processes in the cell, in the OSR and specially its activity during iron metabolism where GSH works with glutaredoxins to assemble cytoplasmic Fe–S clusters fundamental in the maturation of essential enzymes in the cell (Kumar, *et al.*, 2011). Given that microorganisms are more resistant to oxidative stress in SP, we analyzed the role of GSH in late stationary phase where ROS are being generated. GSH is required and consumed in late chronological life and the presence of GSH allows the strains to remain viable longer but not indefinitely (Table 5), in spite that only trace amounts of the tripeptide are required for the essential

role of GSH (Sipos, *et al.*, 2002, Kumar, *et al.*, 2011). This also indicates that viability in late chronological life is not only determined by the presence of GSH. The loss of viability, as estimated by delay in growth, is likely to be due to the absence of properly assembled Fe–S clusters in essential cytoplasmic proteins and to the inability to neutralize ROS generated during the aerobic respiration in stationary phase. Given that external GSH extended the viability of the *gsh1Δ pro2-4* and *gsh2Δ* mutants, these data provides additional support that GSH is being introduced from the media.

Given that GSH in *C. glabrata* is essential and is required for the OSR, detoxification of heavy metals, and for late chronological life, it is important to understand why *C. glabrata* does not have or does not express a transporter for such an essential molecule (GSH). We are currently determined to identity this putative transporter.

Acknowledgements

We thank Lina Riego, Marcela Briones and Jacqueline Juárez for helpful discussions. This work was funded by a Consejo Nacional de Ciencia y Tecnología (CONACYT) fellowship to G.G.E. (48580) and E.O.Z. (233455). This work was funded by a CONACYT grant No. CB-2010-01-153929 to A.D.L.P and grant No. CB-2010-01-151517 to I.C.N.

FIGURES


Fig 1 ScPro2, CgPro2 and CgPro2-4 alignment. ScPro2 and CgPro2 are 87% similar across the entire length of the proteins. Identical residues are boxed and shaded. The asterisk (*) show the three mutations described in ScPro2 (S124P, G149S, and A226V). The black star (✿) indicates the *C. glabrata* pro2-4 mutation (P126T).

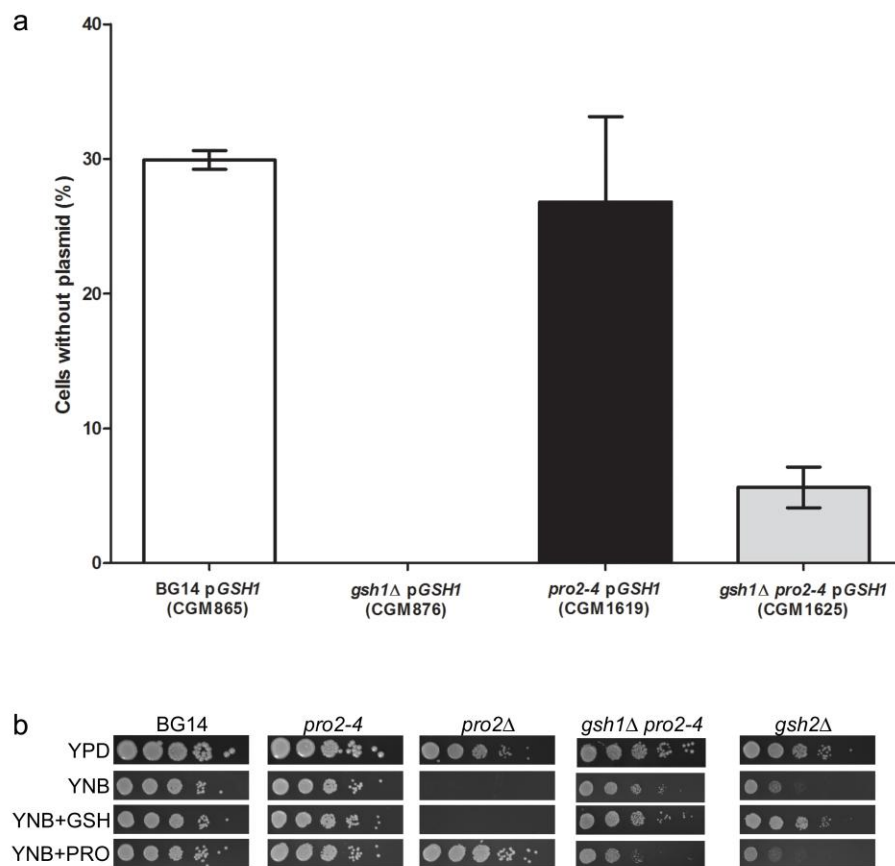


Fig 2 The *pro2-4* suppressor mutation. (a) Strains BG14 pGSH1 (CGM865), *gsh1 Δ* pGSH1 (CGM876), *pro2-4* pGSH1 (CGM1619), and *gsh1 Δ pro2-4* pGSH1 (CGM1625) were grown at 30°C for 48 hr in YPD and diluted back in to fresh media and grown for another 24 hr. This was repeated 3 times. 10-fold serial dilutions were plated on YPD plates for viable counts and on SC+5FOA plates to screen for the loss of the Ura $^+$ plasmid. Ura $^+$ cells die on SC+5-FOA plates. Only cells that have lost the Ura $^+$ plasmid can grow on SC +5-FOA. % of cells without plasmid was calculated by the number of cells on SC+5-FOA divided by the number of cells on YPD (viable count). (b) Strains BG14, *pro2-4* (CGM1592), *pro2 Δ* (CGM1446), *gsh1 Δ pro2-4* (CGM1627) and *gsh2 Δ* (CGM873) were grown for 48 hr at 30°C in YPD or YNB. Strains were diluted to OD_{600nm} 0.5 with distilled water and 10-fold serial dilutions were spotted onto YPD, YNB, YNB+GSH (500 μ M of GSH) and YNB+Pro (1% of proline) plates. Plates were incubated at 30°C. See Materials and Methods.

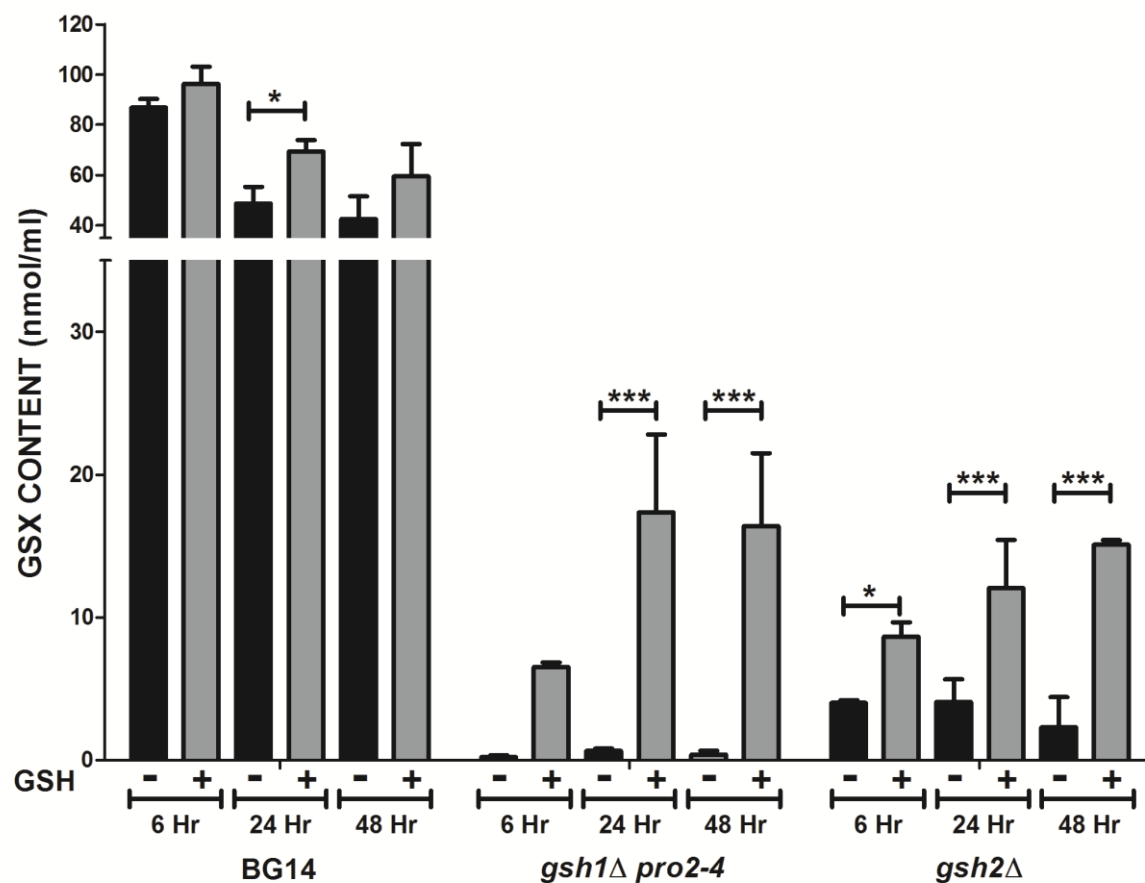


Fig 3 GSX content in *C. glabrata* strains BG14, *gsh1* Δ *pro2-4* and *gsh2* Δ . To quantify the intracellular GSX concentration from *C. glabrata* strains BG14, *gsh1* Δ *pro2-4* (CGM1627) and *gsh2* Δ (CGM873), cells were grown on YNB media at 30°C in the absence (black bars) or presence (gray bars) of GSH [5mM], and samples were taken at 6 hr (OD_{600nm} of 1.0), 24 hr and 48h hr. 1.5 x10⁸ cells were washed twice with PBS and then lysed with glass beads in 5% SSA buffer. The intracellular GSX content was determined enzymatically with DTNB. Statistical analysis where * p<0.05 and *** p<0.001. See Materials and Methods.

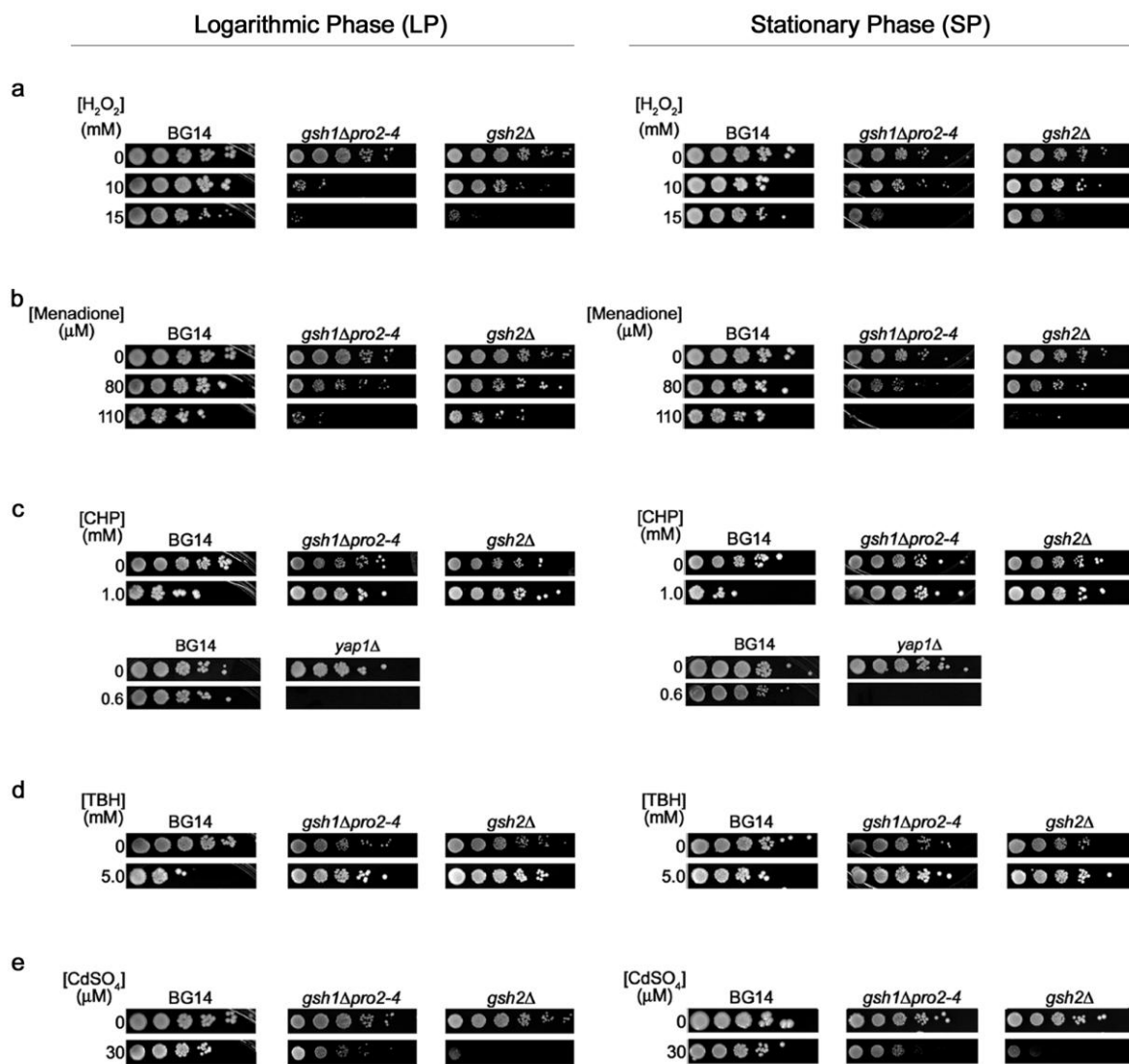


Fig 4 *C. glabrata* strains BG14, gsh1Δ pro2-4 and gsh2Δ response to H₂O₂, menadione, tert-butyl hydroperoxide, cumene hydroperoxide and CdSO₄. Saturated cultures of *C. glabrata* strains BG14, gsh1Δ pro2-4 (CGM1627), gsh2Δ (CGM873) and yap1Δ (CGM297) were grown in YPD media for 48 hr at 30°C. Logarithmic phase (LP) and stationary phase (SP) cells were washed and resuspended in water and the OD_{600nm} were adjusted when needed to 0.5. Cultures were serially diluted and each dilution was spotted onto YPD plates supplemented (as indicated) with different concentrations of (a) H₂O₂, (b) menadione, (c) cumene hydroperoxide (CHP), (d) tert-butyl hydroperoxide (TBH), and (e) CdSO₄. Plates were incubated at 30°C. See Materials and Methods.

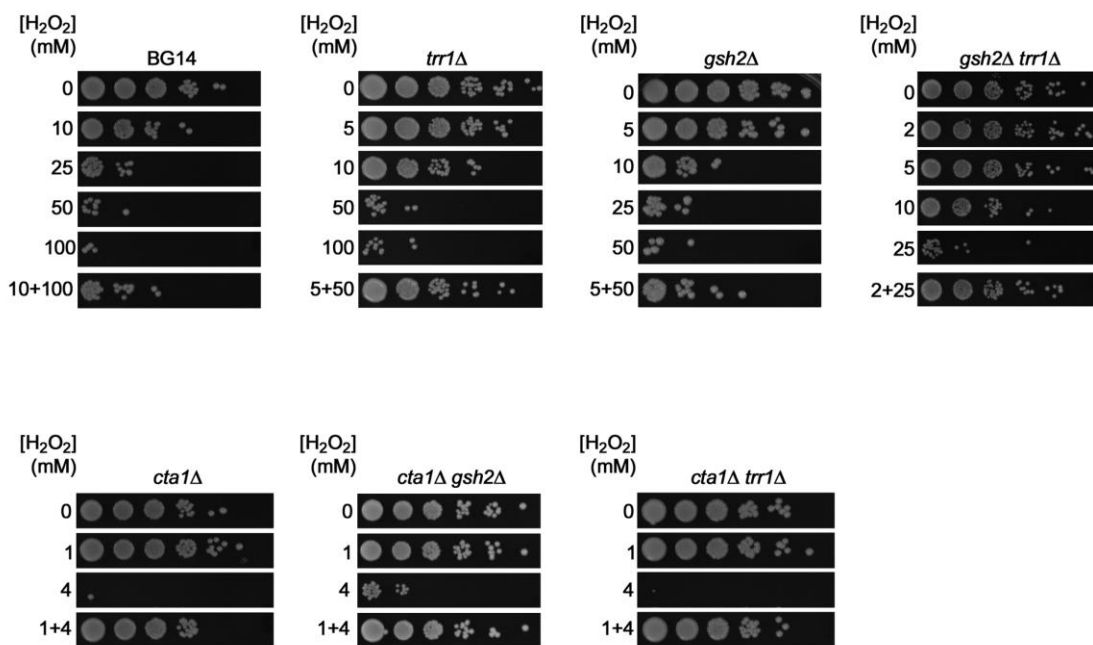


Fig 5 Adaptation response of *C. glabrata* strains BG14, trr1Δ, gsh2Δ, gsh2Δ trr1Δ, cta1Δ, cta1Δ gsh2Δ and cta1Δ trr1Δ to H₂O₂. Saturated cultures of *C. glabrata* strains BG14, trr1Δ (CGM1475), gsh2Δ (CGM976), gsh2Δ trr1Δ (CGM1521), cta1Δ (CGM392), cta1Δ gsh2Δ (CGM1099), and cta1Δ trr1Δ (CGM1477) were diluted in fresh medium (YPD) so that all strains reached an OD_{600nm} of 0.5 after nine doublings at 30°C. Strains BG14 and trr1Δ were exposed to 0, 10, 25, 50, and 100 mM of H₂O₂, gsh2Δ was exposed to 0, 5, 10, 25, and 50 of H₂O₂, gsh2Δ trr1Δ was exposed to 0, 2, 5, 10, and 25 of H₂O₂, and strains cta1Δ, cta1Δ gsh2Δ, and cta1Δ trr1Δ were exposed to 0, 1, and 4 mM of H₂O₂ for 3 hrs. For adaptation experiments, strain BG14 was pretreated for 1 hr with 10 mM H₂O₂ and then with 100 mM H₂O₂ for 3 additional hours; strains trr1Δ and gsh2Δ were pretreated for 1 hr with 5 mM H₂O₂ and then with 50 mM H₂O₂ for 3 additional hours, strain gsh2Δ trr1Δ was pretreated for 1 hr with 2 mM H₂O₂ and then with 25 mM H₂O₂ for 3 additional hours and strains cta1Δ, cta1Δ gsh2Δ, and cta1Δ trr1Δ were pretreated for 1 hr with 1 mM H₂O₂ and then with 4 mM H₂O₂ for 3 additional hours. After the treatments, H₂O₂ was removed by centrifugation. The cultures were resuspended in distilled water and the OD_{600nm} were adjusted when needed to 0.5. Cultures were serially diluted and each dilution was spotted onto YPD plates. Plates were incubated at 30°C. See Materials and Methods.

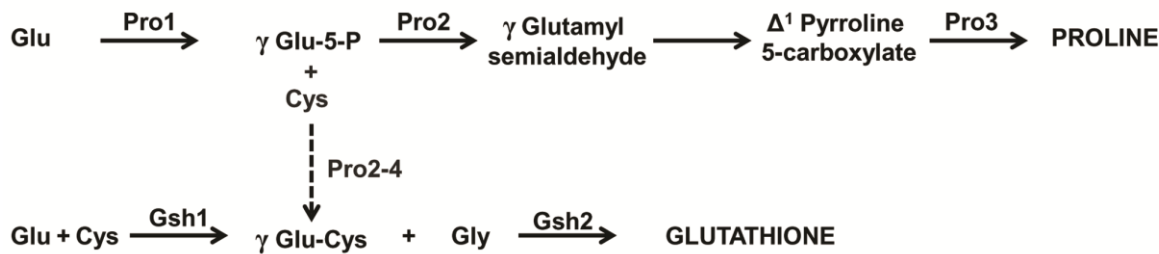


Fig 6. The GSH suppression pathway. In *S. cerevisiae*, the proline biosynthesis pathway is catalyzed by Pro1 (γ -glutamyl kinase) that converts glutamate to γ -glutamyl phosphate (Tomenchok & Brandriss, 1987) that then is converted by Pro2 (γ -glutamyl phosphate reductase) to glutamate- γ -semialdehyde, the precursor of L- Delta 1- pyrroline-5 carboxylic acid, which is converted to proline by Pro3 (Delta 1-pyrroline-5-carboxylate reductase). The suppression pathway requires γ -glutamyl phosphate. The suppressor alleles of Pro2 (In *S. cerevisiae*: S124P, G149S, and A226V; and in *C. glabrata*: P126T [Pro2-4]) could be allowing the condensation of cysteine to γ -glutamyl phosphate to produce γ -glutamyl-cysteine, and Gsh2 then converts γ -glutamyl-cysteine to GSH. Glu is glutamic acid, Cys is cysteine, and Gly is glycine.

Table 1. Strains used in this study

Strain	Parent	Genotype	Reference
<i>Escherichia coli</i>			
DH10		<i>F mcrA Δ(mrr-hsdRMS-mcrBC) φ80dlacZΔM15 ΔlacX74 deoR recA1 endA1 araD139 Δ(ara,leu)7697galU galK λ rpsL nupG</i>	Calvin and Hanawalt (1988)
<i>Candida glabrata</i> strains			
BG2		Clinical isolate (strain B)	Fidel et al. (1996)
BG14	BG2	<i>ura3Δ::Tn903 G418^R</i>	Cormack and Falkow (1999)
CGM297	BG14	<i>ura3Δ::Tn903 G418^R yap1Δ Hyg^R Ura⁻</i>	Cuellar, et al. (2008)
CGM392 (<i>cta1Δ</i>)	CGM295	<i>ura3Δ::Tn903 G418^R cta1Δ Hyg^R Ura⁻</i>	Lab collection
CGM814 (<i>gsh1Δ pro2-4</i>)	BG14	<i>ura3Δ::Tn903 G418^R gsh1Δ::hph pro2-4 Hyg^R Ura⁻</i> Original mutation	This work
CGM865 (pGSH1)	BG14	<i>ura3Δ::Tn903 G418^R pGE59 Ura⁺</i>	This work
CGM873 (<i>gsh2Δ</i>)	BG14	<i>ura3Δ::Tn903 G418^R gsh2Δ::hph Hyg^R Ura⁻</i>	This work
CGM876 (<i>gsh1Δ pGSH1</i>)	CGM865	<i>ura3Δ::Tn903 G418^R gsh1Δ::hph pGE59 Hyg^R Ura⁺</i>	This work
CGM976 (<i>gsh2Δ</i>)	CGM873	<i>ura3Δ::Tn903 G418^R gsh2Δ Hyg^S Ura⁻</i>	This work
CGM1035 (BG14 pScOPT1)	BG14	<i>ura3Δ::Tn903 G418^R BG14 pGE67 Ura⁺</i>	This work
CGM1071 (<i>gsh1Δ pScOPT1</i>)	CGM1035	<i>ura3Δ::Tn903 G418^R gsh1Δ::hph pGE67 Hyg^R Ura⁻</i>	This work
CGM1099 (<i>cta1Δ gsh2Δ</i>)	CGM392	<i>ura3Δ::Tn903 G418^R cta1Δ gsh2Δ::hph Hyg^R Ura⁻</i>	This work
CGM1101 (<i>gsh2Δ ScOPT1</i>)	CGM976	<i>ura3Δ::Tn903 G418^R gsh2Δ pGE67 Hyg^S Ura⁺</i>	This work
CGM1115 (<i>gsh2Δ gsh1Δ ScOPT1</i>)	CGM1101	<i>ura3Δ::Tn903 G418^R gsh2Δ gsh1Δ::hph pGE67 Hyg^R Ura⁺</i>	This work
CGM1446 (<i>pro2Δ</i>)	BG14	<i>ura3Δ::Tn903 G418^R pro2Δ::URA3 Ura⁺</i>	This work
CGM1475 (<i>tirr1Δ</i>)	BG14	<i>ura3Δ::Tn903 G418^R tirr1Δ::URA3 Ura⁺</i>	This work
CGM1477 (<i>cta1Δ tirr1Δ</i>)	CGM392	<i>ura3Δ::Tn903 G418^R cta1Δ tirr1Δ::URA3 Hyg^S Ura⁺</i>	This work
CGM1521 (<i>gsh2Δ tirr1Δ</i>)	CGM976	<i>ura3Δ::Tn903 G418^R gsh2Δ tirr1Δ::URA3 Hyg^S Ura⁺</i>	This work
CGM1592 (<i>pro2-4</i>)	BG14	<i>ura3Δ::Tn903 G418^R pro2-4 Ura⁻</i>	This work
CGM1619 (<i>pro2-4 pGSH1</i>)	CGM1592	<i>ura3Δ::Tn903 G418^R pro2-4 pGE59 Ura⁺</i>	This work
CGM1625 (<i>gsh1Δ pro2-4 pGSH1</i>)	CGM1619	<i>ura3Δ::Tn903 G418^R gsh1Δ::hph pro2-4 pGE59 Hyg^R Ura⁺</i>	This work
CGM1627 (<i>gsh1Δ pro2-4</i>)	CGM1625	<i>ura3Δ::Tn903 G418^R gsh1Δ pro-4 Hyg^R Ura⁻</i>	This work

Table 2. Plasmid used in this study

Plasmid	Relevant Genotype	Reference
pYIplac211	Cloning vector, integrative vector <i>URA3 Ap</i> ^R	Gietz and Sugino (1988)
pAP599	Cloning vector for construction of knockout mutants with two FRT direct repeats flanking the hygromycin cassette to remove the selection marker for construction of multiple mutants in <i>C. glabrata</i> . [FRT-P _{PGK} ::hph::3'UTR _{HIS3} -FRT] <i>URA3 Hyg</i> ^R <i>Ap</i> ^R	Domergue et al. (2005)
pGRB2.0	Cloning vector, pRS406 <i>URA3 C.g.CEN ARS Ap</i> ^R Single copy.	De Las Peñas et al. (2003)
pGRB2.2	Cloning vector derived from pGRB2.0, for <i>PGK1</i> -promoter fusions <i>URA3 C.g.CEN ARS Ap</i> ^R <i>PGK1</i> strong promoter.	(Domergue, et al., 2005)
pGE31	A 0.747kb <i>SacI/BamHI</i> PCR fragment (primers 154/155) carrying the promoter region of <i>GSH1</i> a 1.036 <i>HindIII/KpnI</i> PCR fragment (primers 157/158) carrying the 3'UTR region of <i>GSH1</i> were cloned into pAP599 digested with <i>HindIII/KpnI</i> and <i>SacI/BamHI</i> . [5'GSH1::hph::3'UTR GSH1]. <i>URA3 Ap</i> ^R .	This work
pGE59	A 3.844kb <i>SacI/KpnI</i> PCR fragment (primers 155/158) carrying the intergenic regions and ORF of <i>GSH1</i> was cloned into pGRB2.0 digested with <i>SacI/KpnI</i> . <i>URA3 Ap</i> ^R .	This work
pGE67	A 3.094kb <i>XbaI/SalI</i> PCR fragment (primers 728/729) carrying the ORF of <i>OPT1</i> and its 3'UTR of BY4742 strain of <i>S. cerevisiae</i> was cloned into pGRB2.2 digested with <i>XbaI/SalI</i> . <i>Amp</i> ^R	This work
pGE83	A 1.748kb <i>SacI/KpnI</i> PCR fragment (primers 716/1005) carrying <i>PRO2</i> gene of CGM814 strain was cloned into pYIplac211 digested with <i>SacI/KpnI</i> . <i>URA3 Ap</i> ^R	This work

Table 3. Oligonucleotides used in this study

Primer	Sequence	Sites
154	GCTGGATCCAGTCCTGCTCCAGTCC	BamH I
155	CCAGGAGCTCCCAGGTGCCATCAAAC TACC	SacI
157	CCCAAGCTTTTAAAGACATCCCCG	Hind III
158	CCGGGTACCGTTACATTAGAAATAGC	Kpn I
165	GACTCACTATAGGGCGAATTGG	
166	CGGAATTAAACCCCTCACTAAAGG	
167	GGTGGAGCTCAATTGCCCTATAGTGAGTCGCTCCAGTCCTGCTCCAGTCC	
169	GCTTTGTCCTTTAGTGAGGGTTAACCCGACTTTAAAGACATCCCCG	
170	GGTATGGGCCAGTTACATTAG	
508	CCAGGTTCCGCAGCGTCAAG	
604	AAAAATATCAAGTCCGTATTTCG	
605	CAAAGACGATGTGGTAGCC	
635	GGAGCTCCAATTGCCCTATAGTGAGTCGGTATCTCGGTAAAGACAAGC	
637	CGTATGGTATAGATCCAGCCGC	
640	TTTGTCCCTTGTGAGGGTTAACCGAAGATAACGATAATGGTGGC	
642	CATCTCTGAGAGTTCGCTGG	
716	GAAGGTACCGCTATATTAGTTACACC	Kpn I
728	GAAGTCGACGATGTAGTTAGTTG	Sal I
729	GCATCTAGAAAAATGAGTACCATTTATAGGGAG	Xba I
909	CACGGCTACCACATCGTCTTGAGAAAAATATAACAAAAGCAAATG	
910	GCATAAAAATCCGGAAAGGGC	
912	CGAATTCAAGGAATTGATATTTTACACACTGCTTGAGAATCAATGT	
913	GGTCTCGATGTTAACCGATTAC	
934	CGAATTCAAGGAATTGATATTTTGTGGACGACACGGTGGATATG	
935	CCACTAGATCTTCTGGCTAAC	
937	CACGGCTACCACATCGTCTTGAGTATATAATGTTGAGTTATC	
938	CTGTTCAAGTCGAGGATAAGG	
1005	GCGAGCTCAGCTGAATAGTATGTGTGTAT	Sac I
1088	CAATAATTCAAGACAATGAACG	
1090	CAGTTGTCATTCTAGTTGCTG	
1092	GCCCATAGTCATCGTCCCAA	

References

- Al-Lahham A, Rohde V, Heim P, et al. (1999) Biosynthesis of phytochelatins in the fission yeast. Phytochelatin synthesis: a second role for the glutathione synthetase gene of *Schizosaccharomyces pombe*. *Yeast* 15: 385-396.
- Anderson ME (1985) Determination of glutathione and glutathione disulfide in biological samples. *Methods Enzymol* 113: 548-555.
- Ausubel FM (1992) *Short protocols in molecular biology : a compendium of methods from Current protocols in molecular biology*. Greene, New York, N.Y.
- Avery AM & Avery SV (2001) *Saccharomyces cerevisiae* expresses three phospholipid hydroperoxide glutathione peroxidases. *J Biol Chem* 276: 33730-33735.
- Bourbouloux A, Shahi P, Chakladar A, Delrot S & Bachhawat AK (2000) Hgt1p, a high affinity glutathione transporter from the yeast *Saccharomyces cerevisiae*. *J Biol Chem* 275: 13259-13265.
- Byrne KP & Wolfe KH (2005) The Yeast Gene Order Browser: combining curated homology and syntenic context reveals gene fate in polyploid species. *Genome Res* 15: 1456-1461.
- Carmel-Harel O & Storz G (2000) Roles of the glutathione- and thioredoxin-dependent reduction systems in the *Escherichia coli* and *saccharomyces cerevisiae* responses to oxidative stress. *Annu Rev Microbiol* 54: 439-461.
- Castano I, Pan SJ, Zupancic M, Hennequin C, Dujon B & Cormack BP (2005) Telomere length control and transcriptional regulation of subtelomeric adhesins in *Candida glabrata*. *Mol Microbiol* 55: 1246-1258.
- Castano I, Kaur R, Pan S, et al. (2003) Tn7-based genome-wide random insertional mutagenesis of *Candida glabrata*. *Genome Res* 13: 905-915.
- Cormack BP, Ghori N & Falkow S (1999) An adhesin of the yeast pathogen *Candida glabrata* mediating adherence to human epithelial cells. *Science* 285: 578-582.
- Cuellar-Cruz M, Briones-Martin-del-Campo M, Canas-Villamar I, Montalvo-Arredondo J, Riego-Ruiz L, Castano I & De Las Penas A (2008) High resistance to oxidative stress in the fungal pathogen *Candida glabrata* is mediated by a single catalase, Cta1p, and is controlled by the transcription factors Yap1p, Skn7p, Msn2p, and Msn4p. *Eukaryot Cell* 7: 814-825.
- Chaudhuri B, Ingavale S & Bachhawat AK (1997) apd1+, a gene required for red pigment formation in ade6 mutants of *Schizosaccharomyces pombe*, encodes an enzyme required for glutathione biosynthesis: a role for glutathione and a glutathione-conjugate pump. *Genetics* 145: 75-83.
- De Las Penas A, Pan SJ, Castano I, Alder J, Cregg R & Cormack BP (2003) Virulence-related surface glycoproteins in the yeast pathogen *Candida glabrata* are encoded in subtelomeric clusters and subject to RAP1- and SIR-dependent transcriptional silencing. *Genes Dev* 17: 2245-2258.
- Diekema DJ, Messer SA, Brueggemann AB, Coffman SL, Doern GV, Herwaldt LA & Pfaller MA (2002) Epidemiology of candidemia: 3-year results from the emerging infections and the epidemiology of Iowa organisms study. *J Clin Microbiol* 40: 1298-1302.
- Fernandes AP & Holmgren A (2004) Glutaredoxins: glutathione-dependent redox enzymes with functions far beyond a simple thioredoxin backup system. *Antioxid Redox Signal* 6: 63-74.
- Gasch AP (2007) Comparative genomics of the environmental stress response in ascomycete fungi. *Yeast* 24: 961-976.
- Grant CM, MacIver FH & Dawes IW (1996) Glutathione is an essential metabolite required for resistance to oxidative stress in the yeast *Saccharomyces cerevisiae*. *Curr Genet* 29: 511-515.

Grant CM, MacIver FH & Dawes IW (1997) Glutathione synthetase is dispensable for growth under both normal and oxidative stress conditions in the yeast *Saccharomyces cerevisiae* due to an accumulation of the dipeptide gamma-glutamylcysteine. *Mol Biol Cell* 8: 1699-1707.

Grant CM, Perrone G & Dawes IW (1998) Glutathione and catalase provide overlapping defenses for protection against hydrogen peroxide in the yeast *Saccharomyces cerevisiae*. *Biochem Biophys Res Commun* 253: 893-898.

Halliwell B & Gutteridge JMC (2007) *Free radicals in biology and medicine*. Oxford University Press, Oxford.

Hauser M, Donhardt AM, Barnes D, Naider F & Becker JM (2000) Enkephalins are transported by a novel eukaryotic peptide uptake system. *J Biol Chem* 275: 3037-3041.

Heeren G, Jarolim S, Laun P, et al. (2004) The role of respiration, reactive oxygen species and oxidative stress in mother cell-specific ageing of yeast strains defective in the RAS signalling pathway. *FEMS Yeast Res* 5: 157-167.

Higgins DG, Thompson JD & Gibson TJ (1996) Using CLUSTAL for multiple sequence alignments. *Methods Enzymol* 266: 383-402.

Hwang CS, Rhie GE, Oh JH, Huh WK, Yim HS & Kang SO (2002) Copper- and zinc-containing superoxide dismutase (Cu/ZnSOD) is required for the protection of *Candida albicans* against oxidative stresses and the expression of its full virulence. *Microbiology* 148: 3705-3713.

Izawa S, Inoue Y & Kimura A (1996) Importance of catalase in the adaptive response to hydrogen peroxide: analysis of acatalasaemic *Saccharomyces cerevisiae*. *Biochem J* 320 (Pt 1): 61-67.

Jaspers C, Penninckx M & Wiame JM (1980) Glutathione metabolism and the transport of amino acids in *Saccharomyces cerevisiae*. The gamma-glutamyltranspeptidase [proceedings]. *Arch Int Physiol Biochim* 88: B34.

Kaur R, Ma B & Cormack BP (2007) A family of glycosylphosphatidylinositol-linked aspartyl proteases is required for virulence of *Candida glabrata*. *Proc Natl Acad Sci U S A* 104: 7628-7633.

Kumar C, Sharma R & Bachhawat AK (2003) Utilization of glutathione as an exogenous sulfur source is independent of gamma-glutamyl transpeptidase in the yeast *Saccharomyces cerevisiae*: evidence for an alternative glutathione degradation pathway. *FEMS Microbiol Lett* 219: 187-194.

Kumar C, Igbaria A, D'Autreux B, et al. (2011) Glutathione revisited: a vital function in iron metabolism and ancillary role in thiol-redox control. *EMBO J* 30: 2044-2056.

Kuwayama H, Obara S, Morio T, Katoh M, Urushihara H & Tanaka Y (2002) PCR-mediated generation of a gene disruption construct without the use of DNA ligase and plasmid vectors. *Nucleic Acids Res* 30: E2.

Lee J, Godon C, Lagniel G, Spector D, Garin J, Labarre J & Toledano MB (1999) Yap1 and Skn7 control two specialized oxidative stress response regulons in yeast. *J Biol Chem* 274: 16040-16046.

Li L, Redding S & Dongari-Bagtzoglou A (2007) *Candida glabrata*: an emerging oral opportunistic pathogen. *J Dent Res* 86: 204-215.

Li ZS, Lu YP, Zhen RG, Szczypka M, Thiele DJ & Rea PA (1997) A new pathway for vacuolar cadmium sequestration in *Saccharomyces cerevisiae*: YCF1-catalyzed transport of bis(glutathionato)cadmium. *Proc Natl Acad Sci U S A* 94: 42-47.

Lopez-Mirabal HR & Winther JR (2008) Redox characteristics of the eukaryotic cytosol. *Biochim Biophys Acta* 1783: 629-640.

Luikenhuis S, Perrone G, Dawes IW & Grant CM (1998) The yeast *Saccharomyces cerevisiae* contains two glutaredoxin genes that are required for protection against reactive oxygen species. *Mol Biol Cell* 9: 1081-1091.

- Mansour MK & Levitz SM (2002) Interactions of fungi with phagocytes. *Curr Opin Microbiol* 5: 359-365.
- Meister A & Anderson ME (1983) Glutathione. *Annu Rev Biochem* 52: 711-760.
- Muller EG (1991) Thioredoxin deficiency in yeast prolongs S phase and shortens the G1 interval of the cell cycle. *J Biol Chem* 266: 9194-9202.
- Murakami CJ, Burtner CR, Kennedy BK & Kaeberlein M (2008) A method for high-throughput quantitative analysis of yeast chronological life span. *J Gerontol A Biol Sci Med Sci* 63: 113-121.
- Muth N, Kawabata M & Kitajima S (2005) Effects of four oxidants, menadione, 1-chloro-2,4-dinitrobenzene, hydrogen peroxide and cumene hydroperoxide, on fission yeast *Schizosaccharomyces pombe*. *J Biochem* 138: 797-804.
- Ortiz DF, Kreppel L, Speiser DM, Scheel G, McDonald G & Ow DW (1992) Heavy metal tolerance in the fission yeast requires an ATP-binding cassette-type vacuolar membrane transporter. *EMBO J* 11: 3491-3499.
- Paris S, Wysong D, Debeaupuis JP, Shibuya K, Philippe B, Diamond RD & Latge JP (2003) Catalases of *Aspergillus fumigatus*. *Infect Immun* 71: 3551-3562.
- Penninckx MJ (2002) An overview on glutathione in *Saccharomyces* versus non-conventional yeasts. *FEMS Yeast Res* 2: 295-305.
- Penninckx MJ & Elskens MT (1993) Metabolism and functions of glutathione in micro-organisms. *Adv Microb Physiol* 34: 239-301.
- Pfaller MA & Diekema DJ (2010) Epidemiology of invasive mycoses in North America. *Crit Rev Microbiol* 36: 1-53.
- Presterl E, Daxböck F, Graninger W & Willinger B (2007) Changing pattern of candidaemia 2001-2006 and use of antifungal therapy at the University Hospital of Vienna, Austria. *Clin Microbiol Infect* 13: 1072-1076.
- Rauser WE (1990) Phytochelatins. *Annu Rev Biochem* 59: 61-86.
- Rauser WE (1995) Phytochelatins and related peptides. Structure, biosynthesis, and function. *Plant Physiol* 109: 1141-1149.
- Roetzer A, Gratz N, Kovarik P & Schuller C (2010) Autophagy supports *Candida glabrata* survival during phagocytosis. *Cell Microbiol* 12: 199-216.
- Roetzer A, Gregori C, Jennings AM, et al. (2008) *Candida glabrata* environmental stress response involves *Saccharomyces cerevisiae* Msn2/4 orthologous transcription factors. *Mol Microbiol* 69: 603-620.
- Roetzer A, Klopf E, Gratz N, et al. (2011) Regulation of *Candida glabrata* oxidative stress resistance is adapted to host environment. *FEBS Lett* 585: 319-327.
- Saijo T, Miyazaki T, Izumikawa K, et al. (2010) Skn7p is involved in oxidative stress response and virulence of *Candida glabrata*. *Mycopathologia* 169: 81-90.
- Seider K, Brunke S, Schild L, et al. (2011) The facultative intracellular pathogen *Candida glabrata* subverts macrophage cytokine production and phagolysosome maturation. *J Immunol* 187: 3072-3086.
- Sherman F, Fink GR & Hicks JB (1986) *Laboratory course manual for methods in yeast genetics*. Cold Spring Harbor Laboratory.
- Sipos K, Lange H, Fekete Z, Ullmann P, Lill R & Kisfalvi G (2002) Maturation of cytosolic iron-sulfur proteins requires glutathione. *J Biol Chem* 277: 26944-26949.
- Spector D, Labarre J & Toledano MB (2001) A genetic investigation of the essential role of glutathione: mutations in the proline biosynthesis pathway are the only suppressors of glutathione auxotrophy in yeast. *J Biol Chem* 276: 7011-7016.

Stephen DW & Jamieson DJ (1996) Glutathione is an important antioxidant molecule in the yeast *Saccharomyces cerevisiae*. *FEMS Microbiol Lett* 141: 207-212.

Temple MD, Perrone GG & Dawes IW (2005) Complex cellular responses to reactive oxygen species. *Trends Cell Biol* 15: 319-326.

Thompson LJ, Merrell DS, Neilan BA, Mitchell H, Lee A & Falkow S (2003) Gene expression profiling of *Helicobacter pylori* reveals a growth-phase-dependent switch in virulence gene expression. *Infect Immun* 71: 2643-2655.

Thorpe GW, Fong CS, Alic N, Higgins VJ & Dawes IW (2004) Cells have distinct mechanisms to maintain protection against different reactive oxygen species: oxidative-stress-response genes. *Proc Natl Acad Sci U S A* 101: 6564-6569.

Toledano MB, Kumar C, Le Moan N, Spector D & Tacnet F (2007) The system biology of thiol redox system in *Escherichia coli* and yeast: differential functions in oxidative stress, iron metabolism and DNA synthesis. *FEBS Lett* 581: 3598-3607.

Tomchenchok DM & Brandriss MC (1987) Gene-enzyme relationships in the proline biosynthetic pathway of *Saccharomyces cerevisiae*. *J Bacteriol* 169: 5364-5372.

Veeravalli K, Boyd D, Iverson BL, Beckwith J & Georgiou G (2011) Laboratory evolution of glutathione biosynthesis reveals natural compensatory pathways. *Nat Chem Biol* 7: 101-105.

Wysong DR, Christin L, Sugar AM, Robbins PW & Diamond RD (1998) Cloning and sequencing of a *Candida albicans* catalase gene and effects of disruption of this gene. *Infect Immun* 66: 1953-1961.

Yadav AK, Desai PR, Rai MN, Kaur R, Ganesan K & Bachhawat AK (2011) Glutathione biosynthesis in the yeast pathogens *Candida glabrata* and *Candida albicans*: essential in *C. glabrata*, and essential for virulence in *C. albicans*. *Microbiology* 157: 484-495.

RESULTADOS ADICIONALES

1. Esencialidad del gen *GSH1*

Para demostrar que *GSH1* es esencial en *C. glabrata*, evaluamos la pérdida del plásmido portador del gen *GSH1* (pGE59) utilizando medios de selección (CAA) y contraselección para el plásmido (5-FOA) con diferentes concentraciones de GSH. Como se muestra en la figura el 100% de las células de la mutante *gsh1Δ* retiene el plásmido que porta el gen *GSH1* aún en presencia de GSH exógeno. La cepa silvestre pierde en menor porcentaje el plásmido portador del gen *GSH1* que el vector vacío.

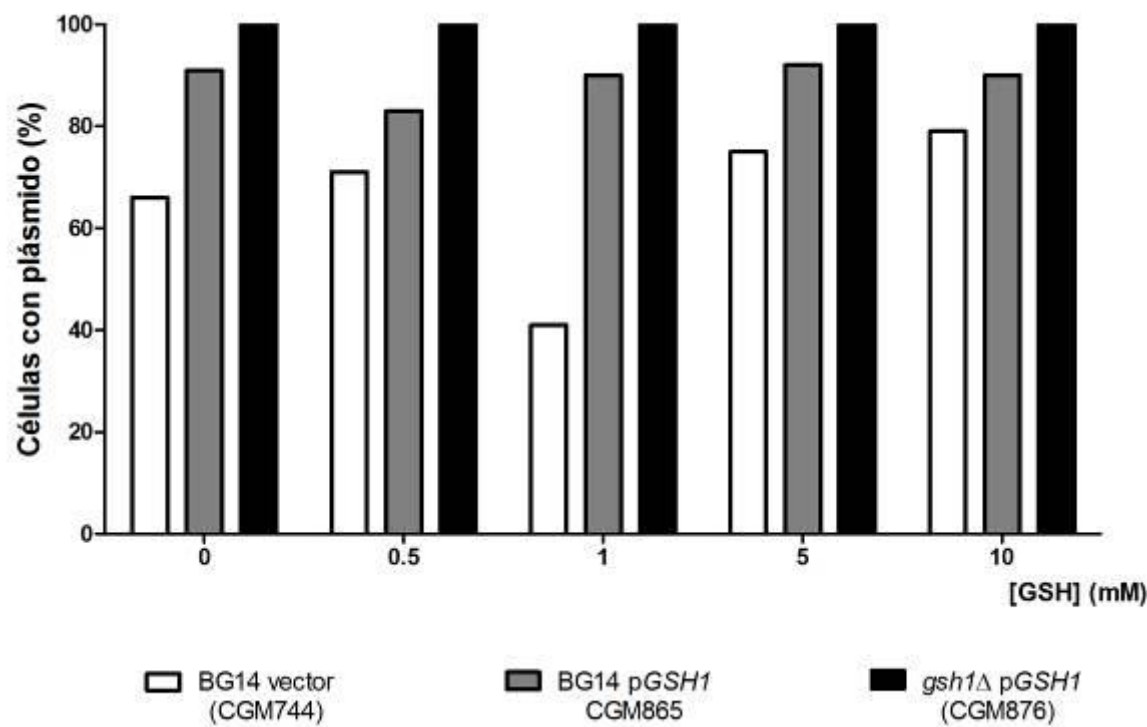


Figura 6. El gen *GSH1* es un gen esencial. Las cepas BG14 pGRB2.0 (CGM744), BG14 pGSH1 (CGM865) y *gsh1Δ* pGSH1 (CGM876) se crecieron a 30 °C por 24 h en YPD, se diluyeron en medio fresco y se crecieron por 48 h. Las células se lavaron, se hicieron diluciones seriadas y se sembraron en placas de YPD y en placas de 5-FOA para determinar la pérdida del plásmido URA3. Las células Ura⁺ mueren en las placas de 5-FOA. Las células que pierden el plásmido crecen en 5-FOA. Ver materiales y métodos.

Observamos que no era posible interrumpir el gen *GSH1* en presencia de GSH exógeno, esto indicaba que en las condiciones que utilizamos no se efectuaba el transporte de GSH. Sobreexpresamos el gen *ScOPT1* en *C. glabrata* y logramos interrumpir el gen *GSH1*. Enseguida evaluamos la pérdida del plásmido que porta al gen *ScOPT1* en los medios YPD, CAA y YNB sin y con GSH 0.5 mM en la cepa silvestre y en la cepa *gsh1Δ*. La mutante *gsh1Δ* no pierde el plásmido y que la cepa silvestre trata de conservarlo (Figura 7).

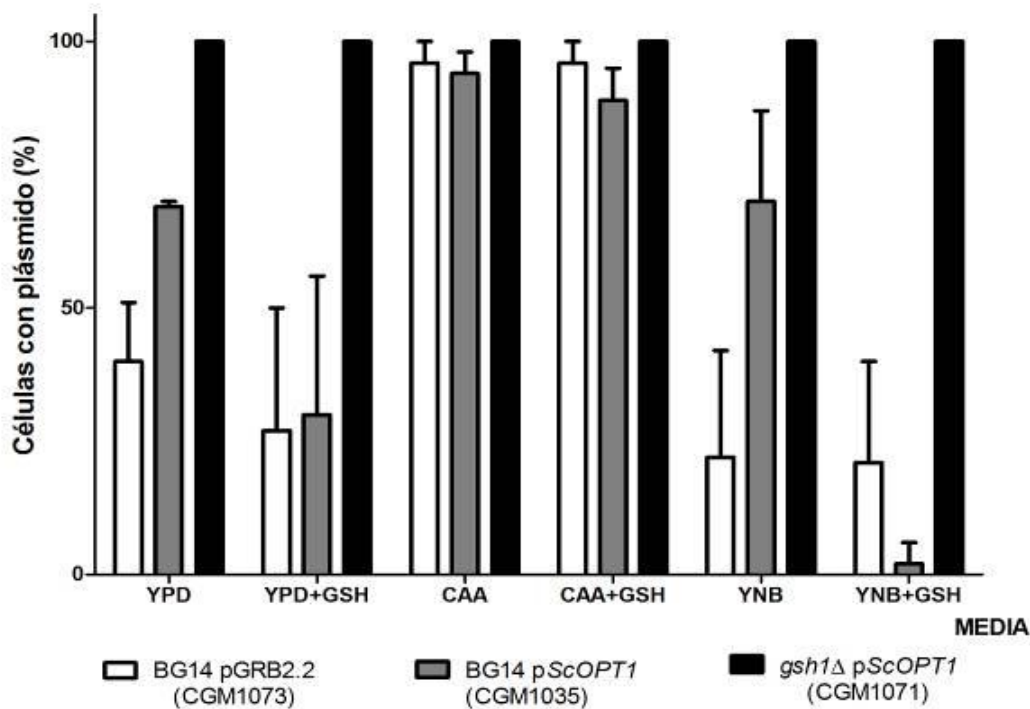


Figura 7. La presencia de *ScOPT1* permite interrumpir el gen *GSH1* en *C. glabrata*. Las cepas BG14 pBRG2.2 (CMG1073), BG14 p*ScOPT1* (CGM1035) y *gsh1Δ* p*ScOPT1* (CGM1071) se crecieron durante una noche a 30 °C en YPD, CAA ó YNB sin ó con GSH 0.5 mM y se inocularon tres veces en el medio fresco correspondiente. Las células se lavaron, se hicieron diluciones seriadas y se sembraron en placas de YPD y en placas de 5-FOA para determinar la pérdida del plásmido *URA3*. Las células Ura⁺ mueren en las placas de 5-FOA. Las células que pierden el plásmido crecen en 5-FOA. Ver materiales y métodos.

2. Análisis fenotípico de las mutantes deficientes en la síntesis de GSH

2.1. Crecimiento en medio YPD.

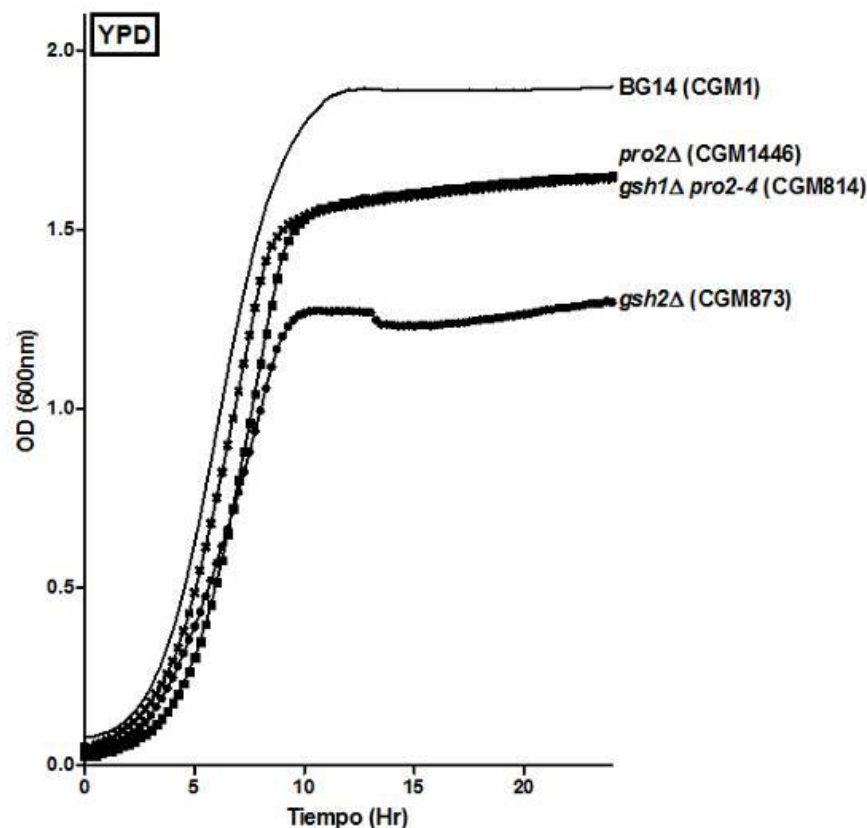


Figura 8. Análisis del crecimiento en medio YPD líquido. Las cepas BG14 (CMG1), *pro2Δ* (CGM1446), *gsh1Δ pro2-4* (CGM814) y *gsh2Δ* (CGM873) se crecieron durante 48 h a 30 °C en YPD y se inocularon en medio fresco a una densidad celular de 5×10^5 células/mL. Se tomaron 300 μ L de las suspensiones celulares y se colocaron por duplicado en una placa para monitorear su crecimiento en Bioscreen a 30 °C en agitación constante. Ver materiales y métodos.

2.2. Crecimiento en YNB. Evaluación de los requerimientos de GSH y L-Pro.

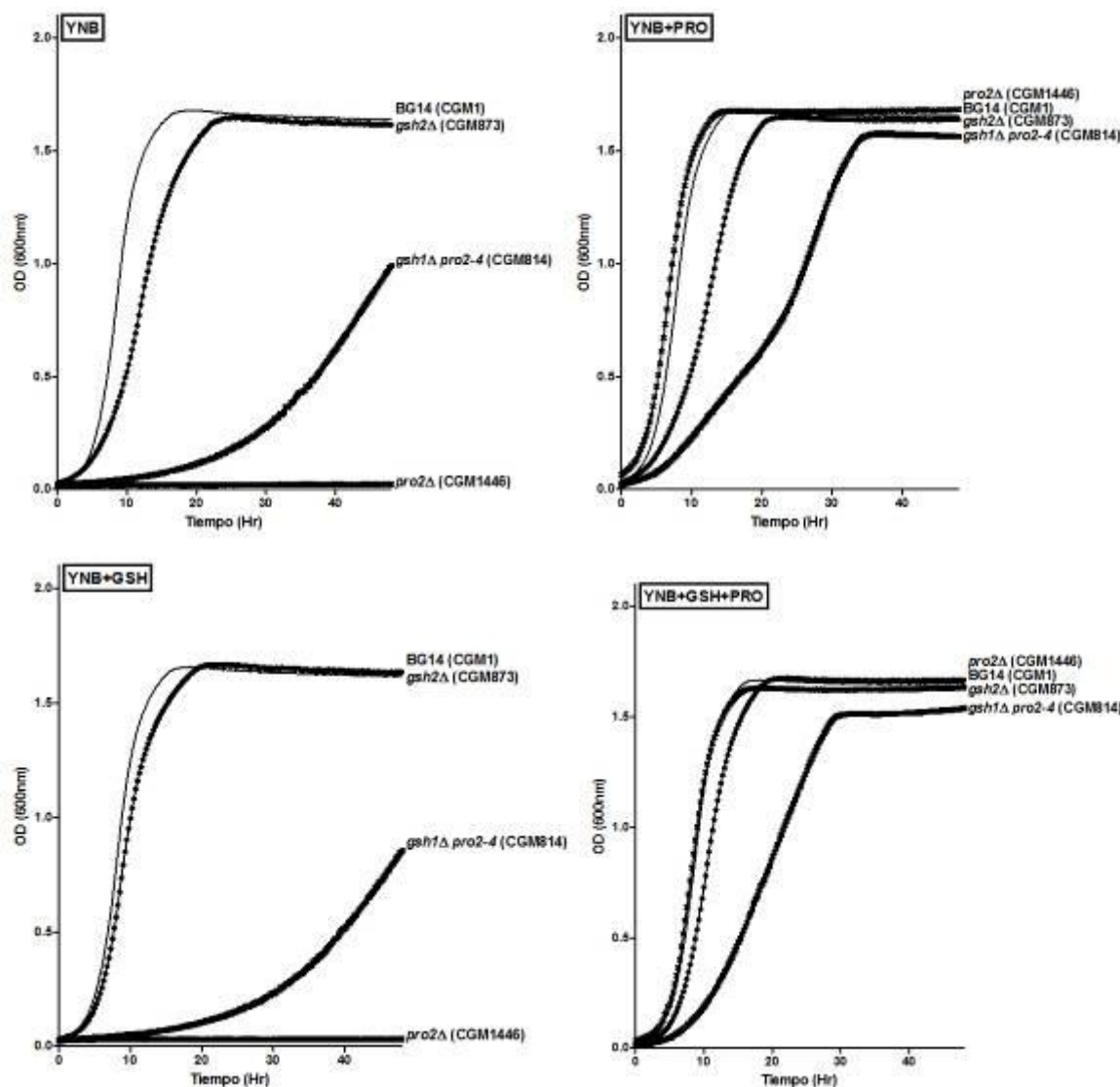


Figura 9. Análisis del crecimiento en medio YNB líquido. Las cepas BG14 (CGM1), pro2Δ (CGM1446), gsh1Δ pro2-4 (CGM814) y gsh2Δ (CGM873) y se crecieron durante 48 h a 30 °C en YNB, YNB+PRO, YNB+GSH Y YNB+GSH+PRO y se inocularon en medio fresco a una densidad celular de 5×10^5 células/mL. Se tomaron 300 μ L de las suspensiones celulares y se colocaron por duplicado en una placa para monitorear su crecimiento en Bioscreen a 30 °C en agitación constante. Ver materiales y métodos.

La figura 9 muestra que la mutante *gsh1Δ pro2-4* requiere prolina y GSH para su crecimiento, mientras que la mutante *gsh2Δ* sólo requiere GSH. El panel A muestra que la mutante *gsh1Δ pro2-4* presenta un lag muy largo con respecto a la cepa silvestre o a la mutante *gsh2Δ*, como control se incluye a la mutante *pro2Δ*, la cual es auxótrofa de prolina. En el panel B se muestra como la adición de GSH mejora considerablemente el crecimiento de la mutante *gsh2Δ*, sin afectar el crecimiento en la mutante *gsh1Δ pro2-4*. En el panel C podemos ver como la adición de prolina restaura el crecimiento de la mutante *pro2Δ* a los mismo niveles que la cepa silvestre BG14 y mejora notablemente el crecimiento de la mutante *gsh1Δ pro2-4*. En el panel D se muestra como la adición simultánea de GSH y prolina mejora en mayor medida el crecimiento de la mutante *gsh1Δ pro2-4* que sólo la adición de uno de los dos compuestos.

2.3. Crecimiento en diferentes fuentes de carbono.

Para determinar la utilización de carbono de las mutantes *gsh1Δ pro2-4* y *gsh2Δ*, evaluamos su crecimiento en diferentes fuentes de carbono: glucosa (YPD), glicerol (YPG) y etanol (YPE). En la figura 20 vemos que todas las cepas pueden utilizar estas fuentes de carbono de manera similar. Como controles evaluamos el crecimiento de cepas que contienen episomáticamente el transportador de GSH de *S. cerevisiae*.

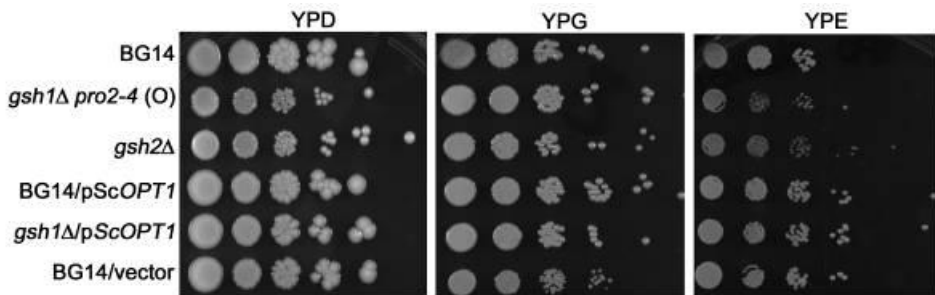


Figura 10. Análisis del crecimiento en diferentes fuentes de carbono. Cultivos de la cepa BG14 (CGM1) y de las mutantes en la síntesis de GSH, *gsh1Δ pro2-4* (CGM814) y *gsh2Δ* (CGM873), y como controles las cepas BG14 pScOPT1 (CGM1035), *gsh1Δ pScOPT1* (CGM1071) y BG14 vector (CGM1073) se crecieron en medio YPD durante 48 h a 30 °C. Las células se lavaron y se diluyeron a una densidad celular de 1×10^7 células/mL. Se hicieron diluciones logarítmicas y 5 µL de cada dilución se colocaron en placas de YPD, YPG y YPE. Las placas se incubaron a 30 °C durante 48 h.

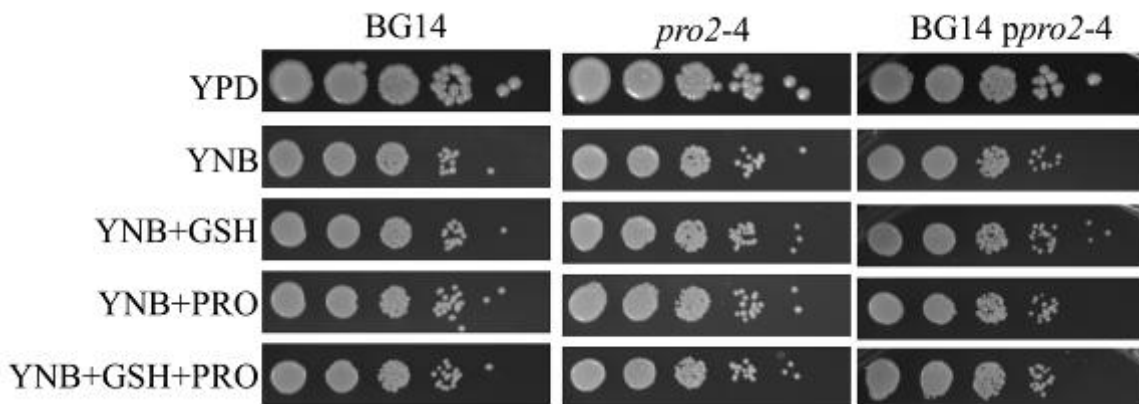
2.4. Funcionalidad del alelo *pro2-4*.


Figura 11. Análisis de la funcionalidad del alelo *pro2-4* para la biosíntesis de prolina.

Las cepas BG14 (CGM1), *pro2-4* (CGM1592) y BG14 *ppro2-4* (CGM1601) se crecieron durante 48 h a 30°C en YNB, se lavaron y se ajustaron a una densidad celular de 1×10^7 células/mL. Se tomaron 5 µL de las suspensiones celulares y se colocaron en una placas de YPD, YNB, YNB+GSH, YNB+PRO y YNB+GSH+PRO y se incubaron a 30 °C durante 48 h. Ver materiales y métodos.

La figura 11 nos muestra que el requerimiento de prolina en la mutante *gsh1Δ pro2-4* no se debe a la mutación *pro2-4*, ya que el alelo con esta mutación es funcional para la biosíntesis de L-prolina. La mutación supresora *pro2-4* se introdujo en la cepa silvestre BG14 utilizando el plásmido integrativo pGE84 digerido con Age I. Por otro lado, la mutación supresora *pro2-4* se clonó en un plásmido replicativo (pGE92) para evaluar la dominancia o recesividad de este alelo. Como se observa en la figura 9, ninguna de estas mutantes es auxótrofa de prolina lo cual indica que la mutación supresora en el gen PRO2 no es responsable de la auxotrofía a prolina que observamos en la mutante *gsh1Δ pro2-4* (CGM814).

El gen *GSH1* se regresó a su lugar cromosómico original en la mutante *gsh1Δ pro2-4* (CGM814) utilizando el plásmido integrativo pGE77 digerido con *Pst*I. Además, en la mutante *gsh1Δ pro2-4* (CGM814) se evaluó si el alelo silvestre *PRO2* eliminaba su auxotrofía a prolina utilizando el plásmido replicativo pGE90. Como se observa en la figura 12, sólo la presencia del alelo silvestre elimina la auxotrofía a prolina en la mutante *gsh1Δ pro2-4* (CGM814).

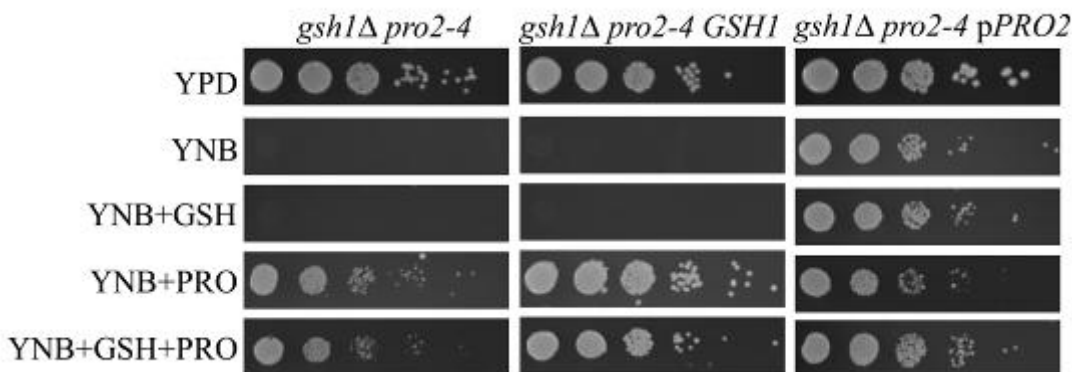


Figura 12. El requerimiento de prolina en la mutante *gsh1Δ pro2-4* se mantiene aún cuando se reconstituye el gen *GSH1* en su locus nativo y se elimina cuando se complementa con una copia del gen *PRO2* silvestre. Las cepas *gsh1Δ pro2-4* (CGM814), *pro2-4 GSH1* (CGM1290) y *gsh1Δ pro2-4 pPRO2* (CGM1603) se crecieron durante 48 h a 30 °C en YNB, se lavaron y se ajustaron a una densidad celular de 1×10^7 células/mL. Se tomaron 5 µL de las suspensiones celulares y se colocaron en una placas de YPD, YNB, YNB+GSH, YNB+PRO y YNB+GSH+PRO y se incubaron a 30 °C durante 48 h. Ver materiales y métodos.

En la mutante *pro2Δ* se introdujeron los plásmidos replicativos pGE90 y pGE92 para evaluar si estos alelos eliminaban la auxotrofía por prolina. Como lo muestra la figura 13, ambos alelos son funcionales para la biosíntesis de prolina.

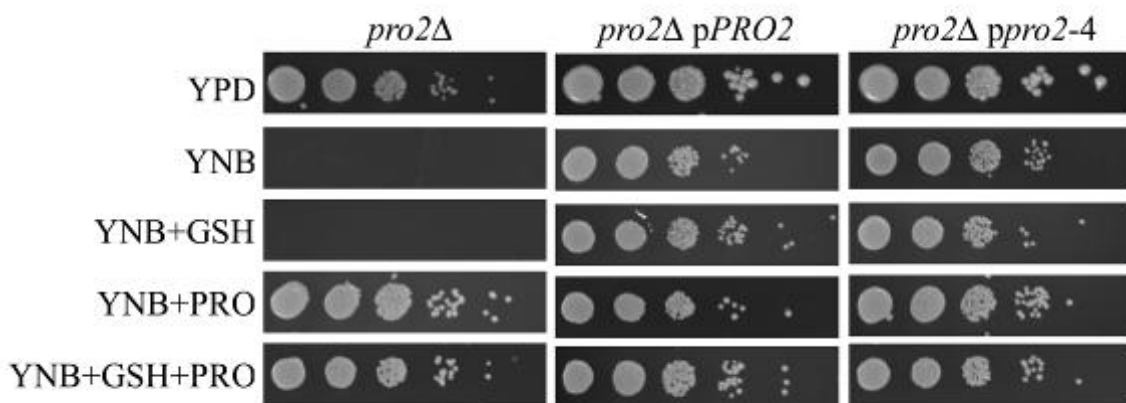


Figura 13. En la mutante *pro2Δ* se elimina la auxotrofía a prolina expresando de manera episomal el alelo silvestre *PRO2* o el alelo *pro2-4*. Las cepas *pro2Δ* (CGM1446), *pro2Δ pPRO2* (CGM1613), y *pro2Δ ppro2-4* (CGM1615) se crecieron durante 48 h a 30 °C en YNB, se lavaron y se ajustaron a una densidad celular de 1×10^7 células/mL. Se tomaron 5 µL de las suspensiones celulares y se colocaron en una placas de YPD, YNB, YNB+GSH, YNB+PRO y YNB+GSH+PRO y se incubaron a 30 °C durante 48 h. Ver materiales y métodos.

2.5. Competencia entre el transporte de GSH y L-Pro.

Reconstruimos la mutante *gsh1Δ pro2-4* y evaluamos sus requerimientos por prolina y GSH. En la mutante *pro2Δ* se introdujeron los plásmidos replicativos pGE90 y pGE92 para evaluar si estos alelos eliminaban la auxotrofía por prolina. Como se observa en la figura 14, ambos alelos son funcionales para la biosíntesis de prolina.

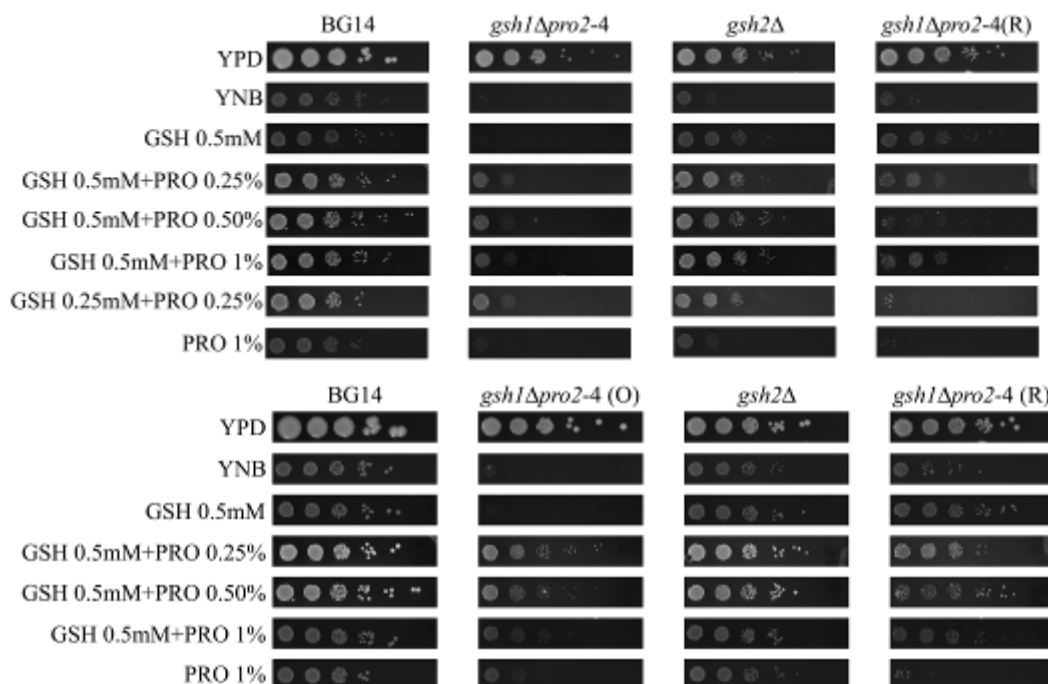


Figura 14. La presencia de prolina afecta la toma de GSH. Las cepas BG14 (CGM1) *pro2Δ* (CGM1446), *pro2Δ pPRO2* (CGM1613), y *pro2Δ ppro2-4* (CGM1615) se crecieron durante 48 h a 30 °C en YNB, se lavaron y se ajustaron a una densidad celular de 1×10^7 células/mL. Se tomaron 5 µL de las suspensiones celulares y se colocaron en una placas de YPD, YNB, YNB+GSH, YNB+PRO y YNB+GSH+PRO y se incubaron a 30°C durante 48h. Ver materiales y métodos.

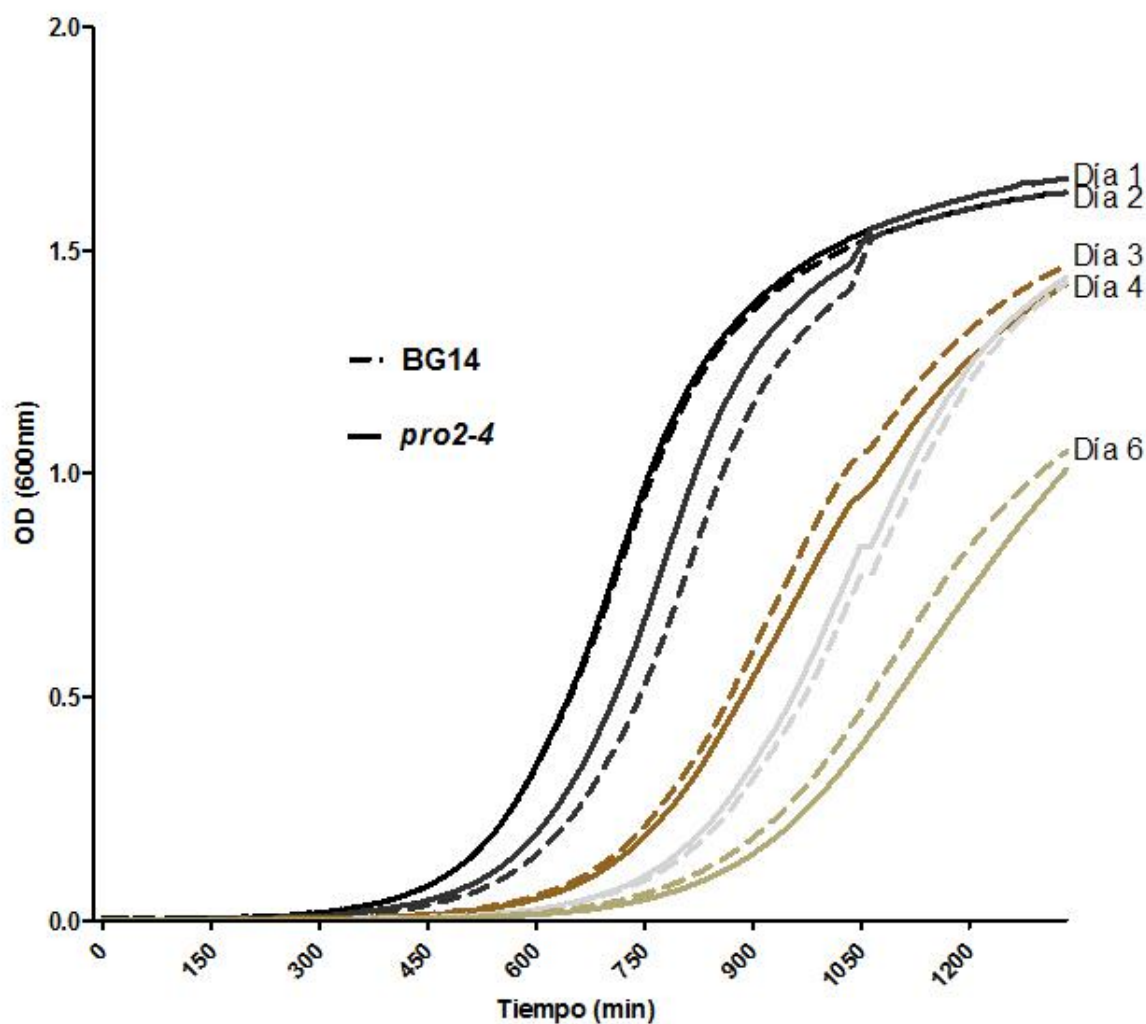
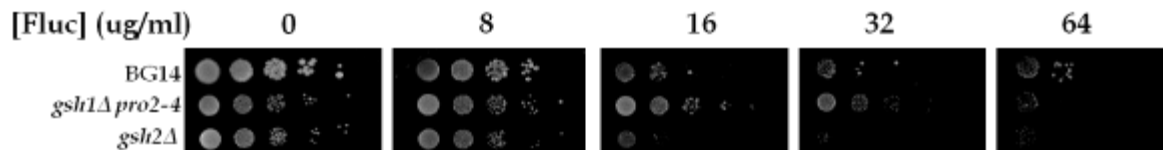


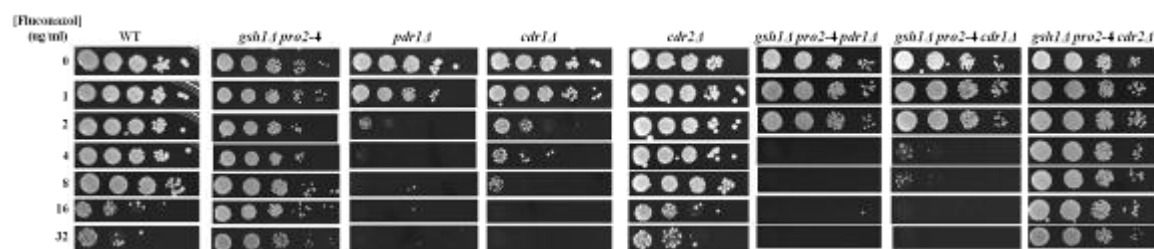
Figura 15. Análisis del crecimiento de la mutante pro2-4 durante varios días de crecimiento. Cultivos de la cepa BG14 (CGM1) y de la mutante pro2-4 (CGM1592) se crecieron en YNB durante 48 H a 30°C. Las células se lavaron y se diluyeron a una densidad celular a 2×10^6 células/mL. El crecimiento se evaluó en YNB en un BIOSCREEN durante 24 h a 30 °C en agitación constante. Las curvas de cada día corresponden al crecimiento de un medio reinoculado con el cultivo antecesor.

3. GSH y resistencia a fluconazol

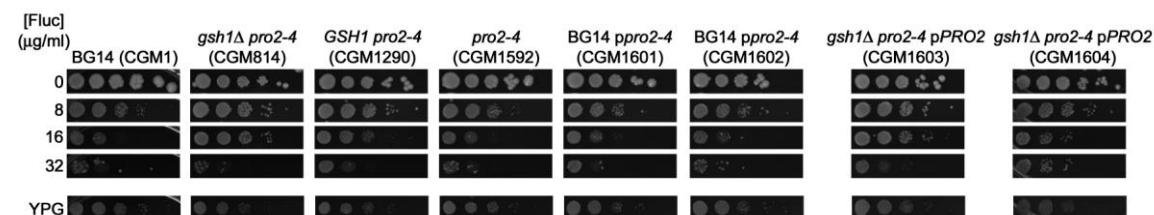
A



B



C



D

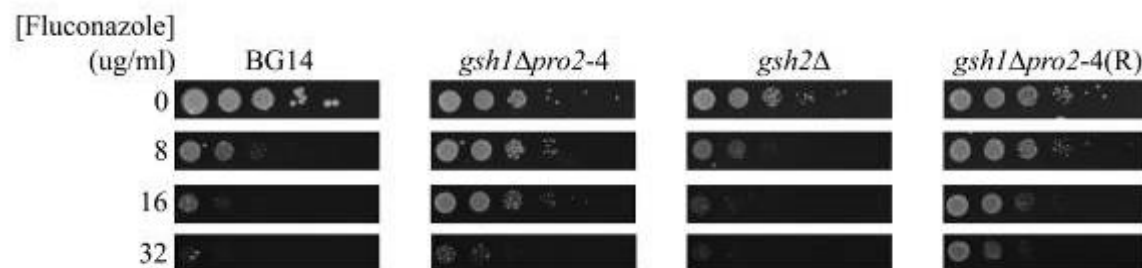


Figura 16. La mutante *GSH1 pro2-4* es más resistente a fluconazol que la cepa silvestre y la resistencia es independiente de los genes *PDRs*. Cultivos de la cepa BG14 (CGM1) y de las mutantes *gsh1Δ pro2-4* (CGM814), *gsh2Δ* (CGM873), *pdr1Δ* (CGM104), *cdr1Δ* (CGM1096), *cdr2Δ* (CGM1098), *gsh1Δ pro2-4 pdr1Δ* (CGM1216), *gsh1Δ pro2-4 cdr1Δ* (CGM1240), *gsh1Δ pro2-4 cdr2Δ* (CGM1217), *GSH1 pro2-4* (CGM1290), *pro2-4* (CGM1592), BG14 *ppro2-4* (CGM1601 y CGM1602), *gsh1Δ pro2-4 pPRO2* (CGM1603 y CGM1604) y *gsh1Δ pro2-4R* (CGM1627) se crecieron en medio YPD durante 48 h a 30 °C. Las células se lavaron y se diluyeron a una densidad celular de 1×10^7 células/mL. Se hicieron diluciones logarítmicas y 5 µL de cada dilución se colocaron en placas de YPD sin o con diferentes concentraciones de fluconazol. Las placas se incubaron a 30 °C durante 48 h.

Debido a la participación del GSH en procesos de desintoxicación de drogas, evaluamos la resistencia de las mutantes *gsh1Δ pro2-4* y *gsh2Δ* a fluconazol. En el panel A podemos ver que la mutante *gsh1Δ pro2-4* soporta mejor la exposición a este agente azólico. Evaluamos si existía alguna relación entre la ausencia del gen *GSH1* y la desintoxicación de fluconazol por medio del sistema Pdr. En el fondo mutante *gsh1Δ pro2-4* hicimos las mutantes *pdr1Δ*, *cdr1Δ* y *cdr2Δ*. El panel B muestra que las mutantes dobles generadas son más resistentes a fluconazol que las mutantes sencillas correspondientes. En el panel C evaluamos la resistencia a fluconazol en una mutante en la que regresamos el gen *GSH1* a su lugar cromosómico nativo, en una cepa en la que se reemplazó el alelo *PRO2* por el alelo *pro2-4* y en mutantes donde se expresó episomamente, bajo el control de un promotor fuerte constitutivo, el alelo *pro2-4* y el alelo *PRO2* en los fondos BG14 y de la mutante *gsh1Δ pro2-4*, respectivamente. Se observa que la mutante *GSH1 pro2-4* es similarmente resistente que su cepa parental, *gsh1Δ pro2-4*. La presencia del alelo *pro2-4*, así como la sobreexpresión de los alelos del gen *PRO2* no tienen efecto en la resistencia a fluconazol que presentan sus cepas parentales. En el panel D podemos observar que la mutante reconstruida *gsh1Δ pro2-4* presenta el mismo fenotipo de resistencia a fluconazol que la mutante supresora original. Estos datos indican, que la resistencia que observamos en la mutante *gsh1Δ pro2-4* se debe a la combinación de la ausencia del gen *GSH1* y a la presencia del alelo *pro2-4*.

DISCUSIÓN

Candida glabrata está repuntando como uno de los aislados más frecuentes en infecciones micóticas de pacientes inmunocomprometidos. El incremento en su prevalencia se atribuye a su resistencia innata a los azoles, los cuales son la primera línea de tratamiento. Dado el incremento en la prevalencia de esta levadura es fundamental su estudio a nivel molecular para poder detectar nuevos blancos para la generación de drogas. Asimismo, es de suma importancia elucidar los factores que afectan la colonización y sobrevivencia dentro de su hospedero.

El GSH (glutatión) es un compuesto importante para la virulencia en varios microorganismos (Alkhuder, *et al.*, 2009, Yadav, *et al.*, 2011) y varias de las enzimas que requieren al GSH como cofactor también se han reportado como factores de virulencia indispensables para una infección exitosa (Bjur, *et al.*, 2006, Chaves, *et al.*, 2007, Abad, *et al.*, 2010, Huang, *et al.*, 2011). En este trabajo estudiamos la participación del GSH en la respuesta a estrés oxidante de *C. glabrata* y nos enfocamos en entender los mecanismos de transporte del GSH a la célula y su relación con el metabolismo de la prolina.

En este trabajo demostramos que el GSH es un factor importante para soportar el estrés oxidante en *C. glabrata* y que influye en su viabilidad en fase estacionaria. Aún cuando nuestros datos sugieren que el GSH puede influir en la patogénesis de *C. glabrata* se requieren experimentos para evaluar el papel que juega *in vivo*. Es necesario llevar a cabo ensayos de enfrentamiento de las mutantes deficientes en la síntesis de GSH de *C. glabrata* ante células fagocíticas. Lo que esperamos es que estas mutantes de *C. glabrata* sean más sensibles que la cepa de referencia al ataque por macrófagos o neutrófilos este tipo de células para eliminar microorganismos. Adicionalmente, se deben hacer experimentos de colonización en ratón donde predecimos que las mutantes *gsh1Δ pro2-4* y *gsh2Δ* presentarán una menor colonización.

1. La supresión de *pro2-4* en ausencia de GSH.

Existen dos reportes que implican a la ruta biosintética de prolina en la supresión de la ausencia de GSH. En *S. cerevisiae* la auxotrofía por GSH se suprime únicamente con mutaciones específicas en el gen *PRO2*, más aún, se requiere γ -glutamil fosfato como un sustrato obligado de los alelos supresores. Cabe mencionar que ninguna de las mutantes supresoras presentó auxotrofía por prolina (Spector, et al., 2001). Recientemente, en *E. coli* se demostró que es posible compensar la ausencia de GSH modificando la ruta biosintética de la prolina: perdiendo la función de la enzima ProA y modificando las propiedades cinéticas de la enzima ProB. Las mutantes supresoras requieren de prolina para llevar a cabo la supresión (Spector, et al., 2001, Veeravalli, et al., 2011). Estos datos indican que la única forma de compensar la biosíntesis de GSH es mediante la modificación de la ruta biosintética de la prolina.

En este estudio, nosotros encontramos una mutación supresora en el gen *PRO2*, que nos permitió obtener la mutante *gsh1Δ*. Proponemos que el mecanismo mediante el cual el alelo *pro2-4* suprime la mutación en el gen *GSH1* es, como se ha reportado para *S. cerevisiae* y *E. coli*, la ganancia de función de Pro2 hacia la biosíntesis de pequeñas cantidades de GSH.

2. Resistencia a fluconazol.

El fenotipo más inesperado e interesante en la mutante *gsh1Δ pro2-4* es su resistencia a fluconazol (Figura 16, panel A), la cual parece no estar mediada por los genes PDRs (Figura 16 panel B). Esta resistencia puede deberse a la ausencia GSH, a la mutación *pro2-4* o a la combinación de ambos cambios genéticos. Cuando reconstituimos el gen *GSH1* en la mutante *gsh1Δ pro2-4* observamos la misma resistencia. En cambio la mutante *gsh2Δ* no presenta el fenotipo de resistencia. Esto indica que la resistencia no se relaciona únicamente con la ausencia del gen *GSH1*. Al introducir la mutación supresora en el fondo silvestre, *pro2-4*, no se presenta el fenotipo de resistencia a fluconazol que presenta la mutante *gsh1Δ pro2-4* (Figura 16 panel C), más aún la sobreexpresión de los alelos *pro2-4* o del alelo *PRO2* en los fondos BG14 o *gsh1Δ pro2-4*, respectivamente,

mantiene el fenotipo de resistencia a fluconazol que las cepas parentales. La mutante *gsh1Δ pro2-4* reconstruida, efectivamente presenta el fenotipo de resistencia que la cepa supresora original, lo cual indica que la resistencia a fluconazol se debe a la combinación de ausencia del gen *GSH1* y la presencia del alelo *pro2-4*.

¿A qué se debe la resistencia a fluconazol que presenta la mutante *gsh1 pro2-4*? Creemos que la ausencia de GSH puede afectar a algún regulador del sistema Pdr o de otro sistema de transporte en *C. glabrata*. Un posible candidato es el represor del sistema PDR, Hst1. Hst1 es una desacetilasa de histonas que contiene un motivo CPYC, el cual es característico de las enzimas glutaredoxinas tipo ditiol, el cual se requiere para mantener su estado reducido mediante la presencia de GSH o del sistema Trx. La mutante nula *hst1Δ* es altamente resistente a fluconazol y la resistencia depende del sistema Pdr (datos del laboratorio). Si la hipótesis es cierta, la ausencia de GSH evitaría que la enzima se recicle en su estado reducido ocasionando la pérdida de su actividad como represor del sistema Pdr o de otro sistema de transporte de xenobióticos, por ejemplo el sistema MRP (**M**uLidrug **R**esistance **P**rotein). El sistema MRP comprende un alto número de proteínas con función de transportadores y algunos de ellos han sido caracterizados. En humanos, MRP1 media el exporte de conjugados de GSH. Los ortólogos de MRP1 en *S. cerevisiae* son las proteínas Yor1 localizada en membrana plasmática y Ycf1 localizada en membrana vacuolar. *C. glabrata* contiene los genes que codifican para las proteínas ortólogas de Yor1, CAGL0G00242g, y Ycf1, CAGL0L06402g, con un 70% y 74% de identidad a nivel de proteína, respectivamente.

Algo menos probable es que la resistencia se deba a una desregulación en el transporte hacia el interior de la célula del fluconazol, ya que en la mutante observamos alteraciones en el transporte tanto de GSH como de prolina (Figuras 9 y 14). Cabe mencionar que no se ha descrito el mecanismo de ingreso de fluconazol a la célula.

Proponemos analizar la actividad de Hst1 en ausencia de GSH así como evaluar su estado redox. Un análisis por RT-PCR nos indicaría cuáles transportadores se inducen en condiciones de ausencia de GSH. Otro experimento que vale la pena realizar es evaluar la expresión de los genes *GSH1* y *GSH2* en presencia de fluconazol, ya que si el GSH es importante para desintoxicar el fluconazol probablemente la presencia de este xenobiótico

induzca la síntesis de GSH.

Profundizar en este aspecto es muy importante debido a las implicaciones que la resistencia a fluconazol tiene en el tratamiento de infecciones por *C. glabrata*.

3. Auxotrofía por prolina de la mutante *gsh1Δ pro2-4*.

Fue sorprendente que la mutante original *gsh1Δ pro2-4* requiera prolina para su crecimiento. Descartamos la existencia de alguna otra mutación en los genes de la biosíntesis de prolina, *PRO1* o *PRO3*. Es posible que este fenotipo se deba a que el alelo supresor pierde parcialmente su función y que a largo plazo se presente el consumo de las pozas de prolina en esta mutante. Esto se apoya por el hecho de que la sobreexpresión del alelo silvestre *PRO2* restaura el crecimiento de la mutante *gsh1Δ pro2-4* en ausencia de prolina (Figura 12) y porque la sobreexpresión del alelo *pro2-4* elimina de manera similar la auxotrofía por prolina en la mutante *pro2Δ* que el alelo *PRO2* (Figura 13). Evaluamos el crecimiento de la mutante *pro2-4* en medio YNB suponiendo que se agotarían las pozas de prolina y no pudimos determinar ninguna diferencia en el crecimiento entre la cepa BG14 y la mutante (Figura 15).

La mutante *gsh1Δ pro2-4* reconstruida no presenta auxotrofía por prolina, más bien sólo requiere de la presencia de GSH para crecer en medio YNB (Figura 14). En conclusión, se necesitan estudios adicionales para determinar a qué se debe el requerimiento de prolina de la mutante supresora original.

4. Transporte de GSH en *C. glabrata*.

Probablemente relacionado a la resistencia a fluconazol, se encuentra el transporte del GSH. Es interesante que el ingreso del GSH a la célula se presente en medios limitantes de nutrientes, particularmente en un medio limitante en nitrógeno; sin embargo esto no es sorprendente ya que el GSH puede ser utilizado como fuente de nitrógeno o azufre en condiciones de limitación de nutrientes (Mehdi & Penninckx, 1997, Springael & Penninckx, 2003). Más aún, el gen *GSH1* está regulado por factores que controlan el metabolismo de aminoácidos azufrados tales como Met4 (Wheeler, *et al.*, 2002) y enzimas importantes del ciclo metabólico del GSH están reguladas por los factores de transcripción tipo GATA,

Gln3 y Gat1 (Springael & Penninckx, 2003). Varios transportadores se regulan por vías que detectan las señales nutricionales: incluso ScOPT1 se regula por un sistema detector de limitación de azufre (Miyake, *et al.*, 2003).

En la figura 14 podemos ver que la mutante *gsh1Δ pro2-4* reconstruida recupera su crecimiento cuando se añade GSH al medio de crecimiento, de manera similar que la mutante *gsh2Δ*. Sorprendentemente la adición de prolina inhibe su crecimiento; creemos que el GSH se transporta al interior de la célula a través de un transportador de prolina. El transporte de prolina se efectúa por la permeasa de prolina Put4 y por la permeasa general de aminoácidos, Gap1. La expresión de PUT4 se regula por el sistema de represión catabólica por nitrógeno (Xu, *et al.*, 1995, ter Schure, *et al.*, 2000) y postraduccionalmente por enzimas que regulan su localización, activación y degradación (Stanbrough & Magasanik, 1995, Roberg, *et al.*, 1997, Popova Iu, *et al.*, 2000). GAP1 también se regula su expresión por la fuente de nitrógeno disponible en el medio de crecimiento (Stanbrough & Magasanik, 1995) y postraduccionalmente a través de su localización y degradación (Roberg, *et al.*, 1997, Springael & Andre, 1998, De Craene, *et al.*, 2001, Soetens, *et al.*, 2001). Estas características hacen de los transportadores de prolina posibles candidatos para llevar a cabo el transporte de GSH en *C. glabrata*. Para identificar este transportador seguimos por dos estrategias:

1. Hicimos una búsqueda informática de posibles ortólogos de los genes de la familia OPT de *S. cerevisiae* en *C. glabrata*. *C. glabrata* no tiene los genes ortólogos a ScOPT1 y ScOPT2, pero si para el tercer miembro de esta familia, YGL114W, el cual no tiene función conocida. Tratamos de generar una mutante nula en **CAGL0F07293g** pero no tuvimos éxito. Más aún, en una mutante que sobreexpresa este gen no logramos observar ningún fenotipo claro (figuras 37, 38, 39, 40, 42, y 43).
2. Purificamos proteínas de membrana tanto de la cepa de referencia BG14 y de la mutante *gsh2Δ* la cual mejora su crecimiento cuando crece en un medio que contiene GSH (figuras 9, 14 y 17). La obtención de las proteínas se llevó a cabo bajo dos condiciones de crecimiento: medio YNB y medio YNBrN sin o suplementados con GSH 0.5mM. Lo que esperamos encontrar es una proteína diferencial entre las dos cepas y a su vez entre los dos medios para después secuenciarla. Realizamos la purificación y visualizamos las proteínas en un gel de una sola dimensión (figura 36), sin embargo no

logramos obtener suficiente cantidad de proteínas para correr el gel en segunda dimensión.

Es probable que el transportador de GSH se induzca en condiciones de limitación de nutrientes, situación a la que *C. glabrata* se enfrenta constantemente cuando está dentro de su hospedero. Se requiere evaluar el ingreso de GSH a *C. glabrata* en medios limitantes o con diferentes fuentes de nitrógeno, esperamos que en presencia de malas fuentes nitrógeno se induzca el transporte de GSH. Actualmente, nuestro grupo sigue trabajando en la identificación de este posible transportador de GSH.

5. *C. glabrata* y su resistencia a cadmio.

C. glabrata es resistente a cadmio (Mehra, et al., 1988, Mehra, et al., 1989, Barbas, et al., 1992, Mehra, et al., 1994) y el mecanismo que determina tal resistencia implica la biosíntesis de fitoquelatinas, aunque nunca se ha reportado el gen que codifique para la fitoquelatina sintasa en *C. glabrata*. Observamos que las mutantes deficientes en la síntesis de GSH son más sensibles a CdSO₄ que la cepa de referencia BG14. En *S. pombe*, la síntesis de fitoquelinas la realiza la enzima Gsh2 (Al-Lahham, et al., 1999) y en *S. cerevisiae* se han descrito dos carboxipeptidasas con esta actividad (Kneer, et al., 1992). Hicimos una búsqueda bioinformática de los posibles ortólogos a los genes de fitoquelatina sintasas que se conocen y no encontramos nada similar en *C. glabrata*. Entonces generamos una mutante en el gen CAGL0M13651g que es el posible ortólogo de las carboxipeptidasas CPY y CPC para evaluar si esta proteína estaba involucrada en la resistencia a cadmio. La sensibilidad de la mutante *prc1Δ* a CdSO₄ es similar a la sensibilidad de la cepa silvestre BG14 (Figura 29). Esto indica que en *C. glabrata* esta carboxipeptidasa no participa en la resistencia a cadmio. Es posible también que Gsh2 tenga esta actividad ya que la mutante *gsh2Δ* es más sensible a CdSO₄ que la mutante *gsh1 pro2-4Δ* (figura 37).

Existen diferencias entre los fenotipos de las mutantes deficientes en la síntesis de GSH. Claramente hay diferencias entre los fenotipos de las mutantes *gsh1Δ pro2-4* y *gsh2Δ* (Figuras 8, 9, 14, 16, 17, 18, 19 y 20). Aunque ambas presentan un contenido mínimo de GSH creemos que su estados redox es diferente, esto porque se sabe que el dipéptido, γ-

GluCys puede compensar parcialmente la ausencia de GSH (Grant, *et al.*, 1997) y más aún, el dipéptido puede desintoxicar ROS en conjunto con la enzima glutatión peroxidasa (Quintana-Cabrera, *et al.*, 2012).

Finalmente, debido a la alta resistencia que *C. glabrata* presenta a cadmio, es interesante averiguar cómo puede utilizarse en la biorremediación de zonas contaminadas por metales pesados. La literatura sobre la resistencia a cadmio que presenta *C. glabrata* se basa fundamentalmente en la detección de fitoquelatinas, pero no se han hecho estudios ni a nivel de genes o proteínas para detectar a la fitoquelatina sintasa de *C. glabrata*. Es necesaria investigación adicional para profundizar en este tema.

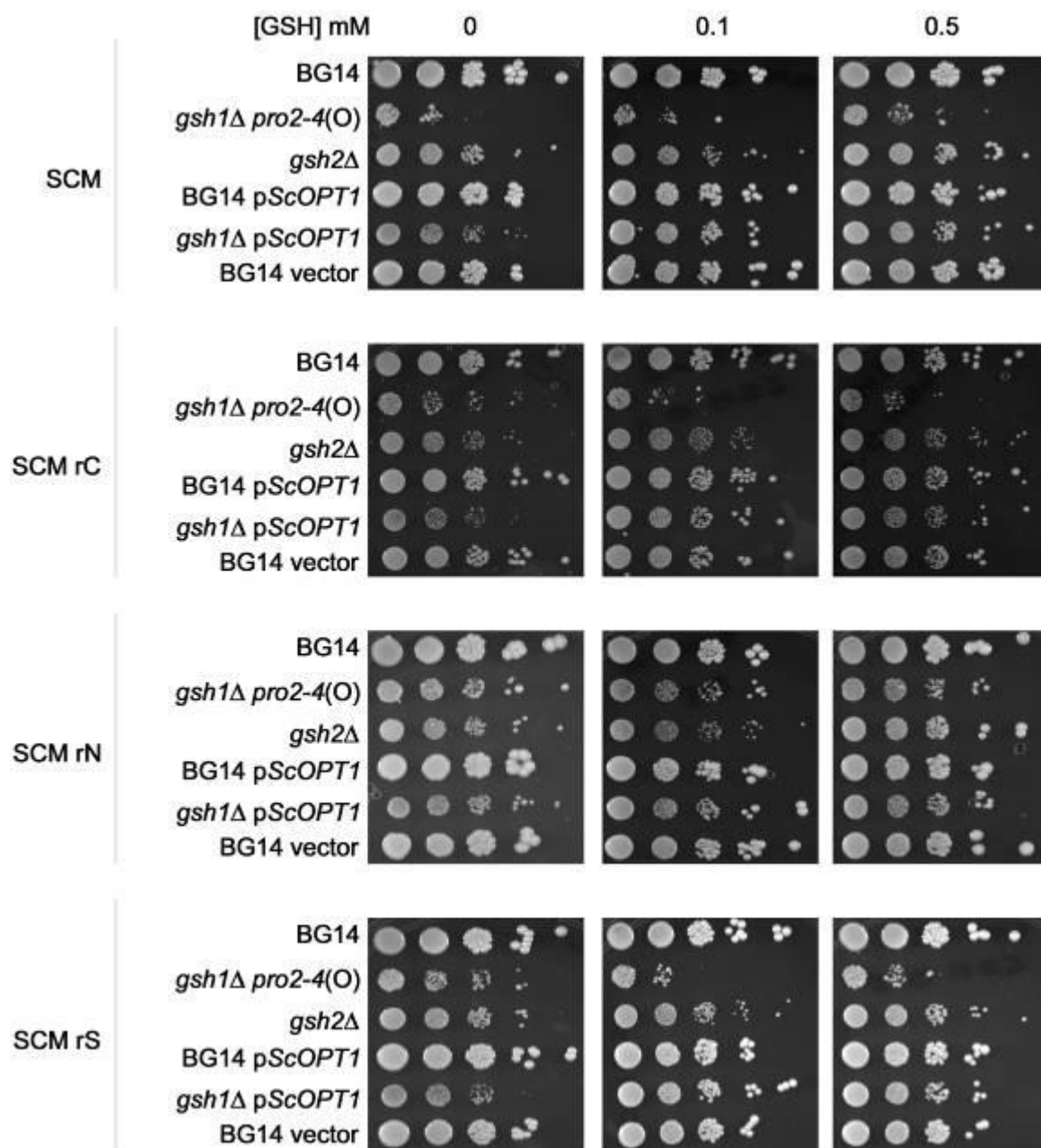
FIGURAS ADICIONALES


Figura 17. Análisis del crecimiento en medio YNB y medios reducidos con o sin GSH. Cultivos de la cepa BG14 (CGM1) y de las mutantes en la síntesis de GSH, *gsh1Δ pro2-4* (CGM814) y *gsh2Δ* (CGM873), y como controles las cepas BG14 pScOPT1 (CGM1035), *gsh1Δ pScOPT1* (CGM1071) y BG14 vector (CGM1073) se crecieron en medio YNB durante 48 h a 30 °C. Las células se lavaron y se diluyeron a una densidad celular de 1×10^7 células/mL. Se hicieron diluciones logarítmicas y 5 µL de cada dilución se colocaron en placas de YNB, YNBrC, YNBrN y YNBrS suplementadas con 0.1 y 0.5 mM de GSH. Las placas se incubaron a 30 °C durante 48 h.

Para determinar los requerimientos de GSH de las mutantes *gsh1Δ pro2-4* y *gsh2Δ*, evaluamos su crecimiento en diferentes medios con diferentes concentraciones de GSH. En la figura 17 vemos que las cepas BG14 y la mutante *gsh1Δ pro2-4* crecieron de manera similar en presencia o ausencia de GSH. En cambio, encontramos que la mutante *gsh2Δ* en YNB sin GSH tiene un crecimiento muy reducido que se rescata en presencia de concentraciones de GSH superiores a 0.1mM. En los medios reducidos el efecto del GSH exógeno es más notorio. Como controles evaluamos el crecimiento de cepas que contienen episomalmente el transportador de GSH de *S. cerevisiae* y encontramos que una gran mejoría en el crecimiento en la mutante *gsh1Δ* cuando se crece en medios que contienen GSH.

Cuantificación del contenido de GSH en las mutantes deficientes en la síntesis de GSH.

Determinamos la concentración de GSX intracelular en la cepa BG14, en las mutantes deficientes en la síntesis de GSH, *gsh1Δ pro2-4* (CGM814) y *gsh2Δ* (CGM873) y en la mutante *gsh1Δ pGSH1* (CGM976), y si esta concentración cambiaba en las diferentes etapas decrecimiento. La figura 18 muestra que la cepa BG14 mantiene constante su contenido de GSX intracelular. Las mutantes *gsh1Δ pro2-4* y *gsh2Δ* tienen una menor concentración de GSX intracelular a las 6 h de crecimiento. Esa concentración disminuye conforme las células entran a fase estacionaria. Las células de la mutante *gsh1Δ pro2-4* tienen mayor concentración de GSX que las células de la mutante *gsh2Δ*. Se debe notar que el plásmido *pGSH1* complementa parcialmente la ausencia del gen *GSH1* cromosómico.

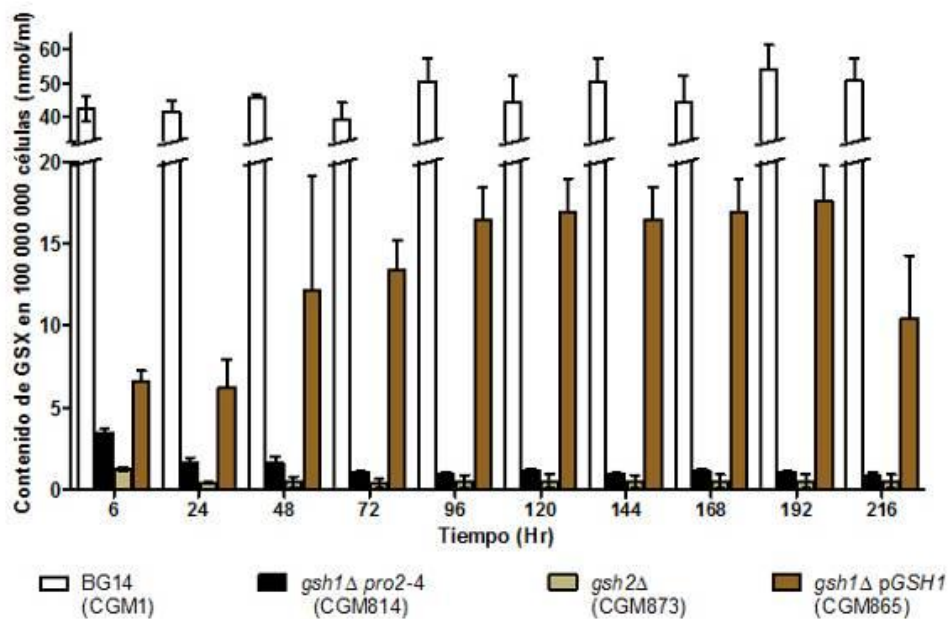


Figura 18. Análisis del contenido de GSH intracelular durante el crecimiento en medio rico YPD. Para cuantificar la concentración de GSX intracelular, las células se crecieron en medio YPD y se tomaron muestras a lo largo de la fase de crecimiento. Las células se lavaron dos veces con PBS y se lisaron con perlas de vidrio en SSA al 5%. El contenido intracelular de GSX se determinó enzimáticamente con DTNB como se describe en materiales y métodos.

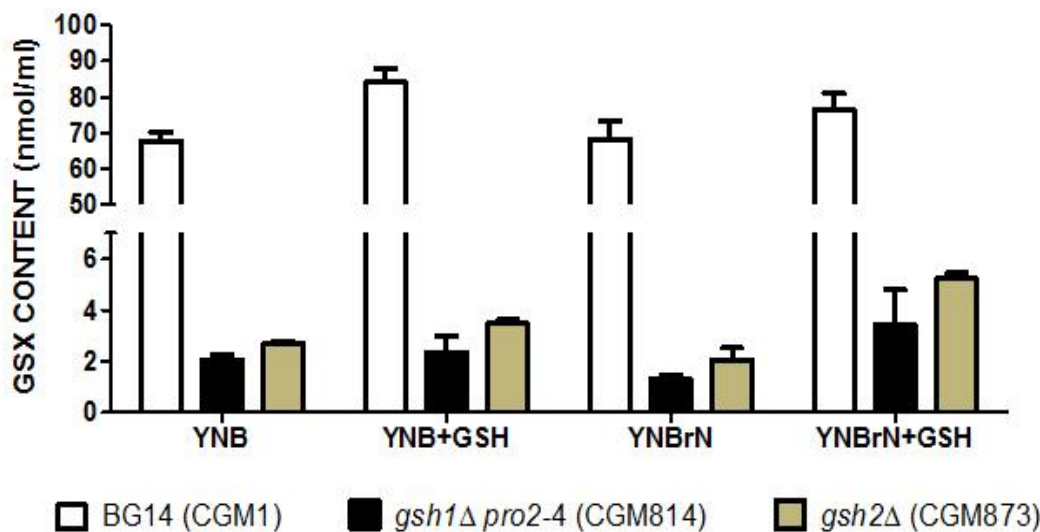
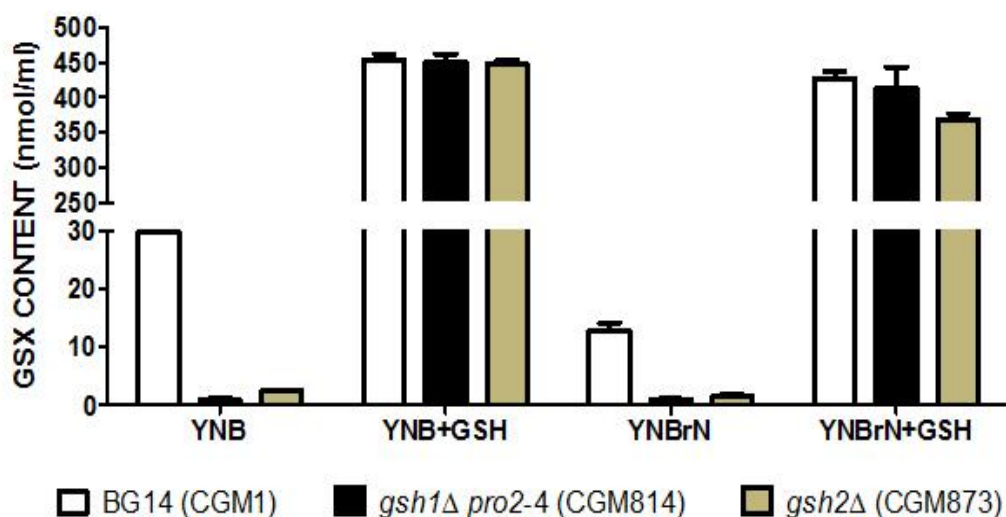
A

B


Figura 19. Análisis del contenido de GSH intracelular en medio YNB y YNBrN con o sin GSH. Para cuantificar la concentración de GSX intracelular, las células se crecieron en medio YNB o YNBrN con o sin GSH 0.5 mM durante 48 h. Se ajustaron a una densidad celular de 3×10^8 células/mL y se lavaron dos veces con PBS. Las células se lisaron con perlas de vidrio en SSA al 5%. El contenido intracelular de GSX se determinó enzimáticamente con DTNB como se describe en materiales y métodos.

Debido a que el GSH exógeno mejora el crecimiento de la mutante *gsh2Δ* determinamos si la concentración de GSH intracelular incrementaba en presencia de GSH exógeno. Podemos ver en el panel A que existe un ligero incremento en el contenido de GSH intracelular en las mutantes deficientes en la síntesis de GSH cuando se añadió GSH al medio de crecimiento, esto sugiere que existe un transportador de GSH en *C. glabrata* y que sólo se induce en condiciones de bajo nitrógeno (YNBrN). En el panel B se muestra la cuantificación de GSH en el sobrenadante y es importante notar como la concentración es menor en el medio YNBrN de la mutante *gsh2Δ*.

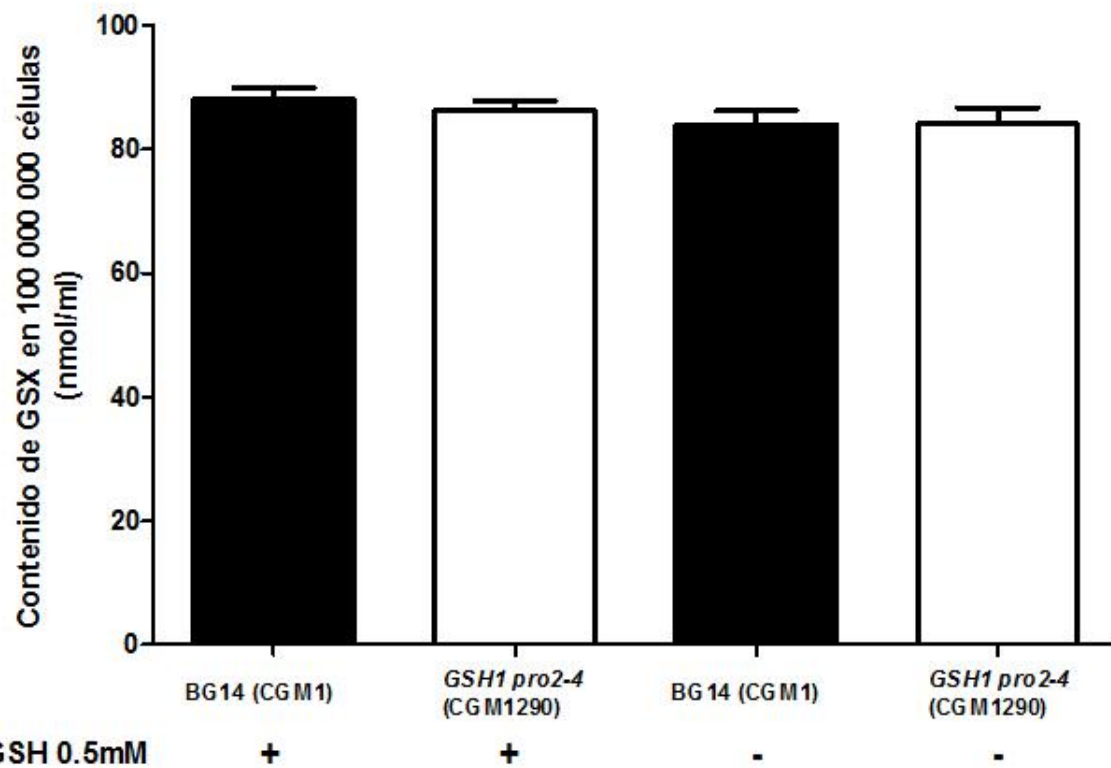


Figura 20. La mutante *GSH1 pro2-4* contiene la misma cantidad de GSH intracelular que la cepa silvestre BG14. Para cuantificar GSX, las cepas se crecieron en medio YNB sin o con GSH 0.5mM durante 48 h a 30 °C. Las células se ajustaron a una densidad celular de 3×10^8 y se lavaron con PBS. Las células se lisaron con perlas de vidrio en SSA al 5%. El contenido intracelular de GSX se determinó enzimáticamente con DTNB como se describe en materiales y métodos.

La figura 20 nos muestra que la restauración del gen *GSH1* complementa el contenido de GSX a niveles similares que los encontrados en la cepa silvestre, en medio sin o con GSH añadido.

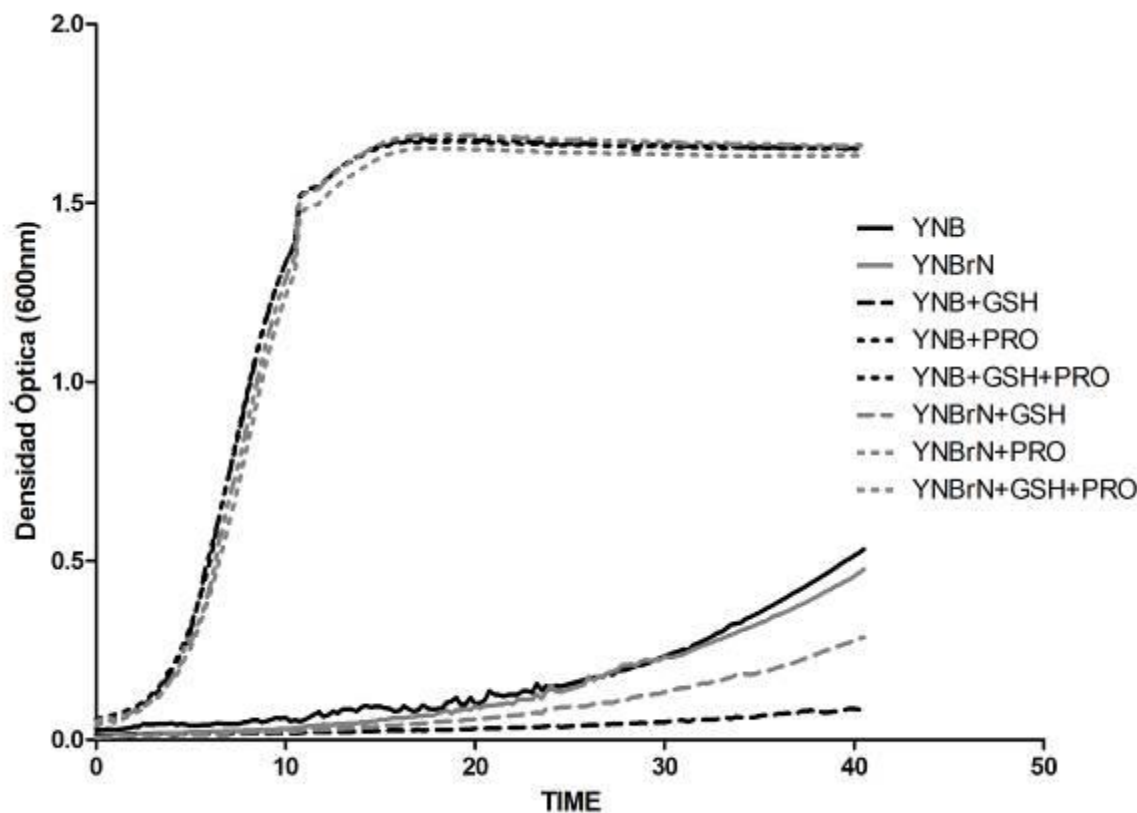


Figura 21. La mutante *GSH1 pro2-4* es auxótrofa de prolina. Evaluamos el crecimiento de la mutante *GSH1 pro2-4* en diferentes medios y como muestra la figura la mutante *GSH1 pro2-4* mantiene la auxotrofía a prolina que presenta su parental (*gsh1Δ pro2-4*). Cultivos de la mutante *GSH1 pro2-4* (CGM1290) se crecieron en YNB y YNBrN suplementados con GSH 0.5mM (+GSH), L-Prolina 1 μ g/mL (+PRO) o simultáneamente con GSH y L-Prolina (+GSH+PRO) durante 48h a 30°C. Las células se lavaron y se diluyeron a una densidad celular a 2×10^6 células/mL. Se evaluó el crecimiento de estas cepas en el medio correspondiente en un BIOSCREEN durante 4 días a 30°C en agitación constante.

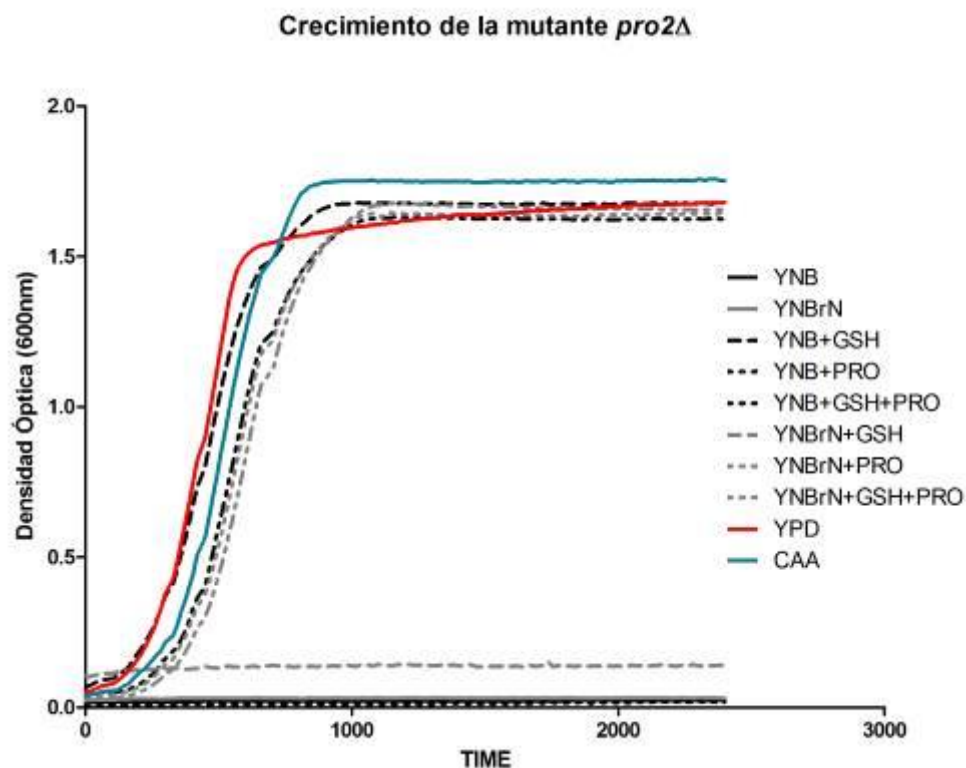


Figura 22. Análisis del crecimiento de la mutante *pro2Δ*. Cultivos de la mutante *pro2Δ* se crecieron en YPD, CAA y YNB y YNBrN suplementados con GSH 0.5mM (+GSH), L-Prolina 1 μ g/mL (+PRO) o simultáneamente con GSH y L-Prolina (+GSH+PRO) durante 48 h a 30 °C. Las células de la mutante *pro2Δ* (CGM1446) se lavaron y se diluyeron a una densidad celular a 2×10^6 células/mL. Se evaluó el crecimiento de estas cepas en el medio correspondiente en un BIOSCREEN durante 4 días a 30 °C en agitación constante.

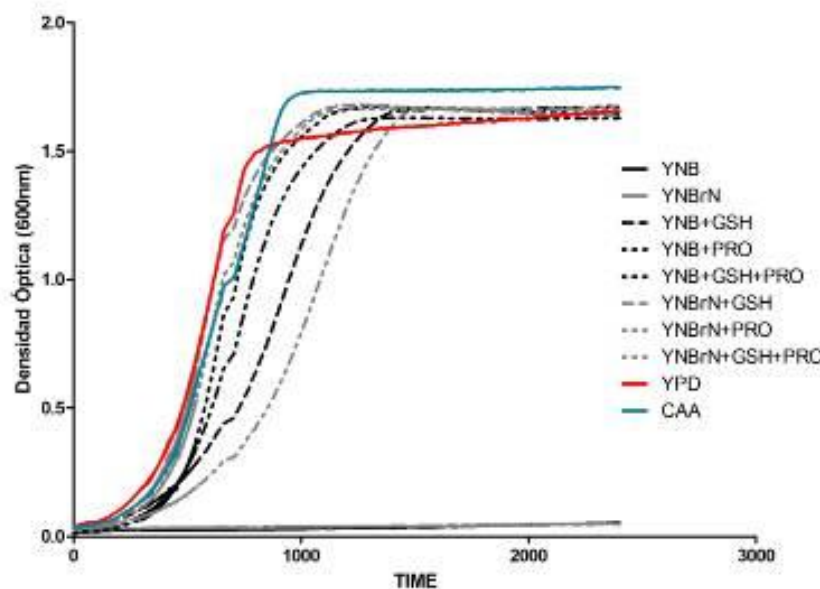
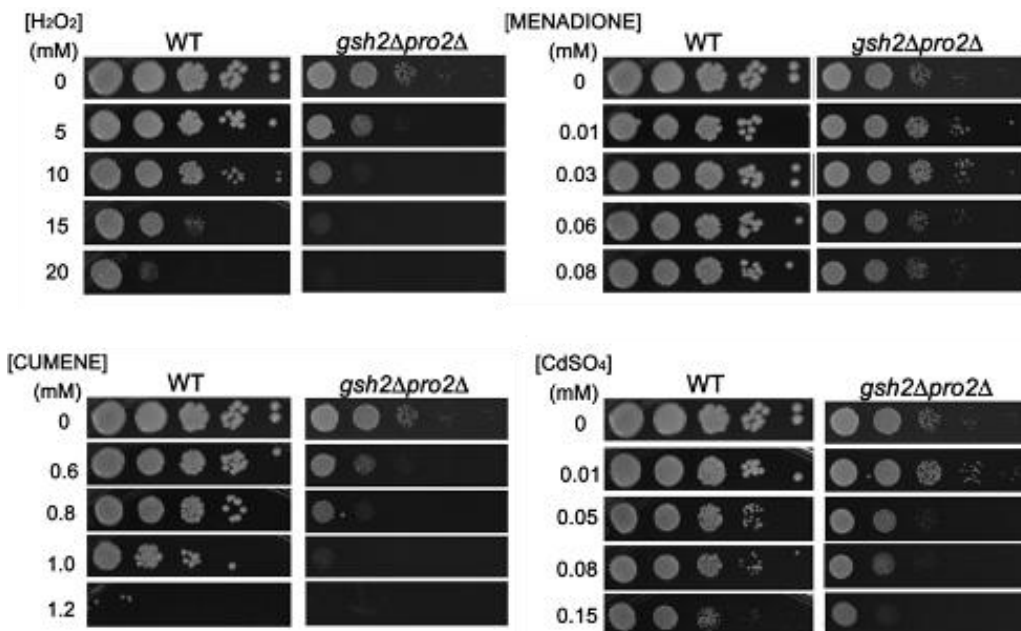
A

B


Figura 23. Fenotipos de la mutante *gsh2Δ pro2Δ*. Cultivos de la mutante *gsh2Δ pro2Δ* (CGM1450) se crecieron en YNB y YNBrN suplementados con GSH 0.5mM (+GSH), L-Prolina 1 μ g/mL (+PRO) o simultáneamente con GSH y L-Prolina (+GSH+PRO) durante 48 h a 30 °C. Las células se lavaron y se diluyeron a una densidad celular a 2x10⁶ células/mL. Se evaluó el crecimiento de estas cepas en el medio correspondiente en un BIOSCREEN durante 4 días a 30 °C en agitación constante. Cultivos de la cepa silvestre BG14 (CGM1) y de la mutante *gsh2Δ pro2Δ* (CGM1450) se crecieron en YPD durante 48h a 30°C. Las células se lavaron y se diluyeron a una densidad celular de 1x10⁷ células/mL. Se hicieron diluciones logarítmicas y 5 μ L de cada dilución se colocaron en placas con YPD con diferentes concentraciones de agentes generadores de estrés oxidante. Las placas se incubaron a 30 °C durante 48 h.

Interrumpimos el gen *PRO2* en el fondo *gsh2Δ* para generar una mutante doble *gsh2Δ pro2Δ*. El panel A muestra que el crecimiento en esta mutante se rescata tanto con prolina como con GSH. En el panel B observamos que la ausencia del gen *PRO2* en la mutante *gsh2Δ* acentúa su sensibilidad a H₂O₂ cadmio y cumeno, pero no afecta su sensibilidad a menadiona.

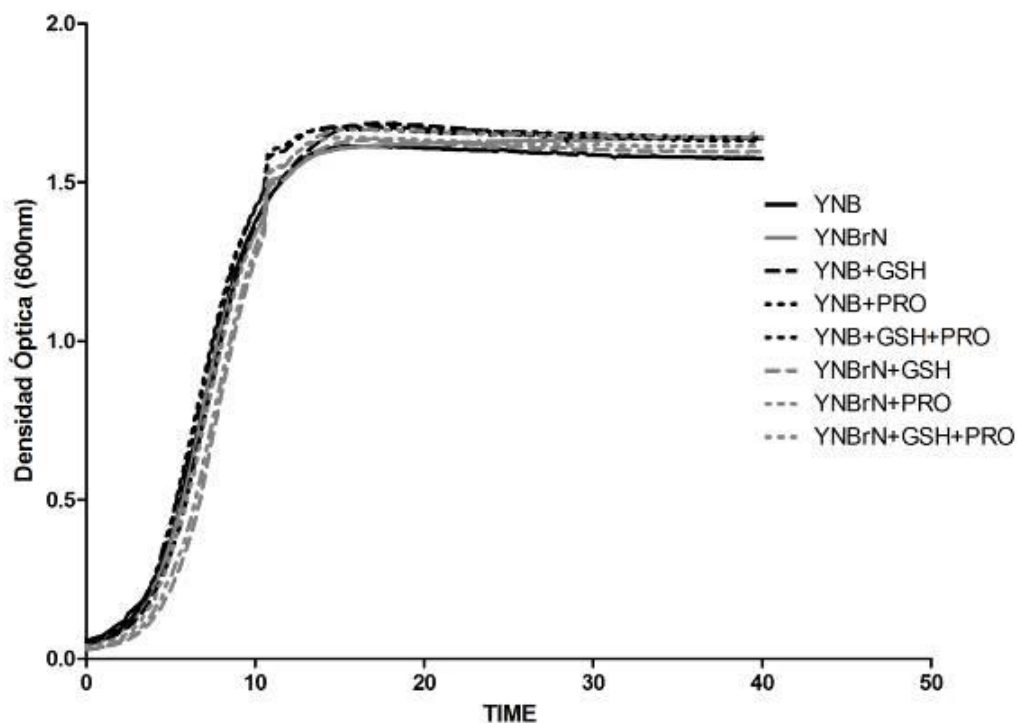
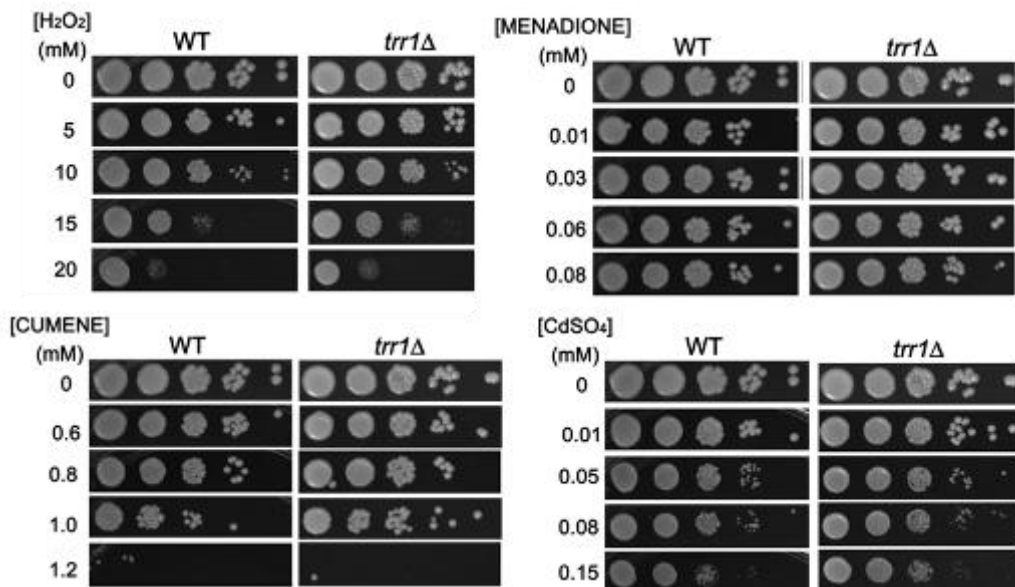
A

B


Figura 24. Fenotipos de la mutante *ttr1Δ*. Cultivos de la mutante *ttr1Δ* (CGM1475) se crecieron en YNB y YNBrN suplementados con GSH 0.5mM (+GSH), L-Prolina 1 µg/mL (+PRO) o simultáneamente con GSH y L-Prolina (+GSH+PRO) durante 48h a 30°C. Las células se lavaron y se diluyeron a una densidad celular a 2×10^6 células/mL. Se evaluó el crecimiento de estas cepas en el medio correspondiente en un BIOSCREEN durante 4 días a 30 °C en agitación constante. Cultivos de la cepa silvestre BG14 (CGM1) y de la mutante *ttr1Δ* (CGM1475) se crecieron en YPD durante 48h a 30°C. Las células se lavaron y se diluyeron a una densidad celular de 1×10^7 células/mL. Se hicieron diluciones logarítmicas y 5 µL de cada dilución se colocaron en placas con YPD con diferentes concentraciones de agentes generadores de estrés oxidante. Las placas se incubaron a 30 °C durante 48 h.

Para poder evaluar si existe una función sobrelapante entre la rama de amortiguación redox del GSH y de la rama tiorredoxina generamos una mutante en el gen *TRR1*. En la figura 24 panel A observamos que la mutante *ttr1Δ* crece de manera similar a la cepa silvestre en los medios. El panel B muestra que la mutante *ttr1Δ* es similarmente resistente que la cepa silvestre a agentes generadores de estrés oxidante. analizados.

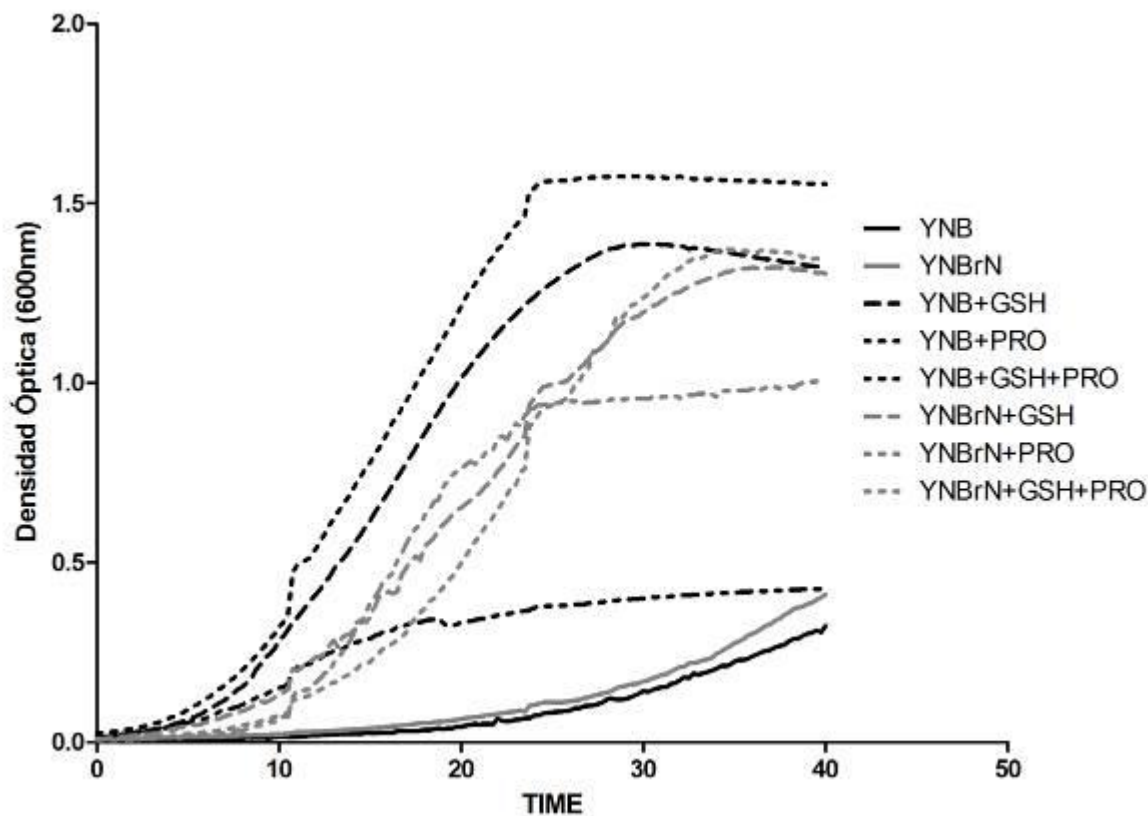


Figura 25. Análisis del crecimiento de la mutante *gsh2Δ ttr1Δ* en diferentes medios.

Cultivos de la mutante *gsh2Δ ttr1Δ* (CGM1521) se crecieron en YNB y YNBrN suplementados con GSH 0.5mM (+GSH), L-Prolina 1µg/mL (+PRO) o simultáneamente con GSH y L-Prolina (+GSH+PRO) durante 48 h a 30 °C. Las células se lavaron y se diluyeron a una densidad celular a 2×10^6 células/mL. Se evaluó el crecimiento de estas cepas en el medio correspondiente en un BIOSCREEN durante 4 días a 30 °C en agitación constante.

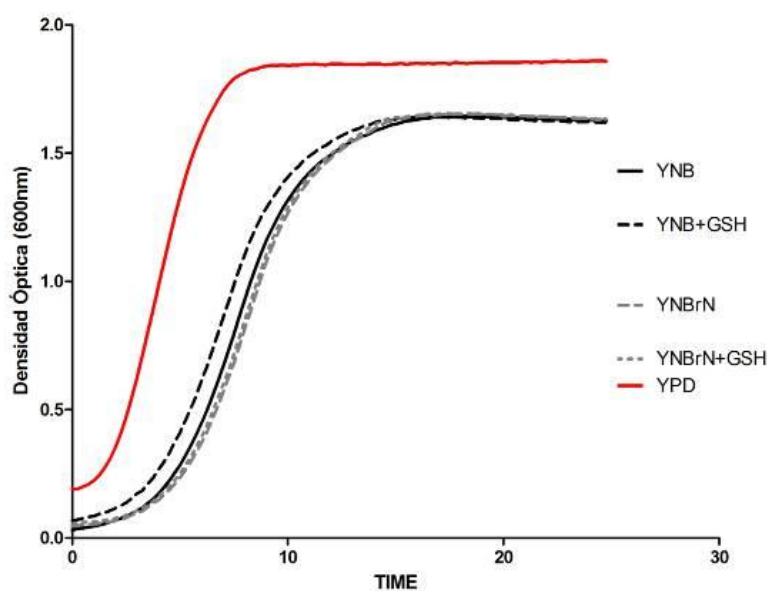
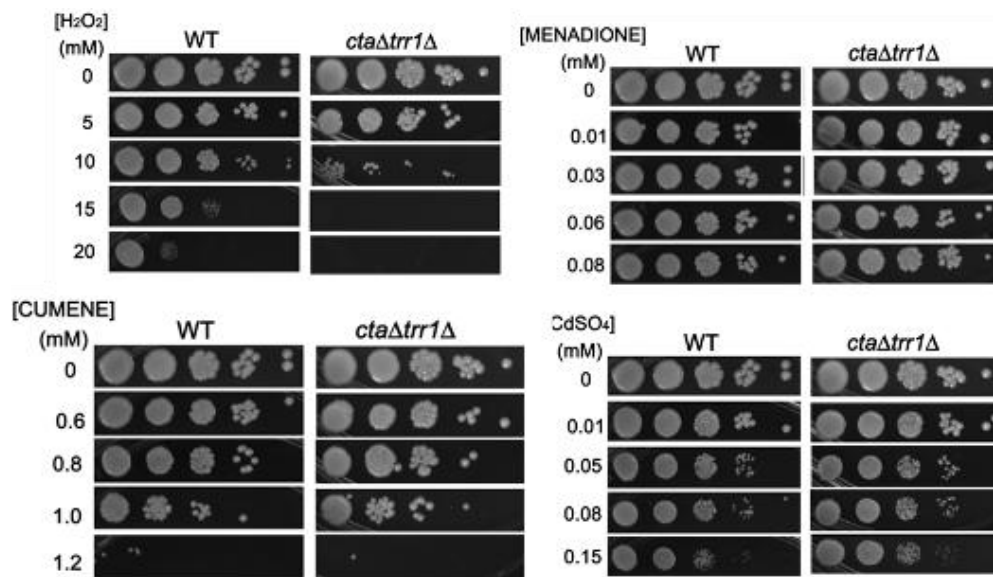
A

B


Figura 26. Fenotipos de la mutante *cta1Δ trr1Δ*. Cultivos de la mutante *cta1Δ trr1Δ* (CGM1477) se crecieron en YPD, YNB y YNBrN suplementados con GSH 0.5 mM (+GSH) durante 48 h a 30 °C. Las células se lavaron y se diluyeron a una densidad celular a 2×10^6 células/mL. Se evaluó el crecimiento de estas cepas en el medio correspondiente en un BIOSCREEN durante 4 días a 30 °C en agitación constante. En el panel B observamos que esta mutante es muy sensible a H₂O₂ pero resiste un poco más que la mutante sencilla *cta1Δ* (ver Figura 38). Cultivos de la cepa silvestre BG14 (CMG11) y de la mutante *cta1Δ trr1Δ* (CGM1477) se crecieron en YPD durante 48 h a 30 °C. Las células se lavaron y se diluyeron a una densidad celular de 1×10^7 células/mL. Se hicieron diluciones logarítmicas y 5 µL de cada dilución se colocaron en placas con YPD con diferentes concentraciones de agentes generadores de estrés oxidante. Las placas se incubaron a 30 °C durante 48 h.

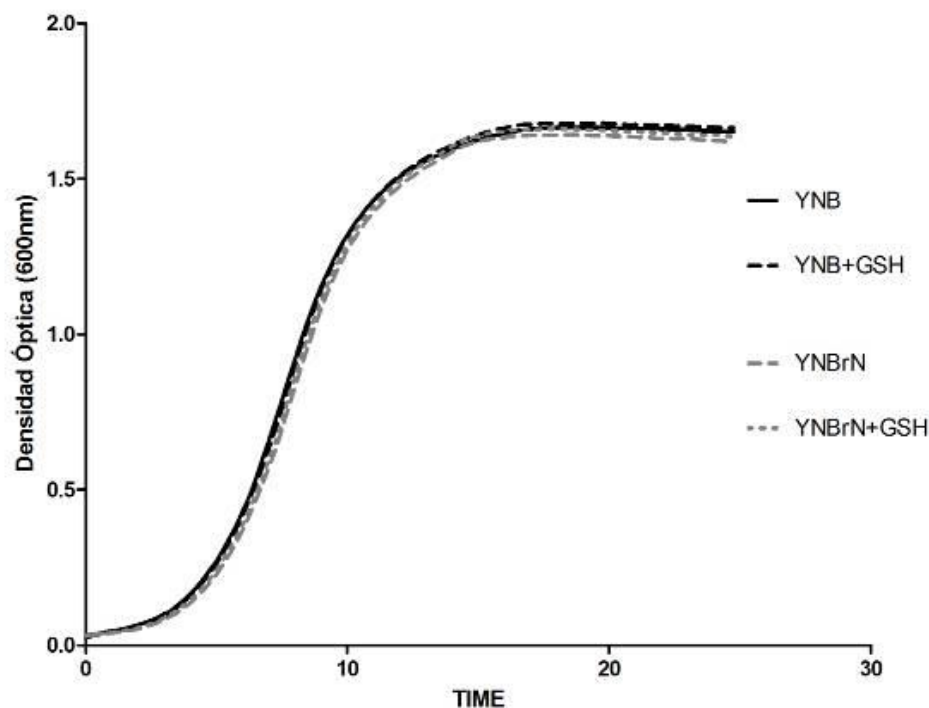
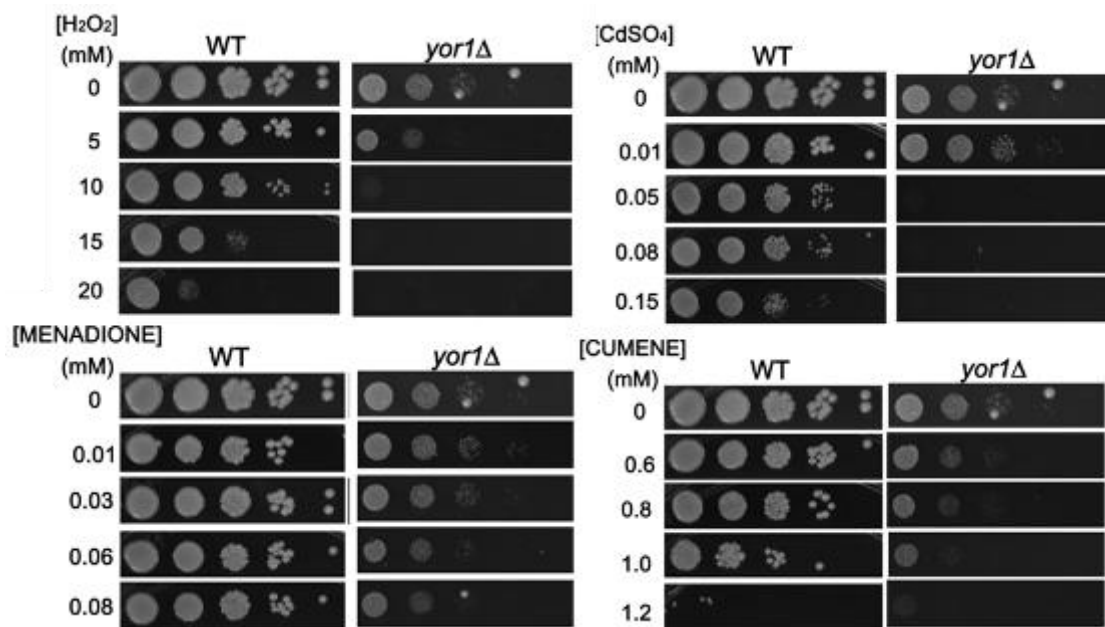
A

B


Figura 27. Fenotipos de la mutante *yor1Δ*. Cultivos de la mutante *yor1Δ* (CGM1474) se crecieron en YNB y YNBrN suplementados con GSH 0.5mM (+GSH) durante 48 h a 30 °C. Las células se lavaron y se diluyeron a una densidad celular a 2×10^6 células/mL. Se evaluó el crecimiento de estas cepas en el medio correspondiente en un BIOSCREEN durante 4 días a 30 °C en agitación constante. En el panel B observamos que el crecimiento de *yor1Δ* está muy afectado y debido a eso es altamente sensible a todos los agentes generadores de estrés oxidante que probamos. Cultivos de la cepa silvestre BG14 (CGM1) y de la mutante *yor1Δ* (CGM1474) se crecieron en YPD durante 48 h a 30 °C. Las células se lavaron y se diluyeron a una densidad celular de 1×10^7 células/mL. Se hicieron diluciones logarítmicas y 5 µL de cada dilución se colocaron en placas con YPD con diferentes concentraciones de agentes generadores de estrés oxidante. Las placas se incubaron a 30 °C durante 48 h.

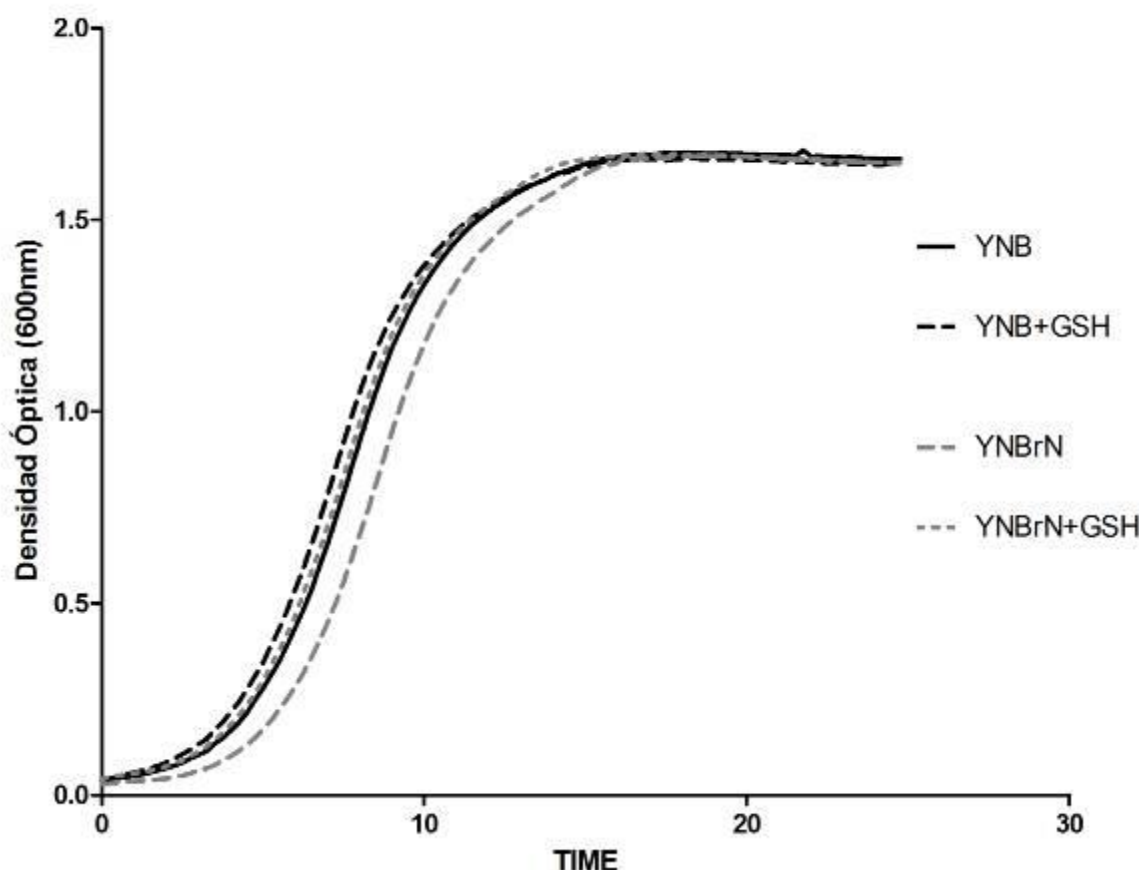
Crecimiento de la mutante *dug2Δ*

Figura 28. Análisis del crecimiento de la mutante *dug2Δ*. Cultivos de la mutante *dug2Δ* (CGM1448) se crecieron en YNB y YNBrN suplementados con GSH 0.5 mM (+GSH) durante 48 h a 30 °C. Las células se lavaron y se diluyeron a una densidad celular a 2×10^6 células/mL. Se evaluó el crecimiento de estas cepas en el medio correspondiente en un BIOSCREEN durante 4 días a 30 °C en agitación constante.

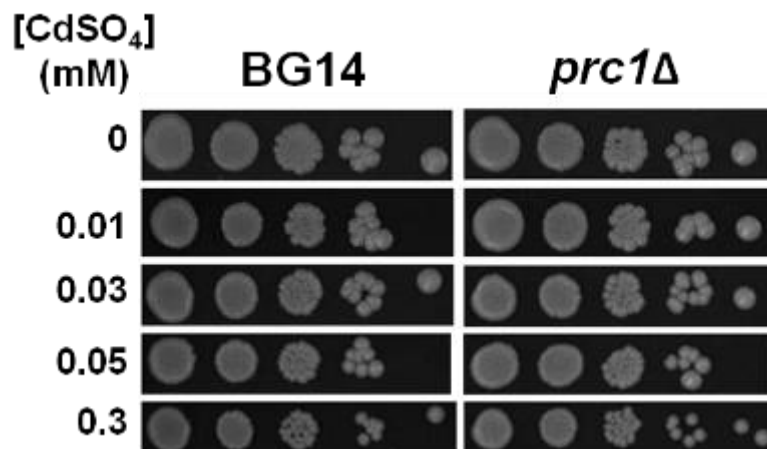


Figura 29. El producto del gen *PRC1* no participa en la resistencia a cadmio en *C. glabrata*. Cultivos de la cepa silvestre BG14 (CGM1) y de la mutante *prc1Δ* (CGM1219) se crecieron en YPD durante 48 h a 30 °C. Las células se lavaron y se diluyeron a una densidad celular de 1×10^7 células/mL. Se hicieron diluciones logarítmicas y 5 μL de cada dilución se colocaron en placas con YPD con diferentes concentraciones de sulfato de cadmio. Las placas se incubaron a 30 °C durante 48 h.

Para saber si, al igual a lo reportado en *S. cerevisiae*, en *C. glabrata* las carboxipeptidasas pueden llevar a cabo la síntesis de fitoquelatinas, hicimos una búsqueda bioinformática para identificar a los genes ortólogos que pudieran codificar para las carboxipeptidasas CPY y CPC. Encontramos el ORF CAGL0M13651g que es sintético al gen YMR297W (*PRC1/CPY*) y que tiene un 71% de identidad. No identificamos el ortólogo al gen YBR139W, pero CAGL0M13651g tiene un 55% de identidad con este gen. Hicimos una mutante nula en el gen CAGL0M13651g (*PRC1*) y evaluamos la resistencia a sulfato de cadmio. Encontramos que la sensibilidad de esta mutante a sulfato de cadmio es similar a la sensibilidad de la cepa silvestre BG14. Esto sugiere que en *C. glabrata*, esta carboxipeptidasa no participa en la resistencia a cadmio.

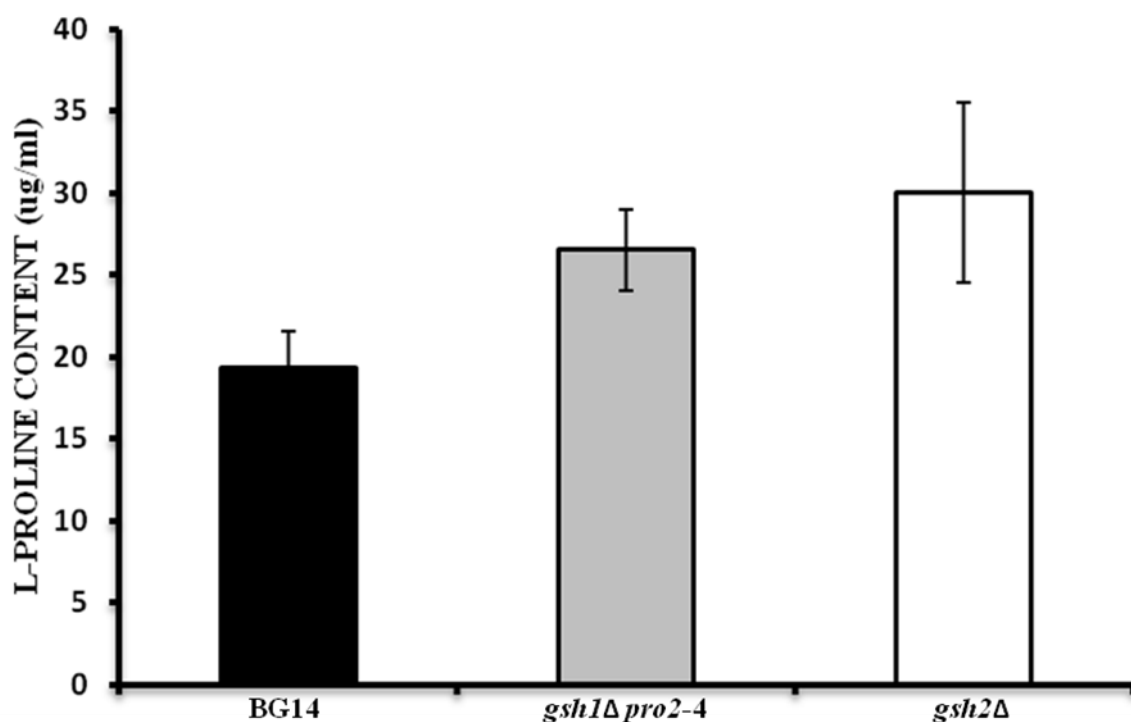
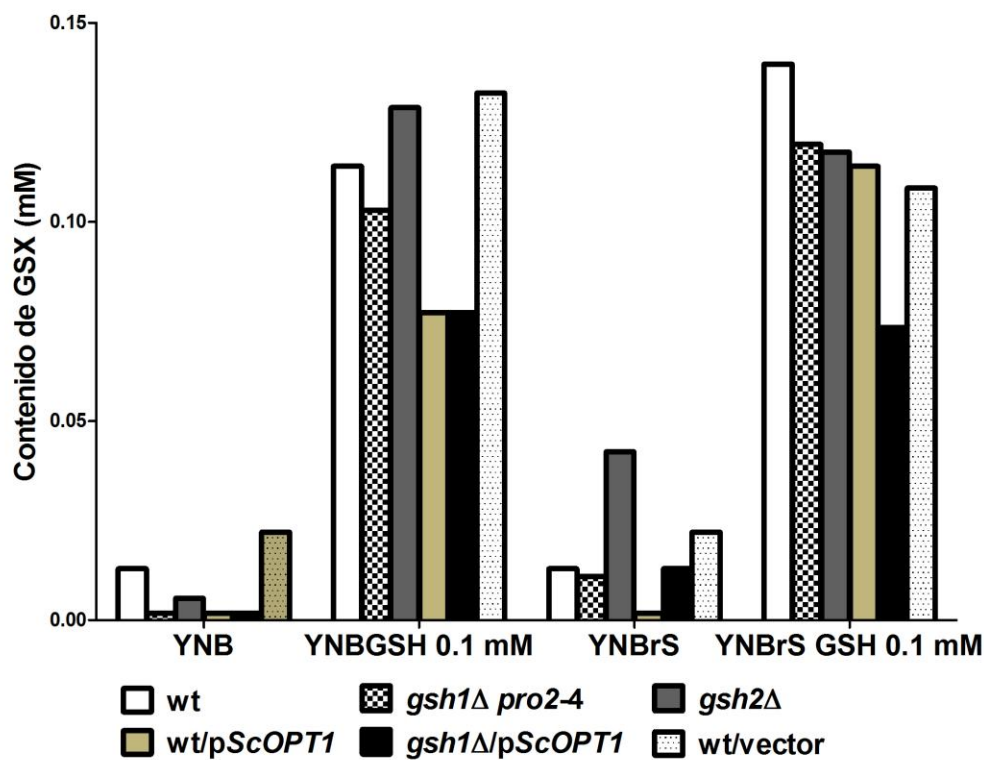
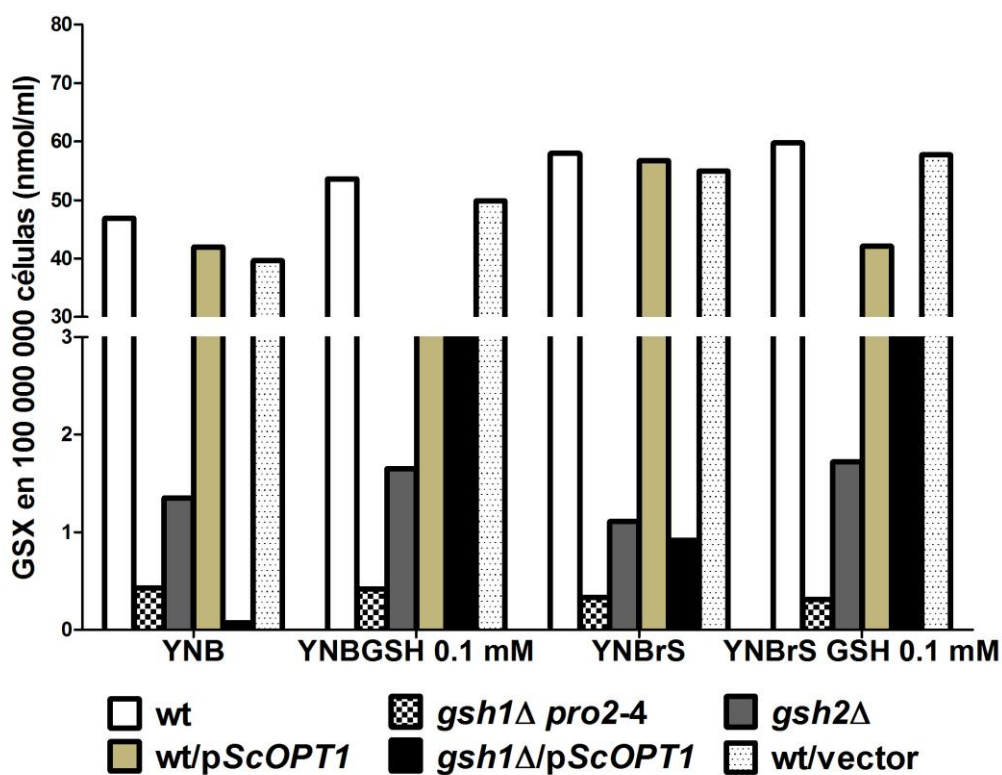
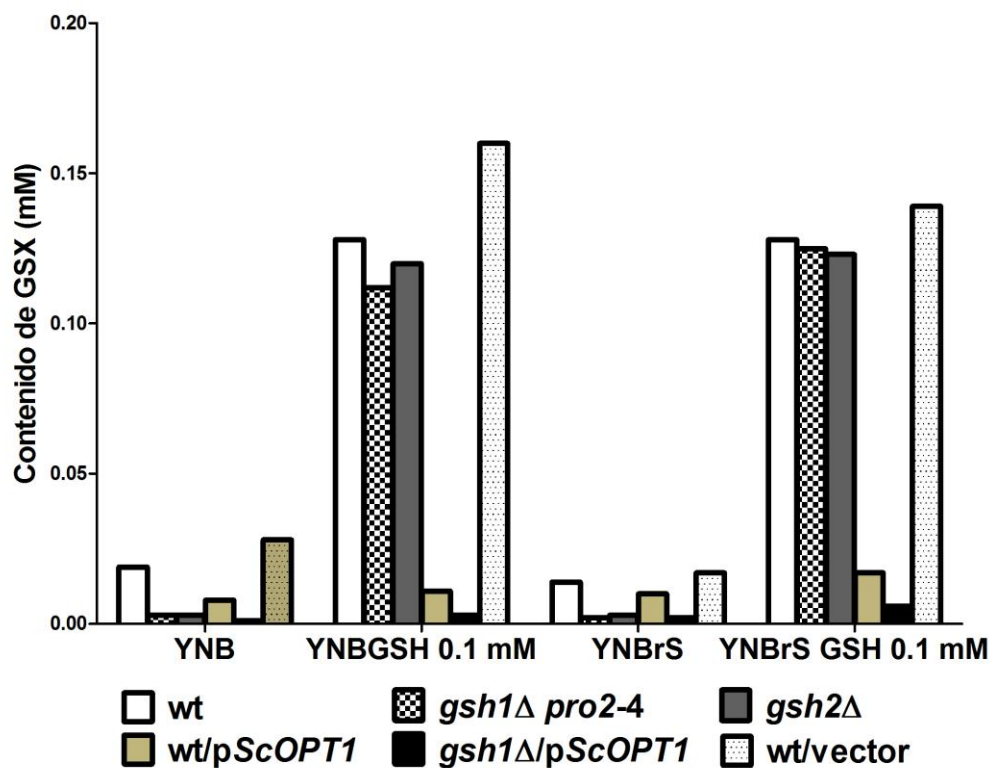
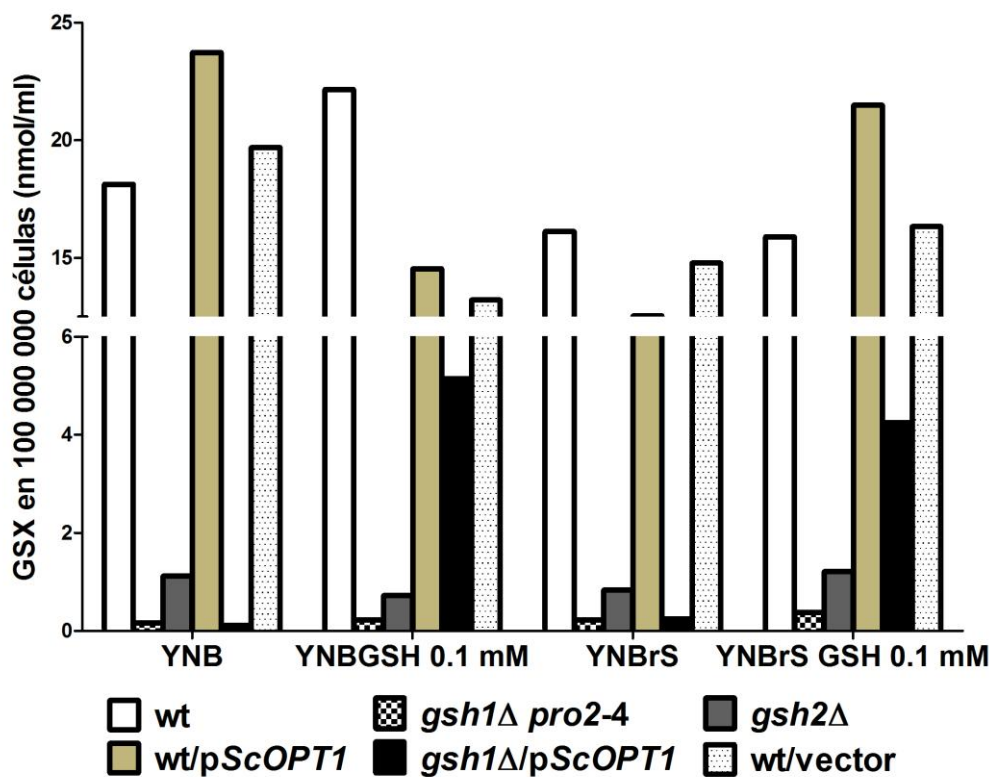


Figura 30. Cuantificación de prolina en cultivos crecidos en YPD. Cultivos de la cepa silvestre BG14 (CGM1) y de las mutantes *gsh1Δ pro2-4* (CGM814) y *gsh2Δ* (CGM873) se crecieron en YPD durante 48 h a 30 °C. Las células se lavaron y el contenido de L-Prolina se determinó como se describe en materiales y métodos.



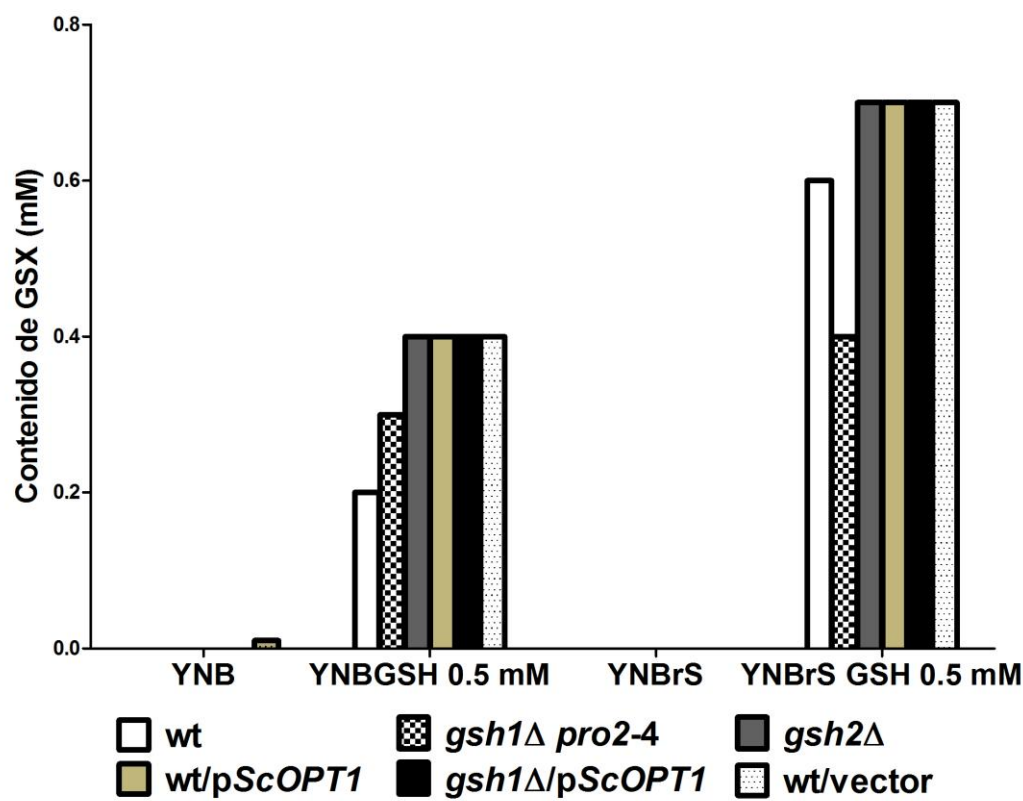
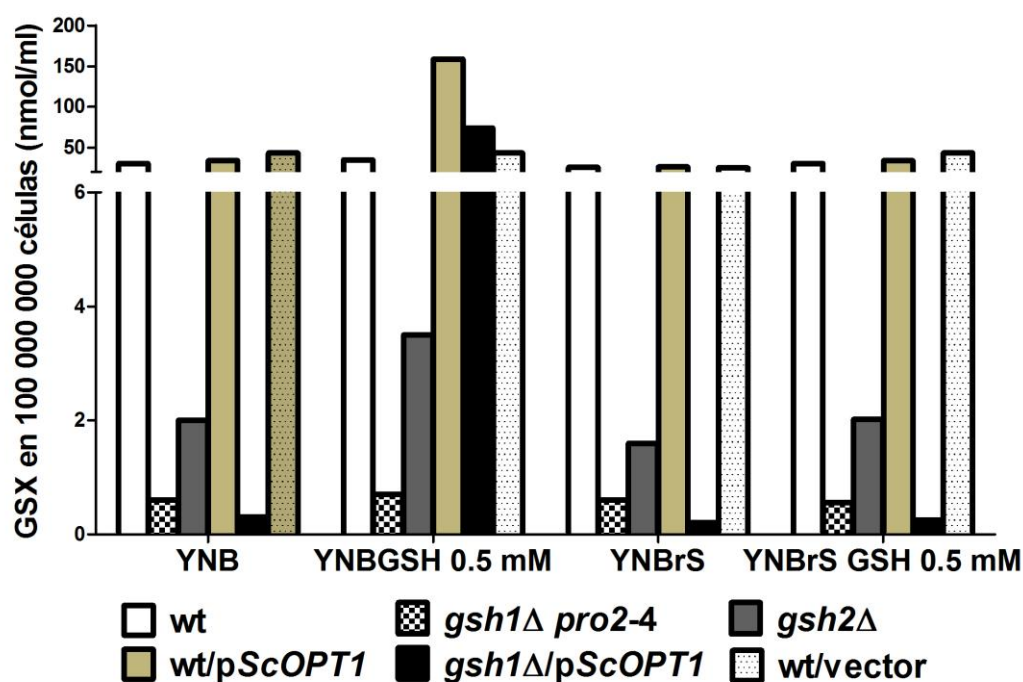
	[GSX] en extractos celulares (nm/ml)				[GSX] en sobrenadante (mM)			
	YNB	YNB+GSH 0.1 mM	YNBrS	YNBrS+GSH 0.1 mM	YNB	YNB+GSH 0.1 mM	YNBrS	YNBrS+GSH 0.1 mM
wt	46.88	53.64	57.95	59.73	0.0129	0.1140	0.0129	0.1397
<i>gsh1Δ pro2-4</i>	0.43	0.42	0.33	0.31	0.0018	0.1029	0.0110	0.1195
<i>gsh2Δ</i>	1.35	1.65	1.11	1.72	0.0055	0.1287	0.0423	0.1176
<i>wt/pScOPT1</i>	41.98	21.47	56.76	42.12	0.0018	0.0772	0.0018	0.1140
<i>gsh1Δ/pScOPT1</i>	0.07	18.50	0.92	23.18	0.0018	0.0772	0.0129	0.0735
wt/vector	39.67	49.85	54.98	57.73	0.0221	0.1324	0.0221	0.1085

Figura 31. Cuantificación de GSX intracelular y extracelular de cultivos de 8hs suplementados con GSH 0.1mM. Para cuantificar la concentración de GSX intracelular, las células de las cepas BG14 (CGM1) y de las mutantes *gsh1Δ pro2-4* (CGM814), *gsh2Δ* (CGM873), *wt/pScOPT1* (CGM1035), *gsh1Δ/pScOPT1* (CGM1071) y *wt/vector* (CGM1073) se crecieron en medio YNB o YNBrS con o sin GSH 0.1 mM durante 8 h de crecimiento del cultivo. Se tomaron 3×10^8 células/mL y se lavaron dos veces con PBS. Las células se lisaron con perlas de vidrio en SSA al 5%. El contenido intracelular de GSX se determinó enzimáticamente con DTNB como se describe en materiales y métodos.



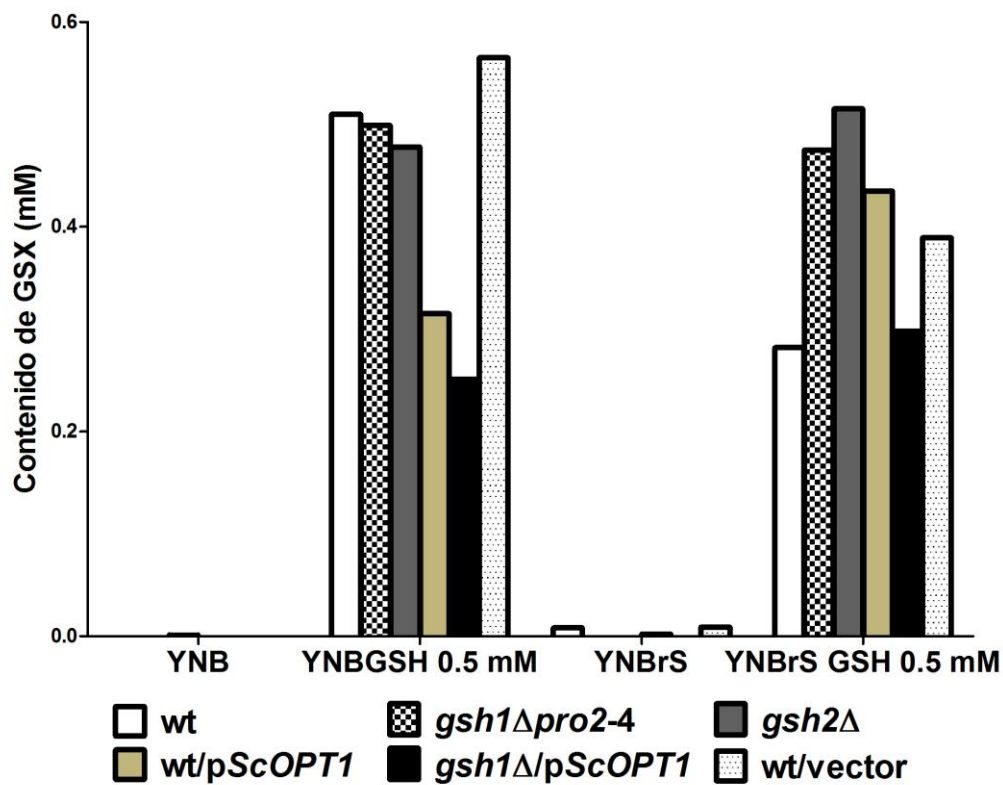
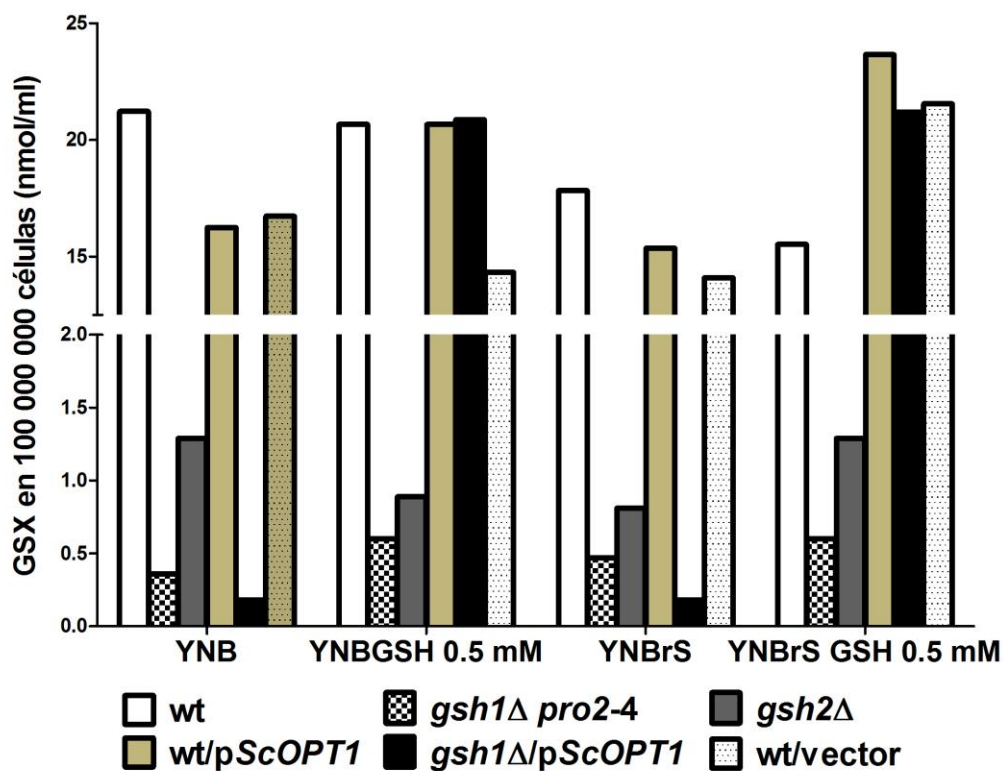
	[GSX] en extractos celulares (nm/ml)				[GSX] en sobrenadante (mM)			
	YNB	YNB+GSH 0.1 mM	YNBrS	YNBrS+GSH 0.1 mM	YNB	YNB+GSH 0.1 mM	YNBrS	YNBrS+GSH 0.1 mM
wt	18.13	22.16	16.12	15.90	0.019	0.128	0.014	0.128
<i>gsh1Δ pro2-4</i>	0.16	0.22	0.22	0.38	0.003	0.112	0.002	0.125
<i>gsh2Δ</i>	1.12	0.72	0.83	1.21	0.003	0.120	0.003	0.123
wt/pScOPT1	23.73	14.55	12.54	21.49	0.008	0.011	0.010	0.017
<i>gsh1Δ/pScOPT1</i>	0.11	5.15	0.25	4.25	0.001	0.003	0.002	0.006
wt/vector	19.70	13.21	14.78	16.34	0.028	0.160	0.017	0.139

Figura 32. Cuantificación de GSX intracelular y extracelular de cultivos de 24hs suplementados con GSH 0.1mM Para cuantificar la concentración de GSX intracelular, las células de las cepas BG14 (CGM1) y de las mutantes *gsh1Δ pro2-4* (CGM814), *gsh2Δ* (CGM873), wt/pScOPT1 (CGM1035), *gsh1Δ/pScOPT1* (CGM1071) y wt/vector (CGM1073) se crecieron en medio YNB o YNBrS con o sin GSH 0.1 mM durante 24 h de crecimiento del cultivo. Se tomaron 3×10^8 células/mL y se lavaron dos veces con PBS. Las células se lisaron con perlas de vidrio en SSA al 5%. El contenido intracelular de GSX se determinó enzimáticamente con DTNB como se describe en materiales y métodos.



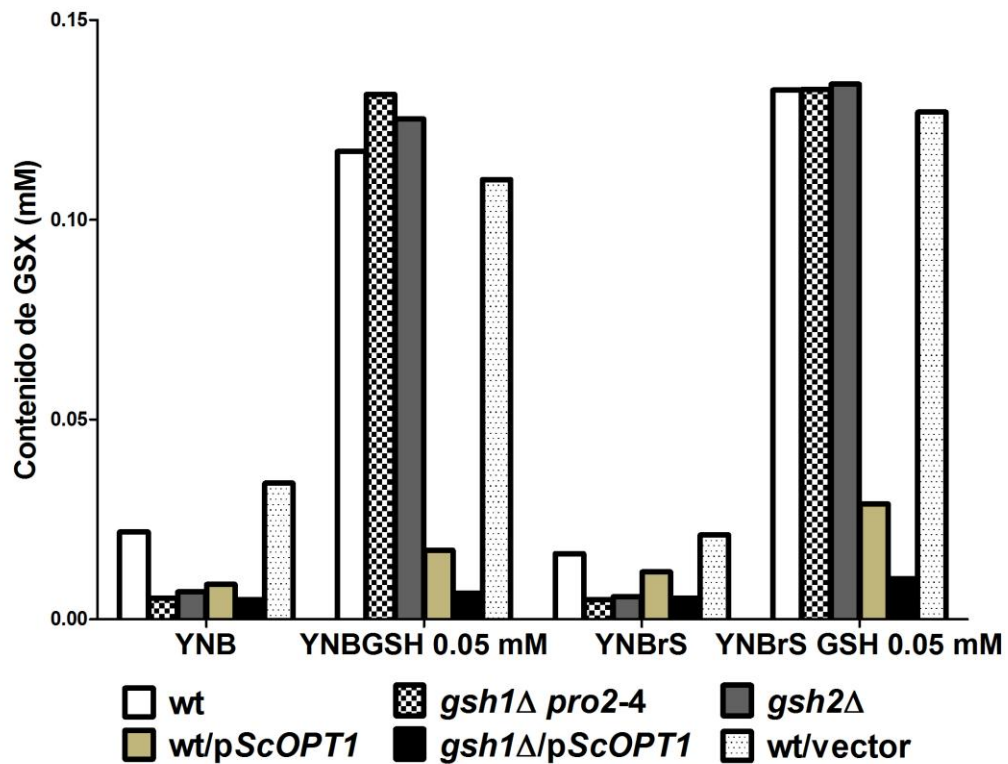
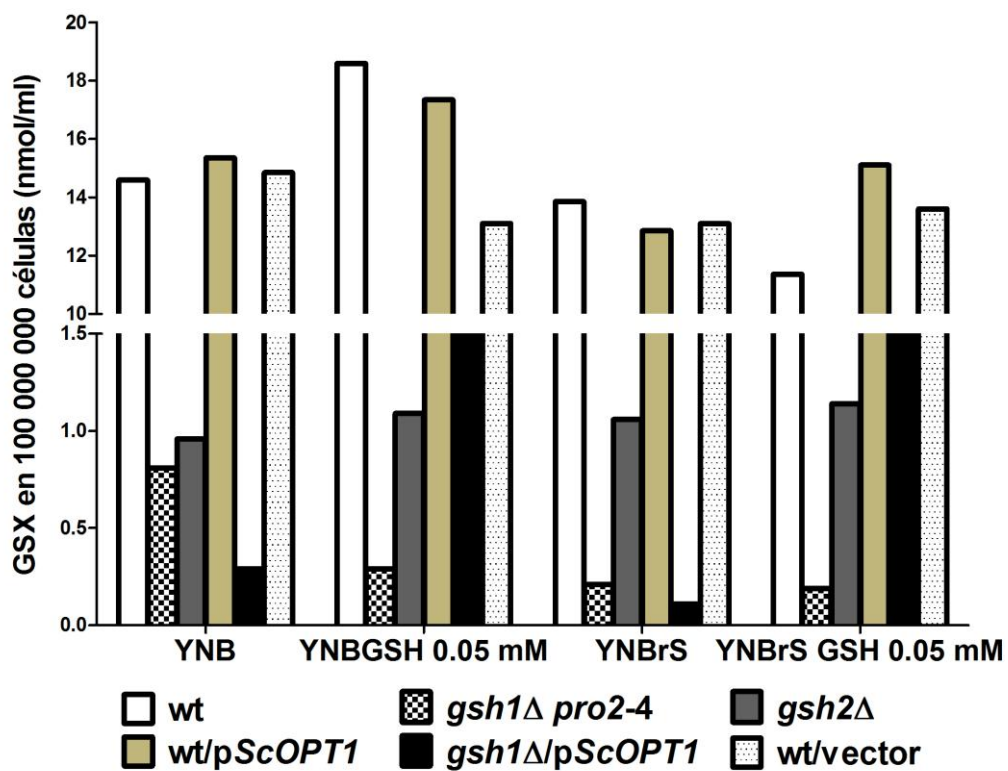
	[GSX] en extractos celulares (nm/ml)				[GSX] en sobrenadante (mM)			
	YNB	YNB+GSH 0.5 mM	YNBrS	YNBrS+GSH 0.5 mM	YNB	YNB+GSH 0.5 mM	YNBrS	YNBrS+GSH 0.5 mM
wt	30.6	34.7	25.8	30.61	0.003	0.215	0.004	0.630
<i>gsh1Δ pro2-4</i>	0.6	0.7	0.6	0.56	0.002	0.350	0.002	0.361
<i>gsh2Δ</i>	2.0	3.5	1.6	2.02	0.002	0.364	0.001	0.691
wt/pScOPT1	33.9	158.6	26.3	33.90	0.002	0.373	0.003	0.724
<i>gsh1Δ/pScOPT1</i>	0.3	74.1	0.2	0.25	0.003	0.381	0.002	0.740
wt/vector	43.5	43.3	25.0	43.51	0.006	0.353	0.007	0.666

Figura 33. Cuantificación de GSX intracelular y extracelular de cultivos de 8hs suplementados con GSH 0.5 mM Para cuantificar la concentración de GSX intracelular, las células de las cepas BG14 (CGM1) y de las mutantes *gsh1Δ pro2-4* (CGM814), *gsh2Δ* (CGM873), wt/pScOPT1 (CGM1035), *gsh1Δ/pScOPT1* (CGM1071) y wt/vector (CGM1073) se crecieron en medio YNB o YNBrS con o sin GSH 0.5 mM durante 8 h de crecimiento del cultivo. Se tomaron 3×10^8 células/mL y se lavaron dos veces con PBS. Las células se lisaron con perlas de vidrio en SSA al 5%. El contenido intracelular de GSX se determinó enzimáticamente con DTNB como se describe en materiales y métodos.



	[GSX] en extractos celulares (nm/ml)				[GSX] en sobrenadante (mM)			
	YNB	YNB+GSH 0.5 mM	YNBrS	YNBrS+GSH 0.5 mM	YNB	YNB+GSH 0.5 mM	YNBrS	YNBrS+GSH 0.5 mM
wt	21.230	20.670	17.830	15.520	0.000	0.510	0.008	0.282
<i>gsh1Δ pro2-4</i>	0.360	0.600	0.470	0.600	0.000	0.499	-0.001	0.475
<i>gsh2Δ</i>	1.290	0.890	0.810	1.290	0.001	0.478	0.000	0.515
wt/pScOPT1	16.240	20.670	15.360	23.670	0.000	0.315	0.002	0.435
<i>gsh1Δ/pScOPT1</i>	0.180	20.880	0.180	21.175	0.000	0.251	0.000	0.298
wt/vector	16.740	14.330	14.090	21.546	0.000	0.565	0.009	0.389

Figura 34. Cuantificación de GSX intracelular y extracelular de cultivos de 24hs suplementados con GSH 0.5 mM Para cuantificar la concentración de GSX intracelular, las células de las cepas BG14 (CGM1) y de las mutantes *gsh1Δ pro2-4* (CGM814), *gsh2Δ* (CGM873), wt/pScOPT1 (CGM1035), *gsh1Δ/pScOPT1* (CGM1071) y wt/vector (CGM1073) se crecieron en medio YNB o YNBrS con o sin GSH 0.5 mM durante 24 h de crecimiento del cultivo. Se tomaron 3×10^8 células/mL y se lavaron dos veces con PBS. Las células se lisaron con perlas de vidrio en SSA al 5%. El contenido intracelular de GSX se determinó enzimáticamente con DTNB como se describe en materiales y métodos.



	[GSX] en extractos celulares (nm/ml)				[GSX] en sobrenadante (mM)			
	YNB	YNB+GSH 0.05 mM	YNBrS	YNBrS+GSH 0.05 mM	YNB	YNB+GSH 0.05 mM	YNBrS	YNBrS+GSH 0.05 mM
wt	14.60	18.59	13.85	11.36	0.022	0.117	0.017	0.133
<i>gsh1Δ pro2-4</i>	0.81	0.29	0.21	0.19	0.005	0.131	0.005	0.133
<i>gsh2Δ</i>	0.96	1.09	1.06	1.14	0.007	0.125	0.006	0.134
wt/pScOPT1	15.35	17.35	12.85	15.10	0.009	0.017	0.012	0.029
<i>gsh1Δ/pScOPT1</i>	0.29	6.86	0.11	6.36	0.005	0.007	0.005	0.010
wt/vector	14.85	13.10	13.10	13.60	0.034	0.110	0.021	0.127

Figura 35. Cuantificación de GSX intracelular y extracelular de cultivos de 24hs suplementados con GSH 0.05 mM Para cuantificar la concentración de GSX intracelular, las células de las cepas BG14 (CGM1) y de las mutantes *gsh1Δ pro2-4* (CGM814), *gsh2Δ* (CGM873), wt/pScOPT1 (CGM1035), *gsh1Δ/pScOPT1* (CGM1071) y wt/vector (CGM1073) se crecieron en medio YNB o YNBrS con o sin GSH 0.05 mM durante 24 h de crecimiento del cultivo. Se tomaron 3×10^8 células/mL y se lavaron dos veces con PBS. Las células se lisaron con perlas de vidrio en SSA al 5%. El contenido intracelular de GSX se determinó enzimáticamente con DTNB como se describe en materiales y métodos.

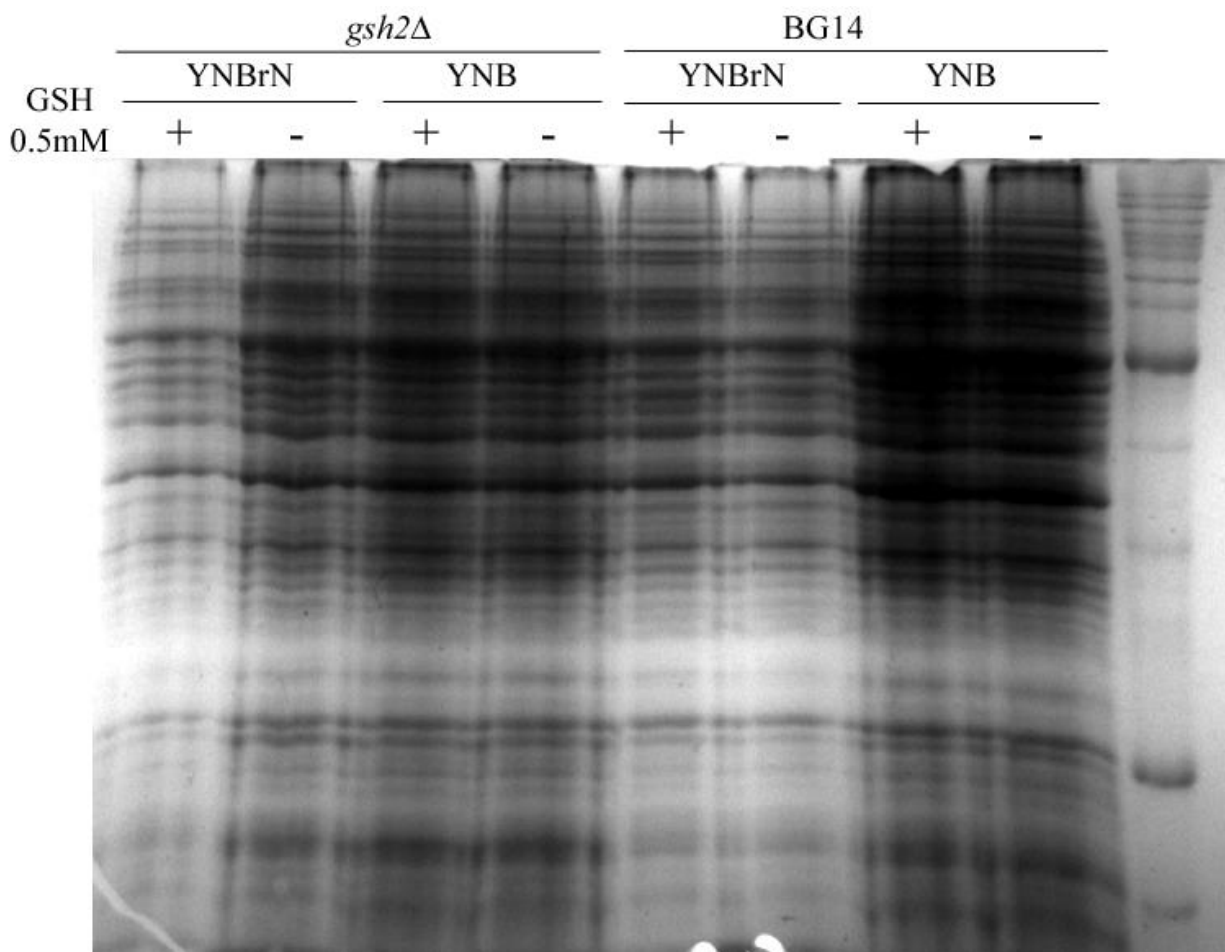


Figura 36. Purificación de proteínas de membrana de *Candida glabrata*. Cultivos de las cepas BG14 (CGM1) y *gsh2* (CGM873) se crecieron en medio YNB y YNBrN sin o suplementados con GSH 0.5 mM durante 6 hs y se obtuvieron protoplastos como se describe en materiales y métodos. Los protoplastos se lisaron para extraer las proteínas, y las proteínas de membrana se purificaron mediante un gradiente continuo de sacarosa. Las proteínas se corrieron en un gel de acrilamida al 12% y se tiñeron con coomassie coloidal. Ver materiales y métodos.

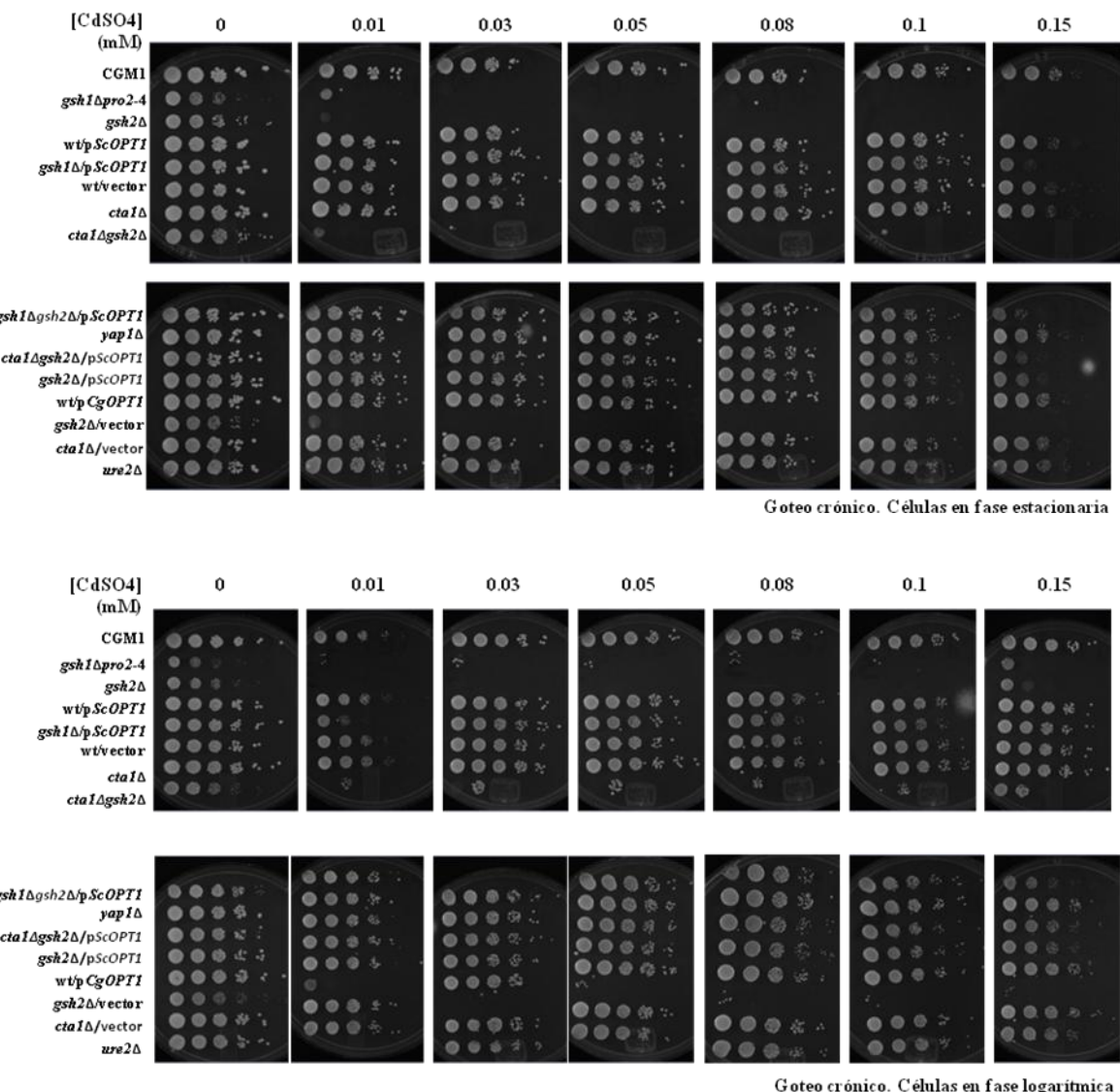
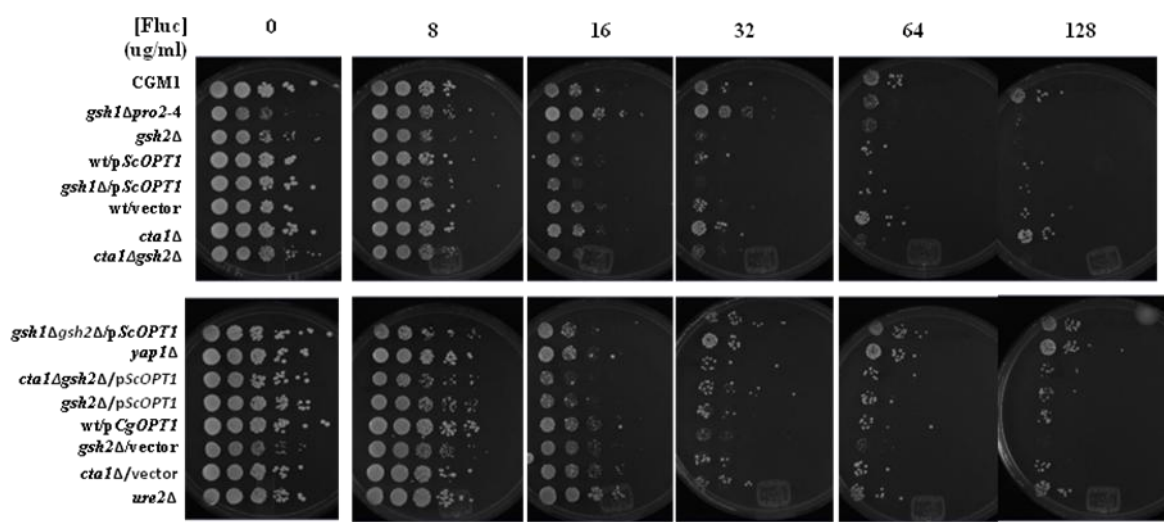
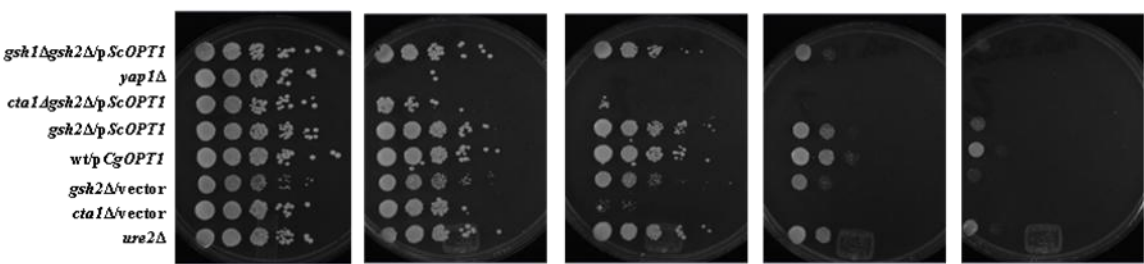
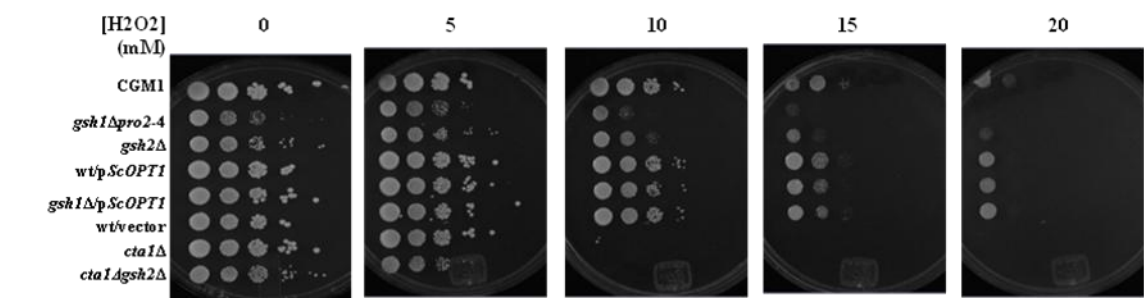


Figura 37. Exposición a sulfato de cadmio de varias mutantes de *Candida glabrata* en diferentes fases de crecimiento. Cultivos de la cepa silvestre BG14 y de diferentes mutantes se crecieron en YPD a 30 °C durante 48hs (fase estacionaria) o el tiempo suficiente para realizar 9 duplicaciones (fase logarítmica). Las células se lavaron y se diluyeron a una densidad celular de 1x10⁷ células/mL. Se hicieron diluciones logarítmicas y 5 µL de cada dilución se colocaron en placas con YPD con diferentes concentraciones de CdSO₄. Las placas se incubaron a 30 °C durante 48 h.

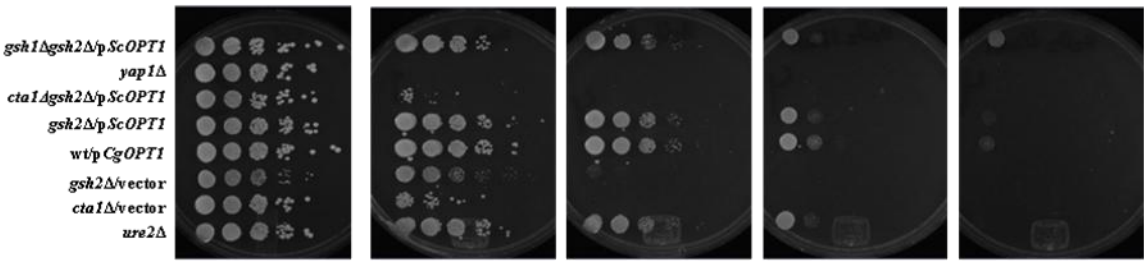
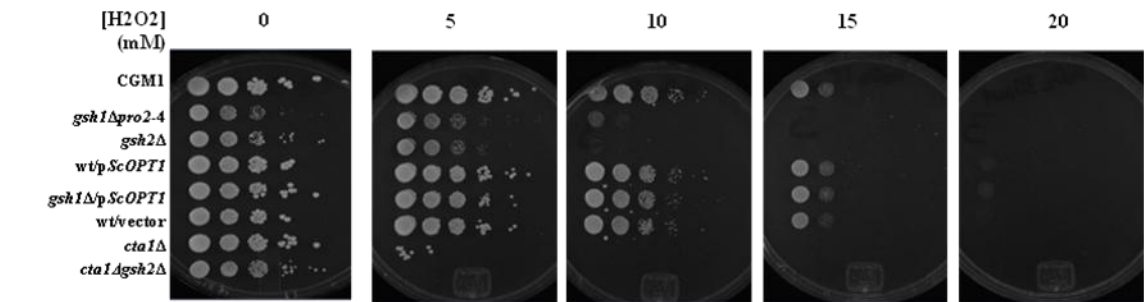


Goteo crónico. Células en fase estacionaria

Figura 38. Exposición a fluconazol de varias mutantes de *Candida glabrata* en fase estacionaria. Cultivos de la cepa silvestre BG14 y de diferentes mutantes se crecieron en YPD a 30 °C durante 48hs (fase estacionaria). Las células se lavaron y se diluyeron a una densidad celular de 1×10^7 células/mL. Se hicieron diluciones logarítmicas y 5 μ L de cada dilución se colocaron en placas con YPD con diferentes concentraciones de fluconazol. Las placas se incubaron a 30 °C durante 48 h.



Goteo crónico. Células en fase estacionaria



Goteo crónico. Células en fase logarítmica

Figura 39. Exposición a H₂O₂ de varias mutantes de *Candida glabrata* en diferentes fases de crecimiento. Cultivos de la cepa silvestre BG14 y de diferentes mutantes se crecieron en YPD a 30 °C durante 48hs (fase estacionaria) o el tiempo suficiente para realizar 9 duplicaciones (fase logarítmica). Las células se lavaron y se diluyeron a una densidad celular de 1x10⁷ células/mL. Se hicieron diluciones logarítmicas y 5 µL de cada dilución se colocaron en placas con YPD con diferentes concentraciones de H₂O₂. Las placas se incubaron a 30 °C durante 48 h.

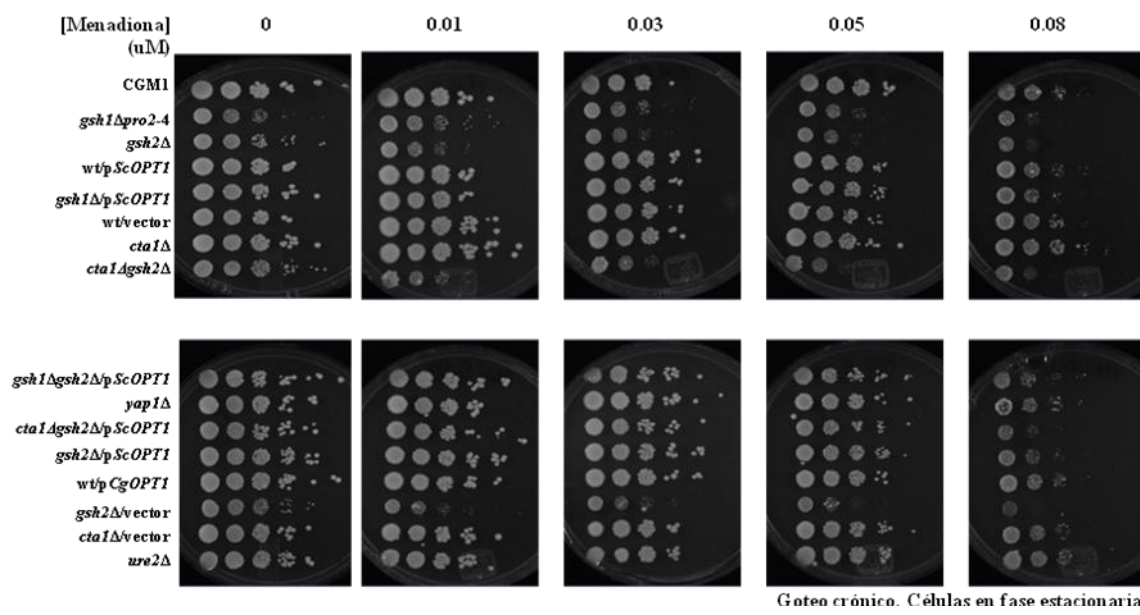


Figura 40. Exposición a menadiona de varias mutantes de *Candida glabrata* en fase estacionaria. Cultivos de la cepa silvestre BG14 y de diferentes mutantes se crecieron en YPD a 30 °C durante 48hs (fase estacionaria). Las células se lavaron y se diluyeron a una densidad celular de 1×10^7 células/mL. Se hicieron diluciones logarítmicas y 5 μ L de cada dilución se colocaron en placas con YPD con diferentes concentraciones de menadiona. Las placas se incubaron a 30 °C durante 48 h.

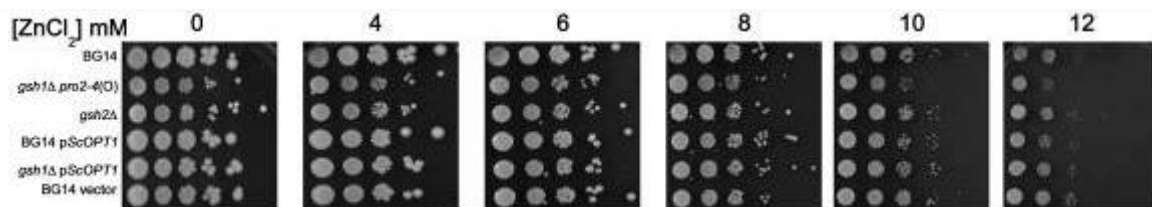


Figura 41. Exposición a cloruro de zinc en fase estacionaria. Cultivos de la cepa silvestre BG14 y de diferentes mutantes se crecieron en YPD a 30 °C durante 48hs (fase estacionaria). Las células se lavaron y se diluyeron a una densidad celular de 1×10^7 células/mL. Se hicieron diluciones logarítmicas y 5 μL de cada dilución se colocaron en placas con YPD con diferentes concentraciones de ZnCl₂. Las placas se incubaron a 30 °C durante 48 h.

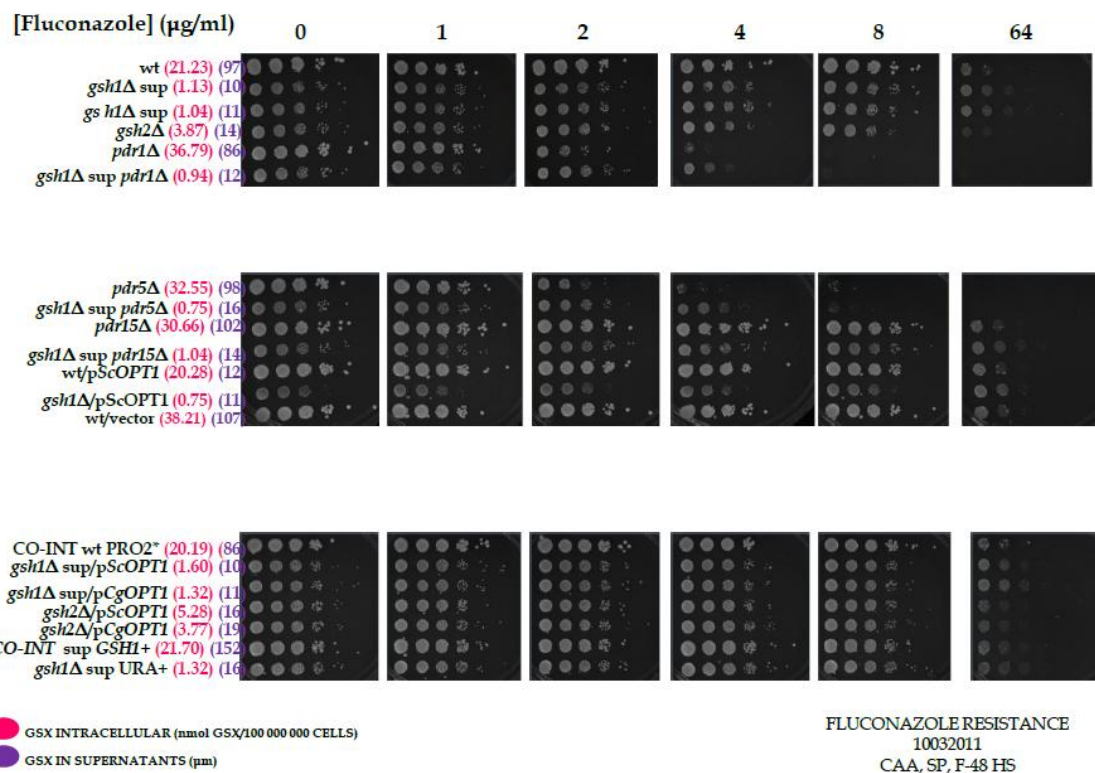


Figura 42. Análisis de la resistencia a fluconazol en medio CAA de diferentes cepas en fase estacionaria crecidas en medio sin GSH. Cultivos de la cepa silvestre BG14 y de diferentes mutantes se crecieron en CAA a 30 °C durante 48hs (fase estacionaria). Las células se lavaron y se diluyeron a una densidad celular de 1×10^7 células/mL. Se hicieron diluciones logarítmicas y 5 μL de cada dilución se colocaron en placas con CAA con diferentes concentraciones de fluconazol. Las placas se incubaron a 30 °C durante 48 h. Ver materiales y métodos.

Los números dentro del paréntesis rosa indican el contenido de GSH intracelular y los números dentro del paréntesis azul indican el contenido de GSH extracelular.

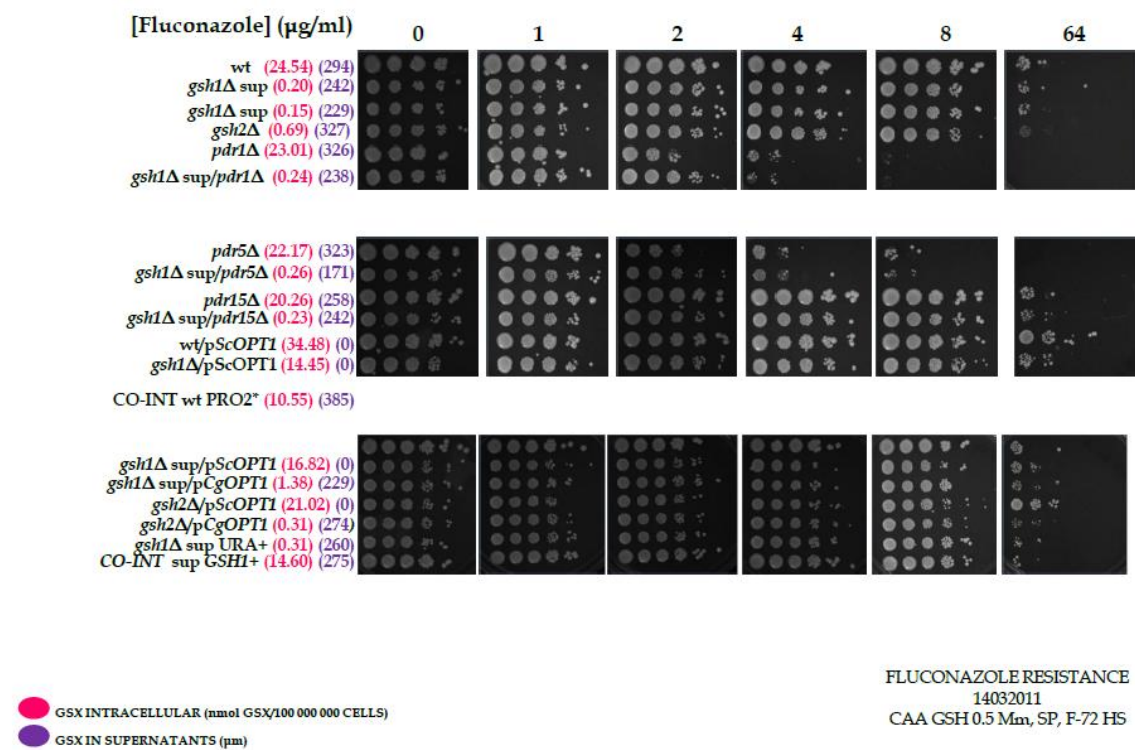


Figura 43. Análisis de la resistencia a fluconazol en medio CAA de diferentes cepas en fase estacionaria crecidas en medio con GSH 0.5mM. Cultivos de la cepa silvestre BG14 y de diferentes mutantes se crecieron en CAA suplementado con GSH 0.5 mM a 30 °C durante 48hs (fase estacionaria). Las células se lavaron y se diluyeron a una densidad celular de 1×10^7 células/mL. Se hicieron diluciones logarítmicas y 5 μL de cada dilución se colocaron en placas con CAA con diferentes concentraciones de fluconazol. Las placas se incubaron a 30 °C durante 48 h. Ver materiales y métodos.
 Los números dentro del paréntesis rosa indican el contenido de GSH intracelular y los números dentro del paréntesis azul indican el contenido de GSH extracelular.

REFERENCIAS

- Abad A, Fernandez-Molina JV, Bikandi J, et al. (2010) What makes *Aspergillus fumigatus* a successful pathogen? Genes and molecules involved in invasive aspergillosis. *Rev Iberoam Micol* **27**: 155-182.
- Abegg MA, Alabarse PV, Casanova A, et al. (2010) Response to oxidative stress in eight pathogenic yeast species of the genus *Candida*. *Mycopathologia* **170**: 11-20.
- Adamis PD, Panek AD & Eleutherio EC (2007) Vacuolar compartmentation of the cadmium-glutathione complex protects *Saccharomyces cerevisiae* from mutagenesis. *Toxicol Lett* **173**: 1-7.
- Adamis PD, Gomes DS, Pinto ML, Panek AD & Eleutherio EC (2004) The role of glutathione transferases in cadmium stress. *Toxicol Lett* **154**: 81-88.
- Adamis PD, Mannarino SC, Riger CJ, Duarte G, Cruz A, Pereira MD & Eleutherio EC (2009) Lap4, a vacuolar aminopeptidase I, is involved in cadmium-glutathione metabolism. *Biometals* **22**: 243-249.
- Al-Lahham A, Rohde V, Heim P, et al. (1999) Biosynthesis of phytochelatins in the fission yeast. Phytochelatin synthesis: a second role for the glutathione synthetase gene of *Schizosaccharomyces pombe*. *Yeast* **15**: 385-396.
- Alkhuder K, Meibom KL, Dubail I, Dupuis M & Charbit A (2009) Glutathione Provides a Source of Cysteine Essential for Intracellular Multiplication of *Francisella tularensis*. *Plos Pathogens* **5**.
- Anderson ME (1985) Determination of glutathione and glutathione disulfide in biological samples. *Methods Enzymol* **113**: 548-555.
- Avery AM & Avery SV (2001) *Saccharomyces cerevisiae* expresses three phospholipid hydroperoxide glutathione peroxidases. *J Biol Chem* **276**: 33730-33735.
- Azevedo D, Nascimento L, Labarre J, Toledano MB & Rodrigues-Pousada C (2007) The *S. cerevisiae* Yap1 and Yap2 transcription factors share a common cadmium-sensing domain. *FEBS Lett* **581**: 187-195.
- Barbas J, Santhanagopalan V, Blaszcynski M, Ellis WR, Jr. & Winge DR (1992) Conversion in the peptides coating cadmium:sulfide crystallites in *Candida glabrata*. *J Inorg Biochem* **48**: 95-105.
- Bates CJ, Prynne CJ & Levene CI (1972) Ascorbate-dependent differences in the hydroxylation of proline and lysine in collagen synthesized by 3T6 fibroblasts in culture. *Biochim Biophys Acta* **278**: 610-616.
- Bjur E, Eriksson-Ygberg S, Aslund F & Rhen M (2006) Thioredoxin 1 promotes intracellular replication and virulence of *Salmonella enterica* serovar Typhimurium. *Infect Immun* **74**: 5140-5151.

Bourbouloux A, Shahi P, Chakladar A, Delrot S & Bachhawat AK (2000) Hgt1p, a high affinity glutathione transporter from the yeast *Saccharomyces cerevisiae*. *J Biol Chem* **275**: 13259-13265.

Brandriss MC & Magasanik B (1979) Genetics and physiology of proline utilization in *Saccharomyces cerevisiae*: enzyme induction by proline. *J Bacteriol* **140**: 498-503.

Brandriss MC & Magasanik B (1981) Subcellular compartmentation in control of converging pathways for proline and arginine metabolism in *Saccharomyces cerevisiae*. *J Bacteriol* **145**: 1359-1364.

Brown JL, Bussey H & Stewart RC (1994) Yeast Skn7p functions in a eukaryotic two-component regulatory pathway. *EMBO J* **13**: 5186-5194.

Cabezon V, Llama-Palacios A, Nombela C, Monteoliva L & Gil C (2009) Analysis of *Candida albicans* plasma membrane proteome. *Proteomics* **9**: 4770-4786.

Calvin NM & Hanawalt PC (1988) High-efficiency transformation of bacterial cells by electroporation. *J Bacteriol* **170**: 2796-2801.

Candiano G, Bruschi M, Musante L, et al. (2004) Blue silver: a very sensitive colloidal Coomassie G-250 staining for proteome analysis. *Electrophoresis* **25**: 1327-1333.

Carmel-Harel O & Storz G (2000) Roles of the glutathione- and thioredoxin-dependent reduction systems in the *Escherichia coli* and *saccharomyces cerevisiae* responses to oxidative stress. *Annu Rev Microbiol* **54**: 439-461.

Caudle KE, Barker KS, Wiederhold NP, Xu L, Homayouni R & Rogers PD (2011) Genomewide expression profile analysis of the *Candida glabrata* Pdr1 regulon. *Eukaryot Cell* **10**: 373-383.

Clemens S (2006) Toxic metal accumulation, responses to exposure and mechanisms of tolerance in plants. *Biochimie* **88**: 1707-1719.

Copley SD & Dhillon JK (2002) Lateral gene transfer and parallel evolution in the history of glutathione biosynthesis genes. *Genome Biol* **3**: research0025.

Cormack BP & Falkow S (1999) Efficient homologous and illegitimate recombination in the opportunistic yeast pathogen *Candida glabrata*. *Genetics* **151**: 979-987.

Cuellar-Cruz M, Castano I, Arroyo-Helguera O & De Las Penas A (2009) Oxidative stress response to menadione and cumene hydroperoxide in the opportunistic fungal pathogen *Candida glabrata*. *Mem Inst Oswaldo Cruz* **104**: 649-654.

Cuellar-Cruz M, Briones-Martin-del-Campo M, Canas-Villamar I, Montalvo-Arredondo J, Riego-Ruiz L, Castano I & De Las Penas A (2008) High resistance to oxidative stress in the fungal pathogen *Candida glabrata* is mediated by a single catalase, Cta1p, and is controlled by the transcription factors Yap1p, Skn7p, Msn2p, and Msn4p. *Eukaryot Cell* **7**: 814-825.

Chae HZ, Chung SJ & Rhee SG (1994) Thioredoxin-dependent peroxide reductase from yeast. *J Biol Chem* **269**: 27670-27678.

Chaves GM, Bates S, Maccallum DM & Odds FC (2007) *Candida albicans* GRX2, encoding a putative glutaredoxin, is required for virulence in a murine model. *Genet Mol Res* **6**: 1051-1063.

De Craene JO, Soetens O & Andre B (2001) The Npr1 kinase controls biosynthetic and endocytic sorting of the yeast Gap1 permease. *J Biol Chem* **276**: 43939-43948.

De Las Penas A, Pan SJ, Castano I, Alder J, Cregg R & Cormack BP (2003) Virulence-related surface glycoproteins in the yeast pathogen *Candida glabrata* are encoded in subtelomeric clusters and subject to RAP1- and SIR-dependent transcriptional silencing. *Genes Dev* **17**: 2245-2258.

Delaunay A, Isnard AD & Toledano MB (2000) H₂O₂ sensing through oxidation of the Yap1 transcription factor. *EMBO J* **19**: 5157-5166.

Domergue R, Castano I, De Las Penas A, et al. (2005) Nicotinic acid limitation regulates silencing of *Candida* adhesins during UTI. *Science* **308**: 866-870.

Draculic T, Dawes IW & Grant CM (2000) A single glutaredoxin or thioredoxin gene is essential for viability in the yeast *Saccharomyces cerevisiae*. *Mol Microbiol* **36**: 1167-1174.

Duell EA, Inoue S & Utter MF (1964) Isolation and Properties of Intact Mitochondria from Spheroplasts of Yeast. *J Bacteriol* **88**: 1762-1773.

Fidel PL, Jr., Cutright JL, Tait L & Sobel JD (1996) A murine model of *Candida glabrata* vaginitis. *J Infect Dis* **173**: 425-431.

Ganguli D, Kumar C & Bachhawat AK (2007) The alternative pathway of glutathione degradation is mediated by a novel protein complex involving three new genes in *Saccharomyces cerevisiae*. *Genetics* **175**: 1137-1151.

Garcia-Gimeno MA & Struhl K (2000) Aca1 and Aca2, ATF/CREB activators in *Saccharomyces cerevisiae*, are important for carbon source utilization but not the response to stress. *Mol Cell Biol* **20**: 4340-4349.

Gasch AP, Spellman PT, Kao CM, et al. (2000) Genomic expression programs in the response of yeast cells to environmental changes. *Mol Biol Cell* **11**: 4241-4257.

Gietz D, St Jean A, Woods RA & Schiestl RH (1992) Improved method for high efficiency transformation of intact yeast cells. *Nucleic Acids Res* **20**: 1425.

Gietz RD & Sugino A (1988) New yeast-*Escherichia coli* shuttle vectors constructed with in vitro mutagenized yeast genes lacking six-base pair restriction sites. *Gene* **74**: 527-534.

Gomes DS, Fragoso LC, Riger CJ, Panek AD & Eleutherio EC (2002) Regulation of cadmium

uptake by *Saccharomyces cerevisiae*. *Biochim Biophys Acta* **1573**: 21-25.

Gomes DS, Pereira MD, Panek AD, Andrade LR & Eleutherio EC (2008) Apoptosis as a mechanism for removal of mutated cells of *Saccharomyces cerevisiae*: the role of Grx2 under cadmium exposure. *Biochim Biophys Acta* **1780**: 160-166.

Grant CM (2001) Role of the glutathione/glutaredoxin and thioredoxin systems in yeast growth and response to stress conditions. *Mol Microbiol* **39**: 533-541.

Grant CM, MacIver FH & Dawes IW (1997) Glutathione synthetase is dispensable for growth under both normal and oxidative stress conditions in the yeast *Saccharomyces cerevisiae* due to an accumulation of the dipeptide gamma-glutamylcysteine. *Mol Biol Cell* **8**: 1699-1707.

Grant CM, Quinn KA & Dawes IW (1999) Differential protein S-thiolation of glyceraldehyde-3-phosphate dehydrogenase isoenzymes influences sensitivity to oxidative stress. *Mol Cell Biol* **19**: 2650-2656.

Gregori C, Schuller C, Roetzer A, Schwarzmüller T, Ammerer G & Kuchler K (2007) The high-osmolarity glycerol response pathway in the human fungal pathogen *Candida glabrata* strain ATCC 2001 lacks a signaling branch that operates in baker's yeast. *Eukaryot Cell* **6**: 1635-1645.

Grill E, Winnacker EL & Zenk MH (1985) Phytochelatins: the principal heavy-metal complexing peptides of higher plants. *Science* **230**: 674-676.

Grill E, Löffler S, Winnacker EL & Zenk MH (1989) Phytochelatins, the heavy-metal-binding peptides of plants, are synthesized from glutathione by a specific gamma-glutamylcysteine dipeptidyl transpeptidase (phytochelin synthase). *Proc Natl Acad Sci U S A* **86**: 6838-6842.

Gupta S, Singh B & Sharma SC (1996) Glutathione-glutathione reductase system and lipid peroxidation in *Saccharomyces cerevisiae* under alcohol stress. *Acta Microbiol Immunol Hung* **43**: 33-38.

Ha SB, Smith AP, Howden R, et al. (1999) Phytochelin synthase genes from *Arabidopsis* and the yeast *Schizosaccharomyces pombe*. *Plant Cell* **11**: 1153-1164.

Halliwell B & Gutteridge JMC (1999) *Free radicals in biology and medicine*. Oxford University Press, Oxford.

Hauser M, Narita V, Donhardt AM, Naider F & Becker JM (2001) Multiplicity and regulation of genes encoding peptide transporters in *Saccharomyces cerevisiae*. *Mol Membr Biol* **18**: 105-112.

Henkel G & Krebs B (2004) Metallothioneins: zinc, cadmium, mercury, and copper thiolates and selenolates mimicking protein active site features--structural aspects and biological implications. *Chem Rev* **104**: 801-824.

Higgins DG, Thompson JD & Gibson TJ (1996) Using CLUSTAL for multiple sequence alignments. *Methods Enzymol* **266**: 383-402.

Hirata D, Yano K & Miyakawa T (1994) Stress-induced transcriptional activation mediated by YAP1 and YAP2 genes that encode the Jun family of transcriptional activators in *Saccharomyces cerevisiae*. *Mol Gen Genet* **242**: 250-256.

Holmgren A (1985) Thioredoxin. *Annu Rev Biochem* **54**: 237-271.

Holmgren A & Aslund F (1995) Glutaredoxin. *Methods Enzymol* **252**: 283-292.

Huang K, Czymbek KJ, Caplan JL, Sweigard JA & Donofrio NM (2011) HYR1-mediated detoxification of reactive oxygen species is required for full virulence in the rice blast fungus. *PLoS Pathog* **7**: e1001335.

Inoue Y, Sugiyama K, Izawa S & Kimura A (1998) Molecular identification of glutathione synthetase (GSH2) gene from *Saccharomyces cerevisiae*. *Biochim Biophys Acta* **1395**: 315-320.

Inoue Y, Tran LT, Kamakura M, Izawa S, Miki T, Tsujimoto Y & Kimura A (1995) Oxidative stress response in yeast: glutathione peroxidase of *Hansenula mrakii* is bound to the membrane of both mitochondria and cytoplasm. *Biochim Biophys Acta* **1245**: 325-330.

Island MD, Perry JR, Naider F & Becker JM (1991) Isolation and characterization of *S. cerevisiae* mutants deficient in amino acid-inducible peptide transport. *Curr Genet* **20**: 457-463.

Jaspers CJ & Penninckx MJ (1984) Glutathione metabolism in yeast *Saccharomyces cerevisiae*. Evidence that gamma-glutamyltranspeptidase is a vacuolar enzyme. *Biochimie* **66**: 71-74.

Jin YH, Clark AB, Slebos RJ, et al. (2003) Cadmium is a mutagen that acts by inhibiting mismatch repair. *Nat Genet* **34**: 326-329.

Kamran M, Calcagno AM, Findon H, et al. (2004) Inactivation of transcription factor gene ACE2 in the fungal pathogen *Candida glabrata* results in hypervirulence. *Eukaryot Cell* **3**: 546-552.

Kaur R, Ma B & Cormack BP (2007) A family of glycosylphosphatidylinositol-linked aspartyl proteases is required for virulence of *Candida glabrata*. *Proc Natl Acad Sci U S A* **104**: 7628-7633.

Kaur R, Domergue R, Zupancic ML & Cormack BP (2005) A yeast by any other name: *Candida glabrata* and its interaction with the host. *Curr Opin Microbiol* **8**: 378-384.

Kneer R, Kutchan TM, Hochberger A & Zenk MH (1992) *Saccharomyces cerevisiae* and *Neurospora crassa* contain heavy metal sequestering phytochelatin. *Arch Microbiol* **157**: 305-310.

Kuge S & Jones N (1994) YAP1 dependent activation of TRX2 is essential for the response of *Saccharomyces cerevisiae* to oxidative stress by hydroperoxides. *EMBO J* **13**: 655-664.

Kuge S, Jones N & Nomoto A (1997) Regulation of yAP-1 nuclear localization in response to oxidative stress. *EMBO J* **16**: 1710-1720.

Kuge S, Toda T, Iizuka N & Nomoto A (1998) Crm1 (Xpol) dependent nuclear export of the budding yeast transcription factor yAP-1 is sensitive to oxidative stress. *Genes Cells* **3**: 521-532.

Kumar C, Sharma R & Bachhawat AK (2003) Utilization of glutathione as an exogenous sulfur source is independent of gamma-glutamyl transpeptidase in the yeast *Saccharomyces cerevisiae*: evidence for an alternative glutathione degradation pathway. *FEMS Microbiol Lett* **219**: 187-194.

Kumar C, Igbaria A, D'Autreux B, et al. (2011) Glutathione revisited: a vital function in iron metabolism and ancillary role in thiol-redox control. *EMBO J* **30**: 2044-2056.

Kuwayama H, Obara S, Morio T, Katoh M, Urushihara H & Tanaka Y (2002) PCR-mediated generation of a gene disruption construct without the use of DNA ligase and plasmid vectors. *Nucleic Acids Res* **30**: E2.

Lange H, Kispal G & Lill R (1999) Mechanism of iron transport to the site of heme synthesis inside yeast mitochondria. *J Biol Chem* **274**: 18989-18996.

Lee J, Godon C, Lagniel G, Spector D, Garin J, Labarre J & Toledano MB (1999) Yap1 and Skn7 control two specialized oxidative stress response regulons in yeast. *J Biol Chem* **274**: 16040-16046.

Li L, Redding S & Dongari-Bagtzoglou A (2007) *Candida glabrata*: an emerging oral opportunistic pathogen. *J Dent Res* **86**: 204-215.

Li ZS, Lu YP, Zhen RG, Szczypka M, Thiele DJ & Rea PA (1997) A new pathway for vacuolar cadmium sequestration in *Saccharomyces cerevisiae*: YCF1-catalyzed transport of bis(glutathionato)cadmium. *Proc Natl Acad Sci U S A* **94**: 42-47.

Lill R (2009) Function and biogenesis of iron-sulphur proteins. *Nature* **460**: 831-838.

Lill R, Diekert K, Kaut A, Lange H, Pelzer W, Prohl C & Kispal G (1999) The essential role of mitochondria in the biogenesis of cellular iron-sulfur proteins. *Biol Chem* **380**: 1157-1166.

Lopilato J, Bortner S & Beckwith J (1986) Mutations in a new chromosomal gene of *Escherichia coli* K-12, pcnB, reduce plasmid copy number of pBR322 and its derivatives. *Mol Gen Genet* **205**: 285-290.

Lopreiato R, Facchin S, Sartori G, et al. (2004) Analysis of the interaction between piD261/Bud32, an evolutionarily conserved protein kinase of *Saccharomyces cerevisiae*, and the Grx4 glutaredoxin. *Biochem J* **377**: 395-405.

Lu J, Chew EH & Holmgren A (2007) Targeting thioredoxin reductase is a basis for cancer therapy by arsenic trioxide. *Proc Natl Acad Sci U S A* **104**: 12288-12293.

Lubkowitz MA, Barnes D, Breslav M, Burchfield A, Naider F & Becker JM (1998) *Schizosaccharomyces pombe* isp4 encodes a transporter representing a novel family of oligopeptide transporters. *Mol Microbiol* **28**: 729-741.

Luikenhuis S, Perrone G, Dawes IW & Grant CM (1998) The yeast *Saccharomyces cerevisiae* contains two glutaredoxin genes that are required for protection against reactive oxygen species. *Mol Biol Cell* **9**: 1081-1091.

Lundberg M, Fernandes AP, Kumar S & Holmgren A (2004) Cellular and plasma levels of human glutaredoxin 1 and 2 detected by sensitive ELISA systems. *Biochem Biophys Res Commun* **319**: 801-809.

Machado AK, Morgan BA & Merrill GF (1997) Thioredoxin reductase-dependent inhibition of MCB cell cycle box activity in *Saccharomyces cerevisiae*. *J Biol Chem* **272**: 17045-17054.

Malani A, Hmoud J, Chiu L, Carver PL, Bielaczyc A & Kauffman CA (2005) *Candida glabrata* fungemia: experience in a tertiary care center. *Clin Infect Dis* **41**: 975-981.

Marquez JA, Pascual-Ahuir A, Proft M & Serrano R (1998) The Ssn6-Tup1 repressor complex of *Saccharomyces cerevisiae* is involved in the osmotic induction of HOG-dependent and -independent genes. *EMBO J* **17**: 2543-2553.

Martinez-Pastor MT & Estruch F (1996) Sudden depletion of carbon source blocks translation, but not transcription, in the yeast *Saccharomyces cerevisiae*. *FEBS Lett* **390**: 319-322.

Mehdi K & Penninckx MJ (1997) An important role for glutathione and gamma-glutamyltranspeptidase in the supply of growth requirements during nitrogen starvation of the yeast *Saccharomyces cerevisiae*. *Microbiology* **143 (Pt 6)**: 1885-1889.

Mehdi K, Thierie J & Penninckx MJ (2001) gamma-Glutamyl transpeptidase in the yeast *Saccharomyces cerevisiae* and its role in the vacuolar transport and metabolism of glutathione. *Biochem J* **359**: 631-637.

Mehra RK, Mulchandani P & Hunter TC (1994) Role of CdS quantum crystallites in cadmium resistance in *Candida glabrata*. *Biochem Biophys Res Commun* **200**: 1193-1200.

Mehra RK, Tarbet EB, Gray WR & Winge DR (1988) Metal-specific synthesis of two metallothioneins and gamma-glutamyl peptides in *Candida glabrata*. *Proc Natl Acad Sci U S A* **85**: 8815-8819.

Mehra RK, Thorvaldsen JL, Macreadie IG & Winge DR (1992) Disruption analysis of metallothionein-encoding genes in *Candida glabrata*. *Gene* **114**: 75-80.

Mehra RK, Garey JR, Butt TR, Gray WR & Winge DR (1989) *Candida glabrata* metallothioneins. Cloning and sequence of the genes and characterization of proteins. *J Biol Chem* **264**: 19747-19753.

Mesecke N, Spang A, Deponte M & Herrmann JM (2008) A novel group of glutaredoxins in the cis-Golgi critical for oxidative stress resistance. *Mol Biol Cell* **19**: 2673-2680.

Miyake T, Hiraishi H, Sammoto H & Ono B (2003) Involvement of the VDE homing endonuclease

and rapamycin in regulation of the *Saccharomyces cerevisiae* GSH11 gene encoding the high affinity glutathione transporter. *J Biol Chem* **278**: 39632-39636.

Mooz ED & Meister A (1967) Tripeptide (glutathione) synthetase. Purification, properties, and mechanism of action. *Biochemistry* **6**: 1722-1734.

Morgan BA, Banks GR, Toone WM, Raitt D, Kuge S & Johnston LH (1997) The Skn7 response regulator controls gene expression in the oxidative stress response of the budding yeast *Saccharomyces cerevisiae*. *EMBO J* **16**: 1035-1044.

Moye-Rowley WS, Harshman KD & Parker CS (1989) Yeast YAP1 encodes a novel form of the jun family of transcriptional activator proteins. *Genes Dev* **3**: 283-292.

Muller EG (1991) Thioredoxin deficiency in yeast prolongs S phase and shortens the G1 interval of the cell cycle. *J Biol Chem* **266**: 9194-9202.

Murakami CJ, Burtner CR, Kennedy BK & Kaeberlein M (2008) A method for high-throughput quantitative analysis of yeast chronological life span. *J Gerontol A Biol Sci Med Sci* **63**: 113-121.

Nagy MA, Emri T, Fekete E, Sandor E, Springael JY, Penninckx MJ & Pocsi I (2003) Glutathione metabolism of *Acremonium chrysogenum* in relation to cephalosporin C production: is gamma-glutamyltransferase in the center? *Folia Microbiol (Praha)* **48**: 149-155.

Nguyen DT, Alarco AM & Raymond M (2001) Multiple Yap1p-binding sites mediate induction of the yeast major facilitator FLR1 gene in response to drugs, oxidants, and alkylating agents. *J Biol Chem* **276**: 1138-1145.

Ohtake Y & Yabuuchi S (1991) Molecular cloning of the gamma-glutamylcysteine synthetase gene of *Saccharomyces cerevisiae*. *Yeast* **7**: 953-961.

Ojeda L, Keller G, Muhlenhoff U, Rutherford JC, Lill R & Winge DR (2006) Role of glutaredoxin-3 and glutaredoxin-4 in the iron regulation of the Aft1 transcriptional activator in *Saccharomyces cerevisiae*. *J Biol Chem* **281**: 17661-17669.

Pearson GD & Merrill GF (1998) Deletion of the *Saccharomyces cerevisiae* TRR1 gene encoding thioredoxin reductase inhibits p53-dependent reporter gene expression. *J Biol Chem* **273**: 5431-5434.

Pedrajas JR, Kosmidou E, Miranda-Vizuete A, Gustafsson JA, Wright AP & Spyrou G (1999) Identification and functional characterization of a novel mitochondrial thioredoxin system in *Saccharomyces cerevisiae*. *J Biol Chem* **274**: 6366-6373.

Penninckx MJ & Elskens MT (1993) Metabolism and functions of glutathione in micro-organisms. *Adv Microb Physiol* **34**: 239-301.

Perry JR, Basrai MA, Steiner HY, Naider F & Becker JM (1994) Isolation and characterization of a *Saccharomyces cerevisiae* peptide transport gene. *Mol Cell Biol* **14**: 104-115.

Pfaller MA & Diekema DJ (2007) Epidemiology of invasive candidiasis: a persistent public health problem. *Clin Microbiol Rev* **20**: 133-163.

Polakova S, Blume C, Zarate JA, Mentel M, Jorck-Ramberg D, Stenderup J & Piskur J (2009) Formation of new chromosomes as a virulence mechanism in yeast *Candida glabrata*. *Proc Natl Acad Sci U S A* **106**: 2688-2693.

Popova Iu G, Padkina MV & Sambuk EV (2000) [Effect of mutations in PHO85 and PHO4 genes on utilization of proline in *Saccharomyces cerevisiae* yeasts]. *Genetika* **36**: 1622-1628.

Presterl E, Daxböck F, Graninger W & Willinger B (2007) Changing pattern of candidaemia 2001-2006 and use of antifungal therapy at the University Hospital of Vienna, Austria. *Clin Microbiol Infect* **13**: 1072-1076.

Proft M & Serrano R (1999) Repressors and upstream repressing sequences of the stress-regulated ENA1 gene in *Saccharomyces cerevisiae*: bZIP protein Sko1p confers HOG-dependent osmotic regulation. *Mol Cell Biol* **19**: 537-546.

Proft M, Pascual-Ahuir A, de Nadal E, Arino J, Serrano R & Posas F (2001) Regulation of the Sko1 transcriptional repressor by the Hog1 MAP kinase in response to osmotic stress. *EMBO J* **20**: 1123-1133.

Pujol-Carrion N, Belli G, Herrero E, Nogues A & de la Torre-Ruiz MA (2006) Glutaredoxins Grx3 and Grx4 regulate nuclear localisation of Aft1 and the oxidative stress response in *Saccharomyces cerevisiae*. *J Cell Sci* **119**: 4554-4564.

Quintana-Cabrera R, Fernandez-Fernandez S, Bobo-Jimenez V, Escobar J, Sastre J, Almeida A & Bolanos JP (2012) gamma-Glutamylcysteine detoxifies reactive oxygen species by acting as glutathione peroxidase-1 cofactor. *Nat Commun* **3**: 718.

Raitt DC, Johnson AL, Erkine AM, Makino K, Morgan B, Gross DS & Johnston LH (2000) The Skn7 response regulator of *Saccharomyces cerevisiae* interacts with Hsf1 in vivo and is required for the induction of heat shock genes by oxidative stress. *Mol Biol Cell* **11**: 2335-2347.

Rep M, Proft M, Remize F, Tamas M, Serrano R, Thevelein JM & Hohmann S (2001) The *Saccharomyces cerevisiae* Sko1p transcription factor mediates HOG pathway-dependent osmotic regulation of a set of genes encoding enzymes implicated in protection from oxidative damage. *Mol Microbiol* **40**: 1067-1083.

Rhee SG, Chae HZ & Kim K (2005) Peroxiredoxins: a historical overview and speculative preview of novel mechanisms and emerging concepts in cell signaling. *Free Radic Biol Med* **38**: 1543-1552.

Roberg KJ, Bickel S, Rowley N & Kaiser CA (1997) Control of amino acid permease sorting in the late secretory pathway of *Saccharomyces cerevisiae* by SEC13, LST4, LST7 and LST8. *Genetics* **147**: 1569-1584.

Rodriguez-Manzaneque MT, Ros J, Cabisco E, Sorribas A & Herrero E (1999) Grx5 glutaredoxin

plays a central role in protection against protein oxidative damage in *Saccharomyces cerevisiae*. *Mol Cell Biol* **19**: 8180-8190.

Rodriguez-Manzaneque MT, Tamarit J, Belli G, Ros J & Herrero E (2002) Grx5 is a mitochondrial glutaredoxin required for the activity of iron/sulfur enzymes. *Mol Biol Cell* **13**: 1109-1121.

Roetzer A, Gratz N, Kovarik P & Schuller C (2010) Autophagy supports *Candida glabrata* survival during phagocytosis. *Cell Microbiol* **12**: 199-216.

Roetzer A, Klopff E, Gratz N, et al. (2011) Regulation of *Candida glabrata* oxidative stress resistance is adapted to host environment. *FEBS Lett* **585**: 319-327.

Saijo T, Miyazaki T, Izumikawa K, et al. (2010) Skn7p is involved in oxidative stress response and virulence of *Candida glabrata*. *Mycopathologia* **169**: 81-90.

Sanglard D, Ischer F & Bille J (2001) Role of ATP-binding-cassette transporter genes in high-frequency acquisition of resistance to azole antifungals in *Candida glabrata*. *Antimicrob Agents Chemother* **45**: 1174-1183.

Scannell DR, Zill OA, Rokas A, et al. (2011) The Awesome Power of Yeast Evolutionary Genetics: New Genome Sequences and Strain Resources for the *Saccharomyces* sensu stricto Genus. *G3 (Bethesda)* **1**: 11-25.

Schmitt AP & McEntee K (1996) Msn2p, a zinc finger DNA-binding protein, is the transcriptional activator of the multistress response in *Saccharomyces cerevisiae*. *Proc Natl Acad Sci U S A* **93**: 5777-5782.

Schnell N, Krems B & Entian KD (1992) The PAR1 (YAP1/SNQ3) gene of *Saccharomyces cerevisiae*, a c-jun homologue, is involved in oxygen metabolism. *Curr Genet* **21**: 269-273.

Seider K, Brunke S, Schild L, et al. (2011) The facultative intracellular pathogen *Candida glabrata* subverts macrophage cytokine production and phagolysosome maturation. *J Immunol* **187**: 3072-3086.

Shenton D, Perrone G, Quinn KA, Dawes IW & Grant CM (2002) Regulation of protein S-thiolation by glutaredoxin 5 in the yeast *Saccharomyces cerevisiae*. *J Biol Chem* **277**: 16853-16859.

Siddiqui AH & Brandriss MC (1989) The *Saccharomyces cerevisiae* PUT3 activator protein associates with proline-specific upstream activation sequences. *Mol Cell Biol* **9**: 4706-4712.

Sies H (1991) Oxidative stress: from basic research to clinical application. *Am J Med* **91**: 31S-38S.

Sipos K, Lange H, Fekete Z, Ullmann P, Lill R & Kisfal G (2002) Maturation of cytosolic iron-sulfur proteins requires glutathione. *J Biol Chem* **277**: 26944-26949.

Soetens O, De Craene JO & Andre B (2001) Ubiquitin is required for sorting to the vacuole of the

yeast general amino acid permease, Gap1. *J Biol Chem* **276**: 43949-43957.

Spector D, Labarre J & Toledano MB (2001) A genetic investigation of the essential role of glutathione: mutations in the proline biosynthesis pathway are the only suppressors of glutathione auxotrophy in yeast. *J Biol Chem* **276**: 7011-7016.

Springael JY & Andre B (1998) Nitrogen-regulated ubiquitination of the Gap1 permease of *Saccharomyces cerevisiae*. *Mol Biol Cell* **9**: 1253-1263.

Springael JY & Penninckx MJ (2003) Nitrogen-source regulation of yeast gamma-glutamyl transpeptidase synthesis involves the regulatory network including the GATA zinc-finger factors Gln3, Nif1/Gat1 and Gzf3. *Biochem J* **371**: 589-595.

Stanbrough M & Magasanik B (1995) Transcriptional and posttranslational regulation of the general amino acid permease of *Saccharomyces cerevisiae*. *J Bacteriol* **177**: 94-102.

Stephen DW & Jamieson DJ (1997) Amino acid-dependent regulation of the *Saccharomyces cerevisiae* GSH1 gene by hydrogen peroxide. *Mol Microbiol* **23**: 203-210.

Stephen DW, Rivers SL & Jamieson DJ (1995) The role of the YAP1 and YAP2 genes in the regulation of the adaptive oxidative stress responses of *Saccharomyces cerevisiae*. *Mol Microbiol* **16**: 415-423.

Sugiyama K, Izawa S & Inoue Y (2000) The Yap1p-dependent induction of glutathione synthesis in heat shock response of *Saccharomyces cerevisiae*. *J Biol Chem* **275**: 15535-15540.

ter Schure EG, van Riel NA & Verrips CT (2000) The role of ammonia metabolism in nitrogen catabolite repression in *Saccharomyces cerevisiae*. *FEMS Microbiol Rev* **24**: 67-83.

Thomas D, Jacquemin I & Surdin-Kerjan Y (1992) MET4, a leucine zipper protein, and centromere-binding factor 1 are both required for transcriptional activation of sulfur metabolism in *Saccharomyces cerevisiae*. *Mol Cell Biol* **12**: 1719-1727.

Toledano MB, Kumar C, Le Moan N, Spector D & Tacnet F (2007) The system biology of thiol redox system in *Escherichia coli* and yeast: differential functions in oxidative stress, iron metabolism and DNA synthesis. *FEBS Lett* **581**: 3598-3607.

Tomenchok DM & Brandriss MC (1987) Gene-enzyme relationships in the proline biosynthetic pathway of *Saccharomyces cerevisiae*. *J Bacteriol* **169**: 5364-5372.

Tsai HF, Krol AA, Sarti KE & Bennett JE (2006) *Candida glabrata* PDR1, a transcriptional regulator of a pleiotropic drug resistance network, mediates azole resistance in clinical isolates and petite mutants. *Antimicrob Agents Chemother* **50**: 1384-1392.

Turton HE, Dawes IW & Grant CM (1997) *Saccharomyces cerevisiae* exhibits a yAP-1-mediated adaptive response to malondialdehyde. *J Bacteriol* **179**: 1096-1101.

Vatamaniuk OK, Bucher EA, Sundaram MV & Rea PA (2005) CeHMT-1, a putative phytochelatin transporter, is required for cadmium tolerance in *Caenorhabditis elegans*. *J Biol Chem* **280**: 23684-23690.

Veeravalli K, Boyd D, Iverson BL, Beckwith J & Georgiou G (2011) Laboratory evolution of glutathione biosynthesis reveals natural compensatory pathways. *Nat Chem Biol* **7**: 101-105.

Vilella F, Alves R, Rodriguez-Manzaneque MT, Belli G, Swaminathan S, Sunnerhagen P & Herrero E (2004) Evolution and cellular function of monothiol glutaredoxins: involvement in iron-sulphur cluster assembly. *Comp Funct Genomics* **5**: 328-341.

Wemmie JA, Steggerda SM & Moye-Rowley WS (1997) The *Saccharomyces cerevisiae* AP-1 protein discriminates between oxidative stress elicited by the oxidants H₂O₂ and diamide. *J Biol Chem* **272**: 7908-7914.

Wheeler GL, Quinn KA, Perrone G, Dawes IW & Grant CM (2002) Glutathione regulates the expression of gamma-glutamylcysteine synthetase via the Met4 transcription factor. *Mol Microbiol* **46**: 545-556.

Wickerham LJ, Flickinger MH & Burton KA (1946) A Modification of Henrici's Vegetable-Juice Sporulation Medium for Yeasts. *J Bacteriol* **52**: 611-612.

Wiles AM, Naider F & Becker JM (2006) Transmembrane domain prediction and consensus sequence identification of the oligopeptide transport family. *Res Microbiol* **157**: 395-406.

Wiles AM, Cai H, Naider F & Becker JM (2006) Nutrient regulation of oligopeptide transport in *Saccharomyces cerevisiae*. *Microbiology* **152**: 3133-3145.

Wonisch W, Hayn M, Schaur RJ, et al. (1997) Increased stress parameter synthesis in the yeast *Saccharomyces cerevisiae* after treatment with 4-hydroxy-2-nonenal. *FEBS Lett* **405**: 11-15.

Wunschmann J, Beck A, Meyer L, Letzel T, Grill E & Lendzian KJ (2007) Phytochelatins are synthesized by two vacuolar serine carboxypeptidases in *Saccharomyces cerevisiae*. *FEBS Lett* **581**: 1681-1687.

Xu S, Falvey DA & Brandriss MC (1995) Roles of URE2 and GLN3 in the proline utilization pathway in *Saccharomyces cerevisiae*. *Mol Cell Biol* **15**: 2321-2330.

Yadav AK, Desai PR, Rai MN, Kaur R, Ganesan K & Bachhawat AK (2011) Glutathione biosynthesis in the yeast pathogens *Candida glabrata* and *Candida albicans*: essential in *C. glabrata*, and essential for virulence in *C. albicans*. *Microbiology* **157**: 484-495.

Yan C, Lee LH & Davis LI (1998) Crm1p mediates regulated nuclear export of a yeast AP-1-like transcription factor. *EMBO J* **17**: 7416-7429.



El papel del Glutatión en la respuesta a estrés oxidante del hongo patógeno oportunista *Candida glabrata*

Ma Guadalupe Gutiérrez Escobedo